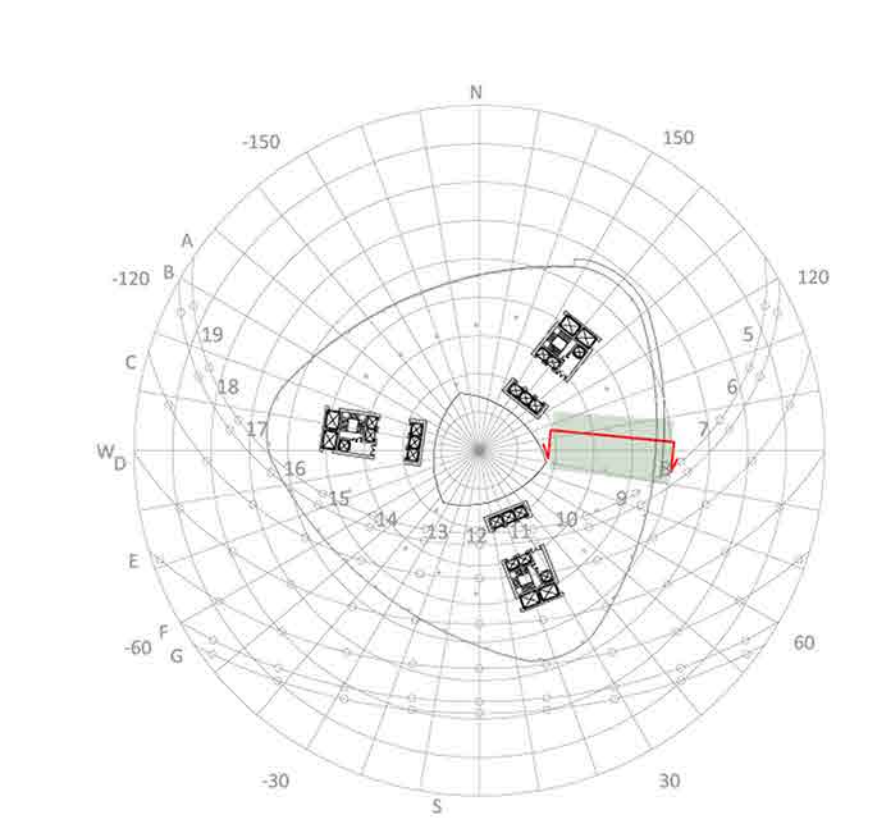
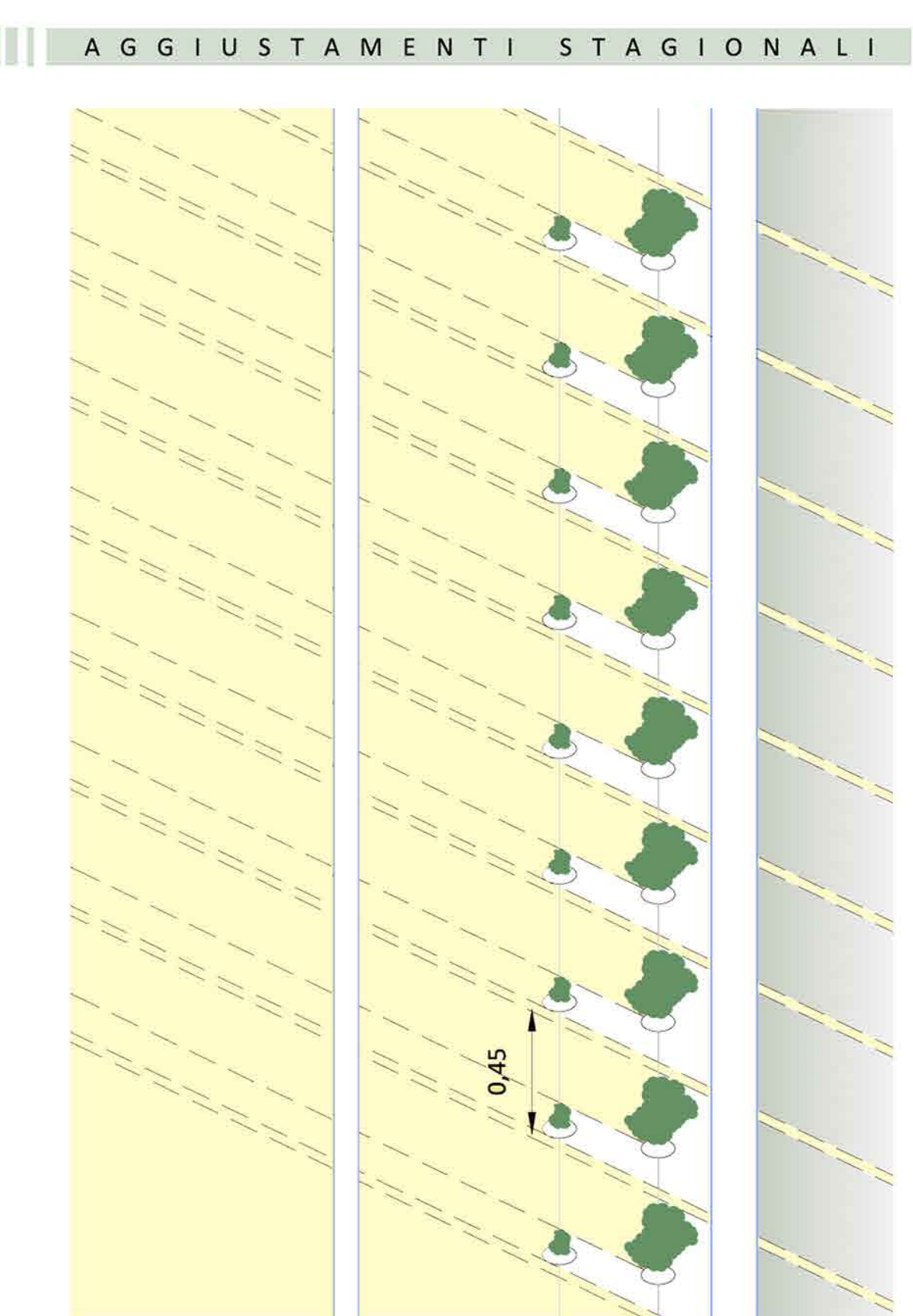
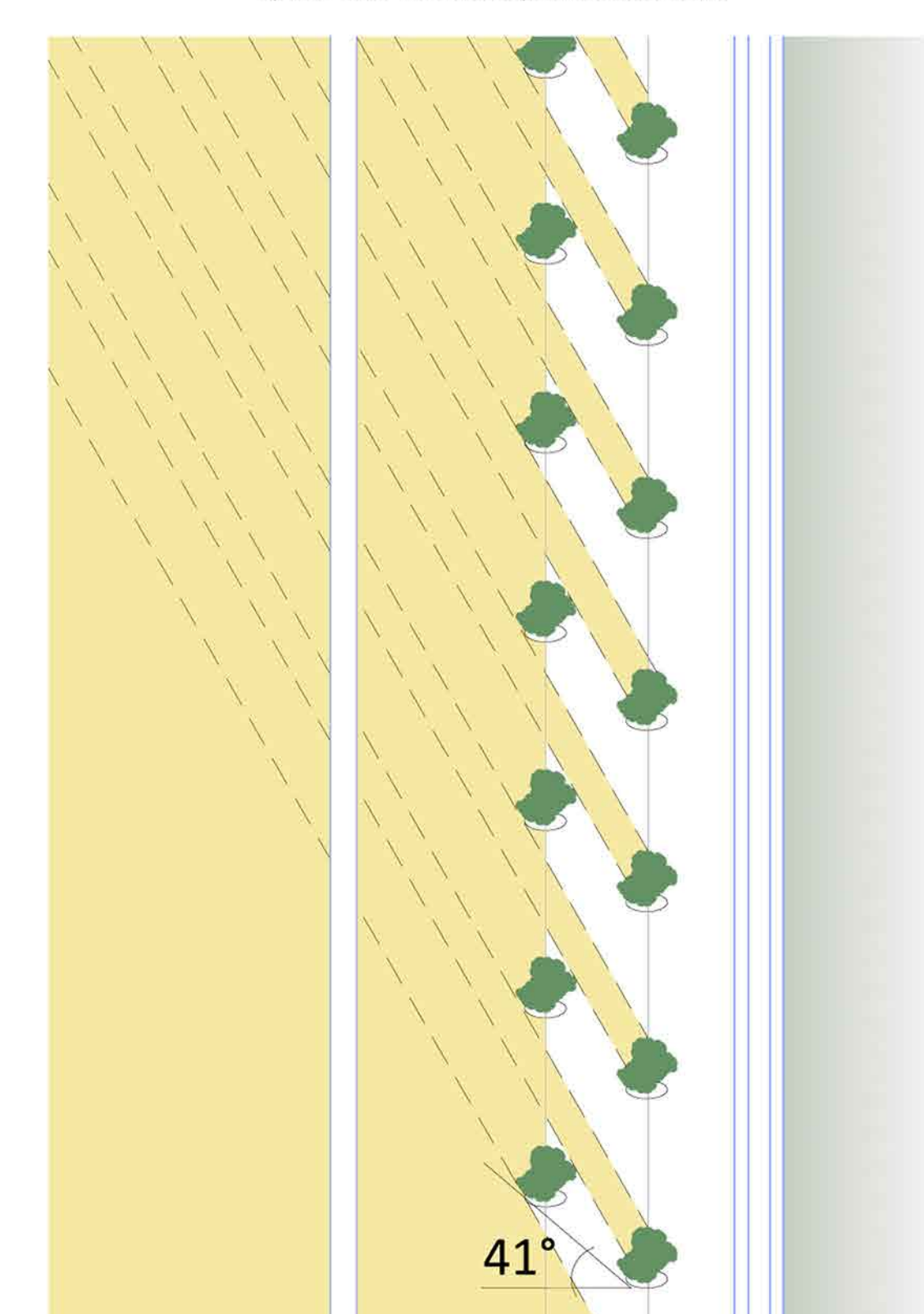


Università di Roma "LA SAPIENZA"\_Facoltà di Architettura VALLE GIULIA\_Corso di Laurea in ARCHITETTURA UE\_AA2010/2011\_Tema: Progettazione di un prototipo di Vertical Farm\_Relatori: ING. Paolo FRANCHIN\_ARCH. Luca REALE \_ING. Francesco MANCINI\_Laureanda: Kathy SASSUN

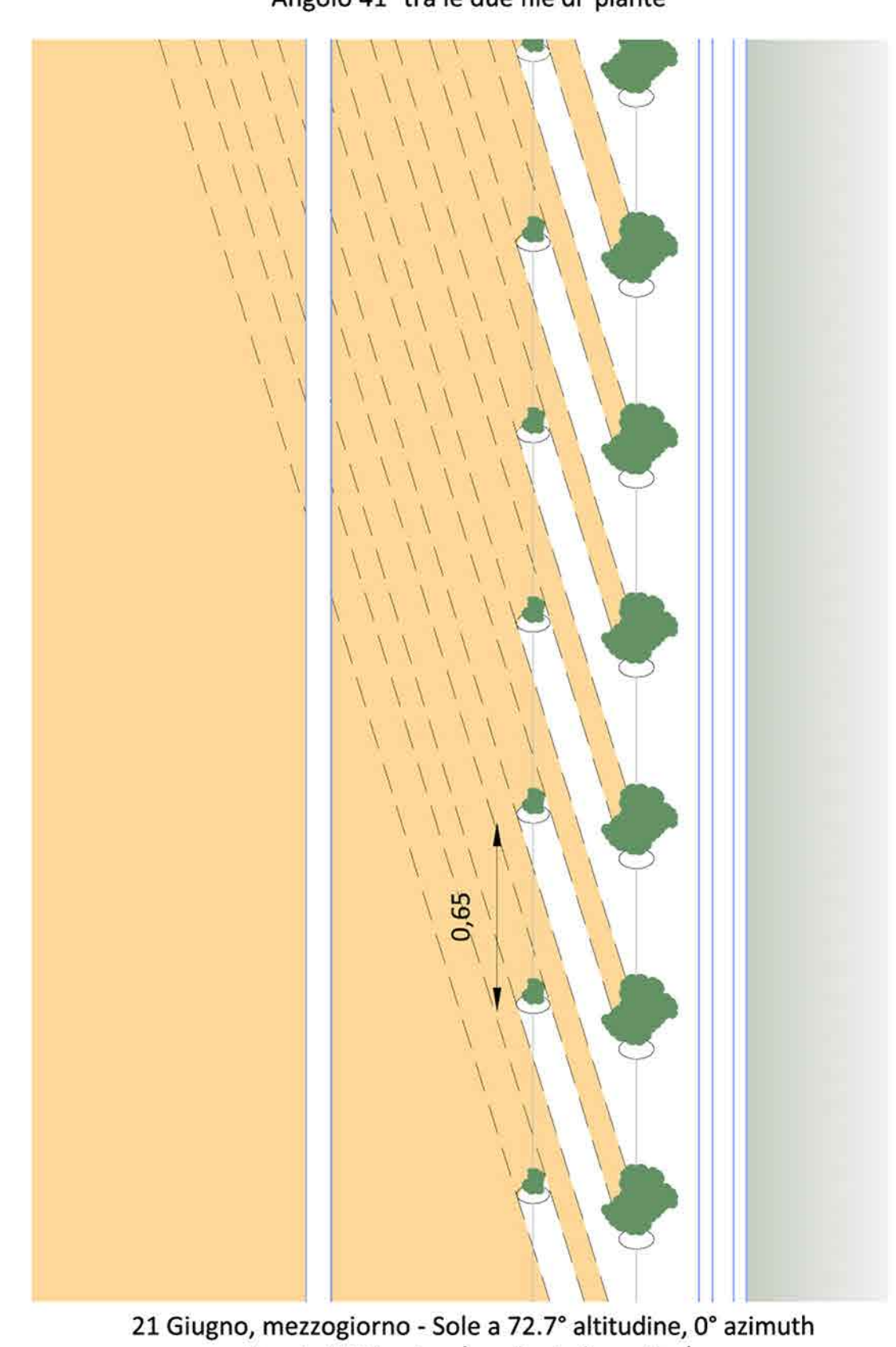




21 Dicembre, mezzogiorno - Sole a 25.8° altitudine, 0° azimuth Spazio 0,45 m tra due piante in verticale



21 Aprile , mezzogiorno - Sole a 6.8° altitudine, 0° azimuth Angolo 41° tra le due file di piante



21 Giugno, mezzogiorno - Sole a 72.7° altitudine, 0° azimuth Spazio 0,65 m tra due piante in verticale

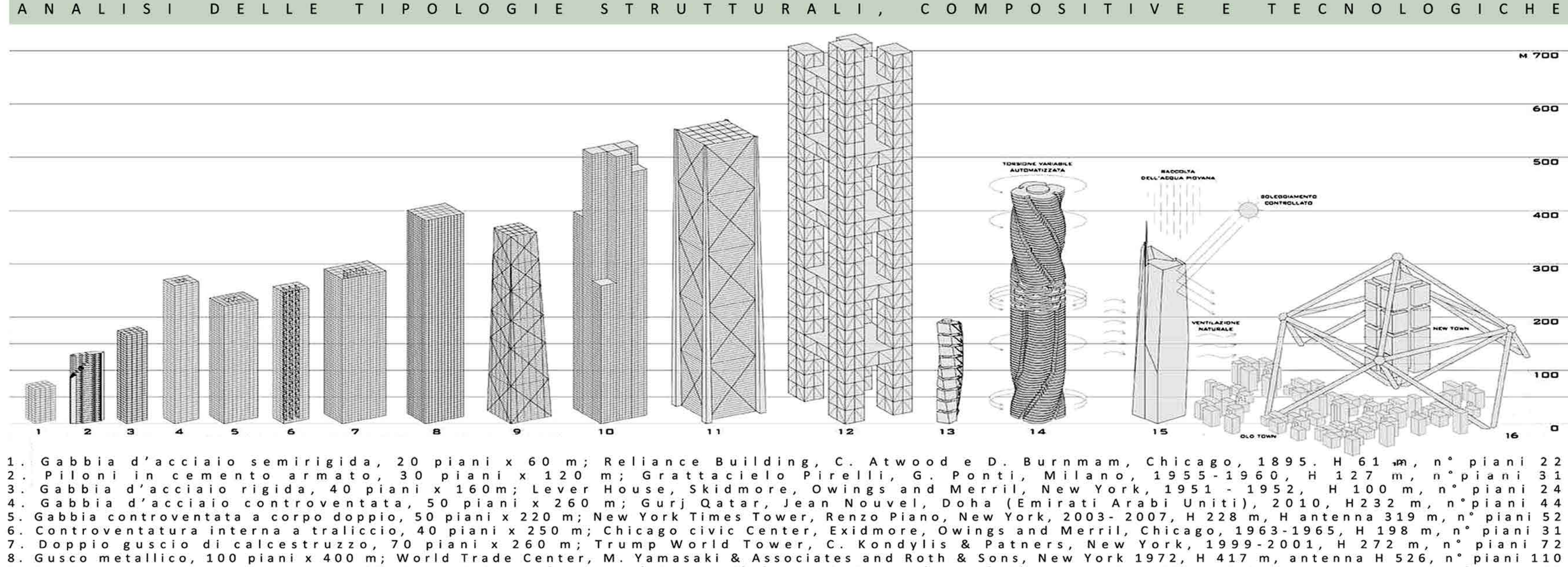
Sebbene gli edifici alti siano considerati generalmente come il prodotto del mondo moderno, **il desiderio umano di costruire in altezza è antico**: le piramidi di Giza in Egitto, il Tempio di Mayan in Tikal (Guatemala) e il Kutab Minar in India - come anche i templi della Grecia, i monumenti dell'antica Roma, i campanili e le torri medioevali, le cattedrali gotiche - sono alcuni esempi che eternamente testimoniano questo istinto umano e le antiche radici del grattacielo.

Tracciare la genesi del grattacielo significa ripercorrere la storia delle costruzioni in altezza dai tempi più antichi della mitica Babele alla letteratura utopica dei trattatisti rinascimentali con le torri infinite della Sforzinda di Filarete, antesignane dei futuristici colossi urbani di Antonio Sant'Elia, alla "staffa delle nuvole" di El Lissitzky (1926), al prisma "cartesiano" di Le Corbusier. Il grattacielo, insomma, come **essenza stessa della modernità** nella sua accezione di **Ossessiva ricerca del nuovo**; colonna paradossale di una struttura architettonica che è la densa metropoli americana del XIX secolo e che si riflette nella tripartizione base, fusto e coronamento, teorizzata da Sullivan negli anni Ottanta dell'800 e ripresa nella proposta – sarcastica o forse metaforica – di Adolf Loos per "il grattacielo più bello del mondo", nell'omonimo concorso internazionale del 1922 per la nuova sede del Chicago Tribune, vinto da Raymond Hood e John Mead Howells.

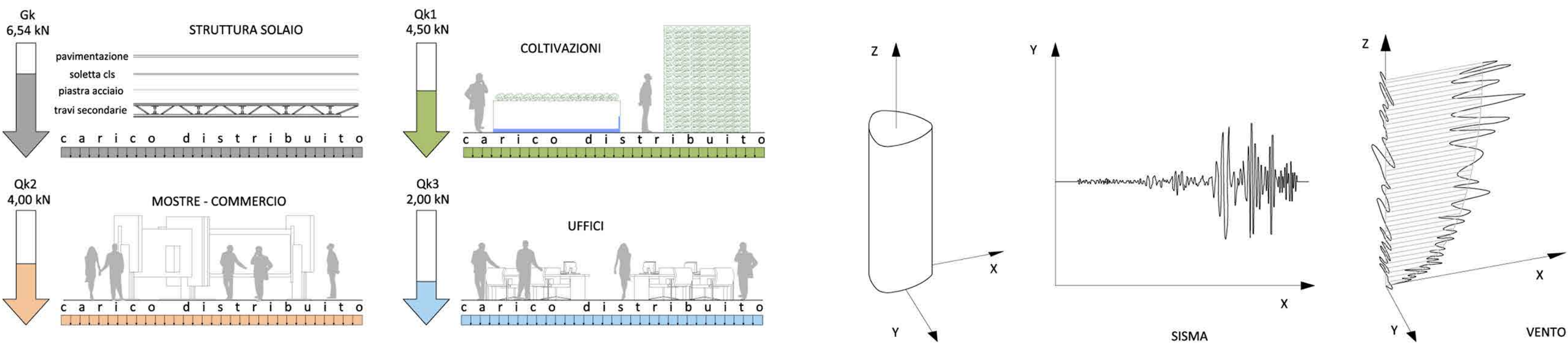
Ma prima di giungere alla codificazione di una tipologia estremamente familiare all'immagine della metropoli americana, il grattacielo è una creatura ibrida e in evoluzione, frutto di un darwinismo progettuale ed economico che parte faticosamente da una storia che quasi sconfina nel mito. Il mito della catastrofe, in questo caso, come quella causata dal **Great Fire del 1871 a Chicago**, dalla cui distruzione si generò l'impulso a costruire in altezza utilizzando l'innovativo telaio metallico sperimentato in Europa vent'anni prima nell'avanguardistico Crystal Palace di Joseph Paxton per l'esposizione universale di Londra del 1851. Risultato dello sviluppo socio-economico e tecnologico dell'America Settentrionale del tardo Ottocento, il grattacielo in senso moderno - **funzionale cioè alle attività umane dell'habitat** - appare più di un secolo fa, tuttavia è solo dopo la Seconda Guerra Mondiale che la rapida urbanizzazione e la crescita della popolazione creano le condizioni per la realizzazione degli edicifi alti, trasformando notevolmente l'aspetto di molte città.

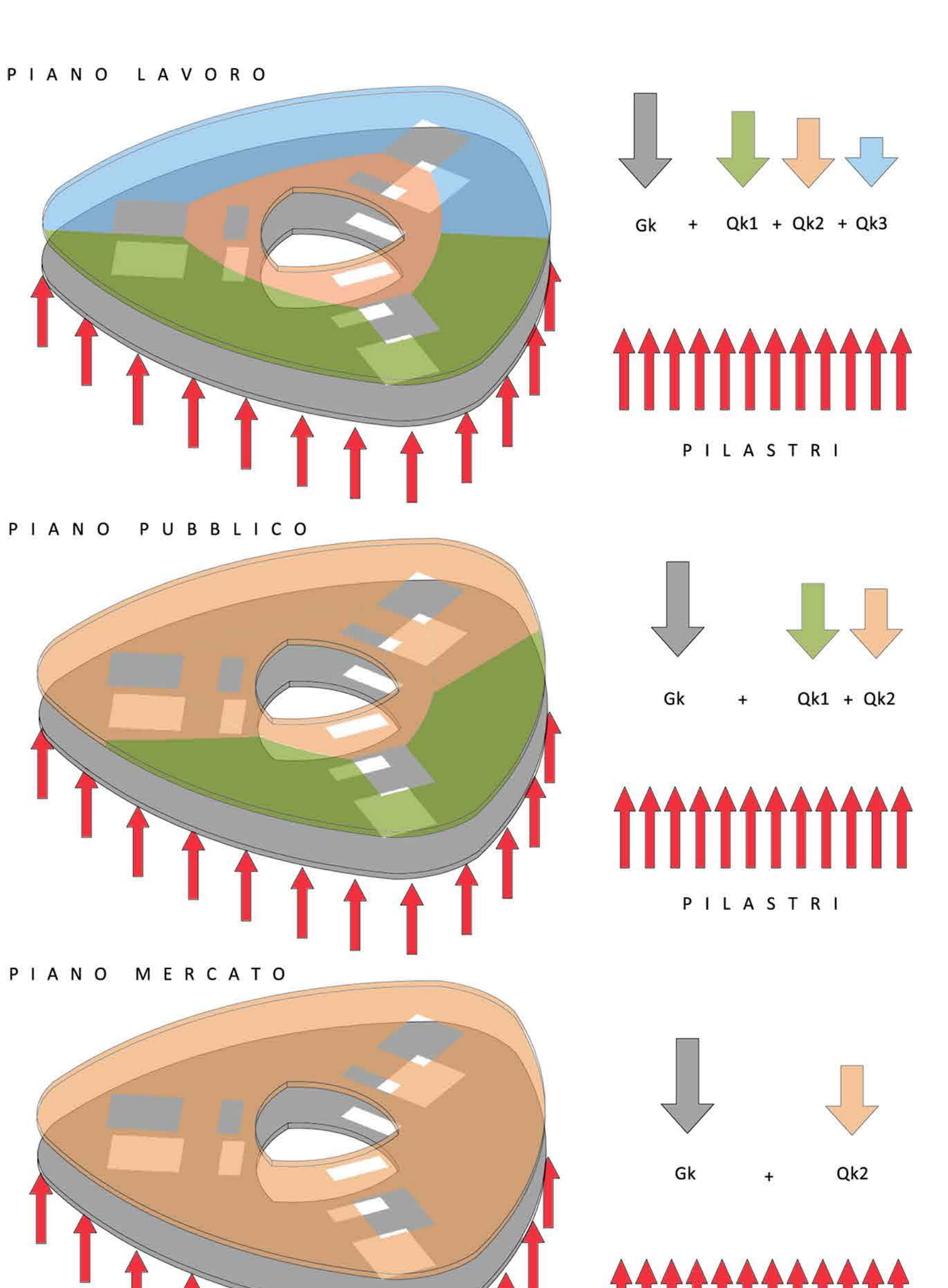
Il grattacielo assume da subito per gli architetti europei un **significato ideale e innovatore per la trasformazione della città** basata sull'adozione dell'edificio alto, mettendo in crisi la cultura urbanistica dell'Europa; ma inizialmente, a causa delle grandi dimensioni e della forma imponente, sotto l'aspetto dell'impatto ambientale e architettonico nascono molte controversie e dibattiti sulla opportunità dell'uso della tipologia alta, soprattutto quando si tratta di tessuti storici. Ed è proprio a causa della stratificazione - come anche per ragioni culturali ed economiche - che il grattacielo europeo tende ad assumere un significato diverso rispetto a quello americano: se quest'ultimo è inteso come un **continuum**, un oggetto **ripetibile potenzialmente all'infinito** all'interno della maglia ortogonale del suolo urbano - tipico delle città degli Stati Uniti, in Europa invece l'edificio alto ha un valore di simbolo, **unicum**, emergenza, comunque di **episodio lacerante** all'interno del tessuto urbano stratificato attraverso i secoli.

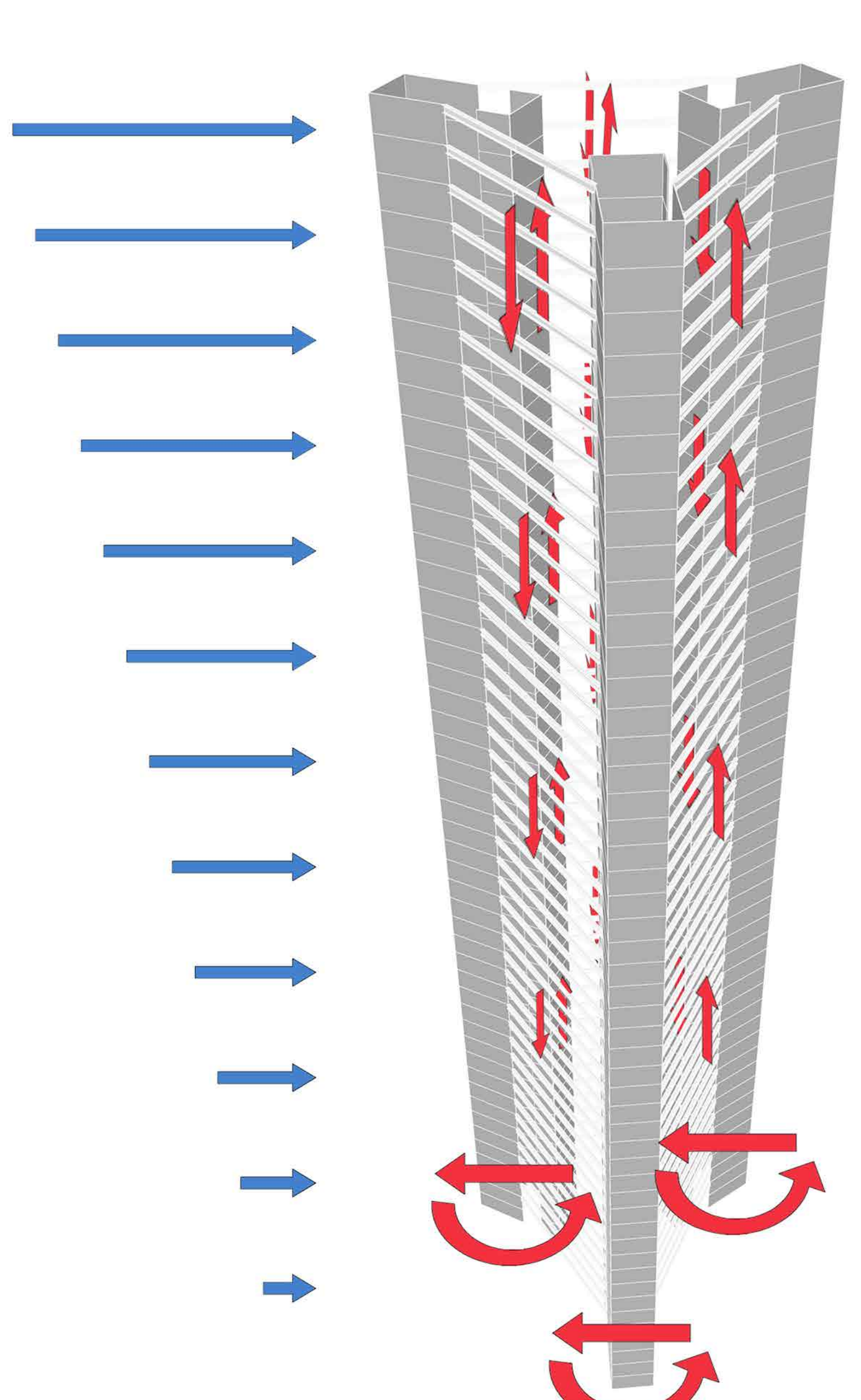
Malgrado l'ampia diffusione del grattacielo, dopo diversi ed accesi dibattiti, ancora oggi molto imprecisi appaiono i confini della definizione di edificio alto. Se tutti sono d'accodo che il grattacielo sia stato inventato negli Stati Uniti, ben pochi sono gli studiosi che concordano sull'esatta origine di questa importante tipologia edilizia: c'è chi vede lo sviluppo del **grattacielo come processo principalmente tecnologico** e c'è chi invece lo interpreta in termini puramente visivi. Tuttavia una definizione basata esclusivamente sull'altezza, percepita soprattutto in relazione al profilo urbano complessivo, non può avere che un valore relativo: i grattacieli di ieri sono diventati gli edifici commerciali più bassi di oggi; inoltre, bisogna considerare il fatto che gli edifici alti europei non sono assolutamente paragonabili con quelli americani.



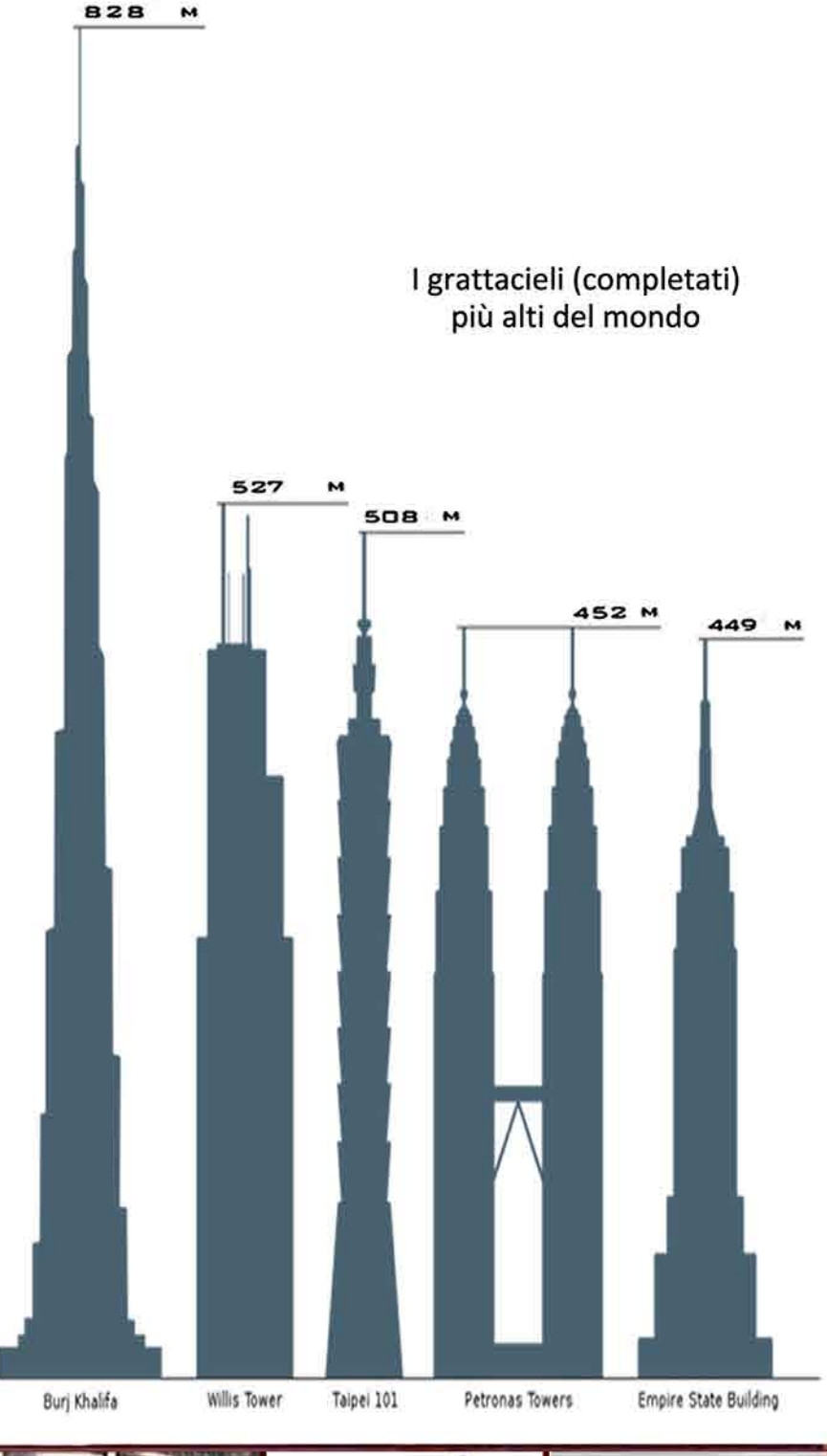
4. Gabbia d'acciaio controventata, 50 piani x 160m; Lever House, Skidmore, Owings and Merril, New York, 1951 - 1952, H 100 m, n° piani 24 4. Gabbia d'acciaio controventata, 50 piani x 260 m; Gurj Qatar, Jean Nouvel, Doha (Emirati Arabi Uniti), 2010, H232 m, n° piani 44 5. Gabbia controventata a corpo doppio, 50 piani x 220 m; New York Times Tower, Renzo Piano, New York, 2003 - 2007, H228 m, Hantenna 319 m, n° piani 52 6. Controventatura interna a traliccio, 40 piani x 250 m; Chicago civic Center, Exidmore, Owings and Merril, Chicago, 1963 - 1965, H 198 m, n° piani 52 7. Doppio guscio di calcestruzzo, 70 piani x 260 m; Trump World Tower, C. Kondylis & Patners, New York, 1999 - 2001, H 272 m, n° piani 72 8. Gusco metallico, 100 piani x 400 m; World Trade Center, M. Yamasaki & Associates and Roth & Sons, New York 1972, H 417 m, antenna 4526, n° piani 100 9. Guscio a controventatura esterna, 100 piani x 300 m; John Hancock Center, Skidmore, Owings and Merril, Chicago, 1965 - 1969, H 343m, H antenna 4526, n° piani 110 10. Fascio di gusci, 120 piani x 490 m; Sears Tower, Skidmore, Owings and Merril, Chicago, 1970 - 1974, H 443 m, antenna 4527 m, n° piani 100 11. Traliccio rinforzato, 130 pinai x 520 m; Landmark Tower, Studding Associates, Yokohama, 1991 - 1993, H 296 m, n° piani 100 12. Traliccio multipli, 170 piani x 700 m; Shenzhen Logistic City, Julien De Shedy, Shenzhen, progetto del 2007, H 666 m, n° piani 165 13. Torre a torsione; Torso Tower, S. Calatrava, Malmo, 2001 - 2005, H 190 m, n° piani 54 14. Torre dinamica; Rotating Tower, Cook + Fox Architects, New York, 2004 - 2009, H 288, antenna H 366 m, n° piani 54 16. Il ritorno utopico di modelli del passato: Shimizu Mega City Pyramid, Shimizu Corporation, Tokyo, progetto del 2006, H 2000 m, n° 24 torri da 60 piani ciascuna













PILASTRI

Università di Roma "LA SAPIENZA"\_Facoltà di Architettura VALLE GIULIA\_Corso di Laurea in ARCHITETTURA UE\_AA2010/2011\_Tema: Progettazione di un prototipo di Vertical Farm\_Relatori; ING. Paolo FRANCHIN\_ARCH. Luca REALE \_ING. Francesco MANCINI\_Laureanda: Kathy SASSUN

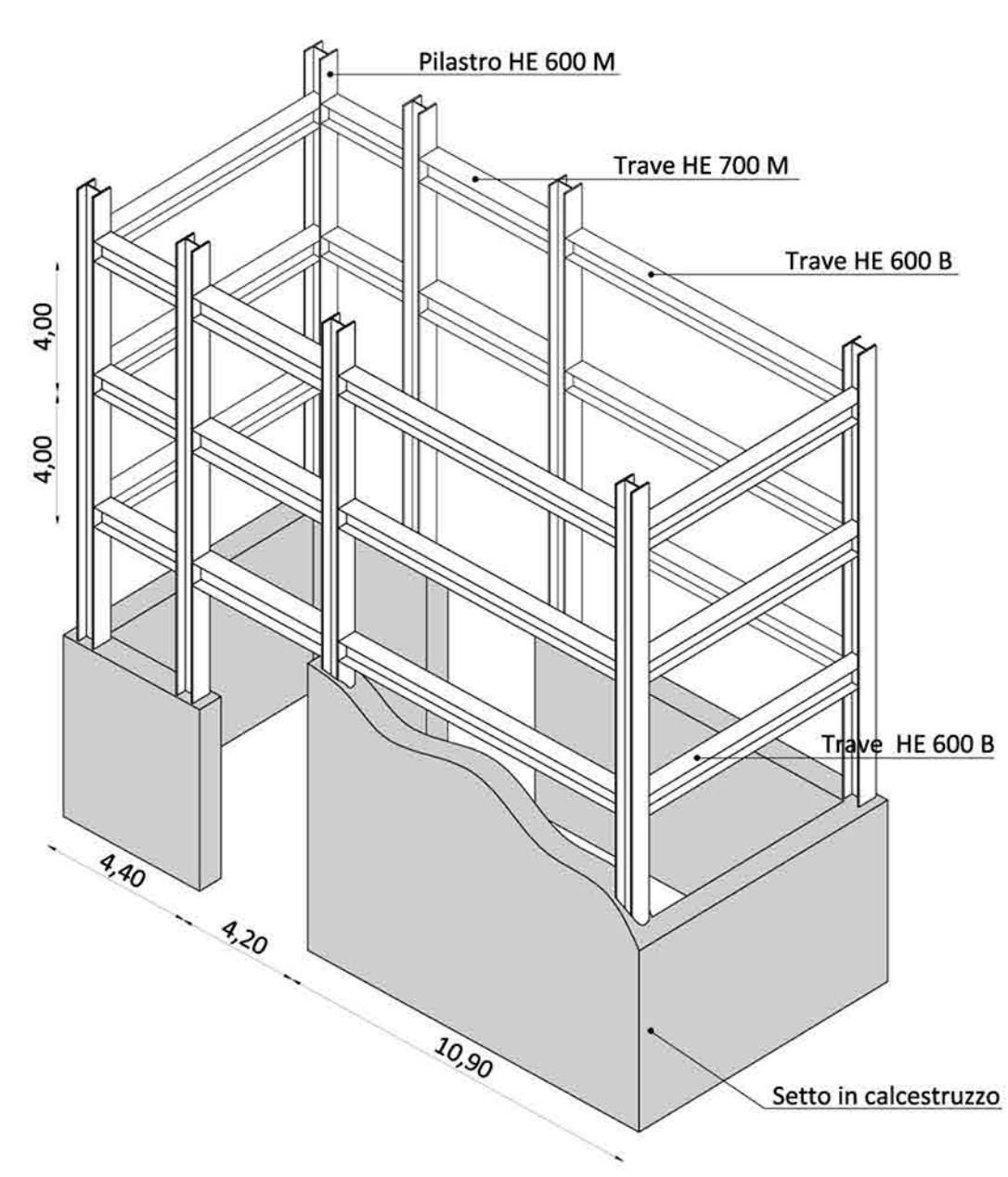
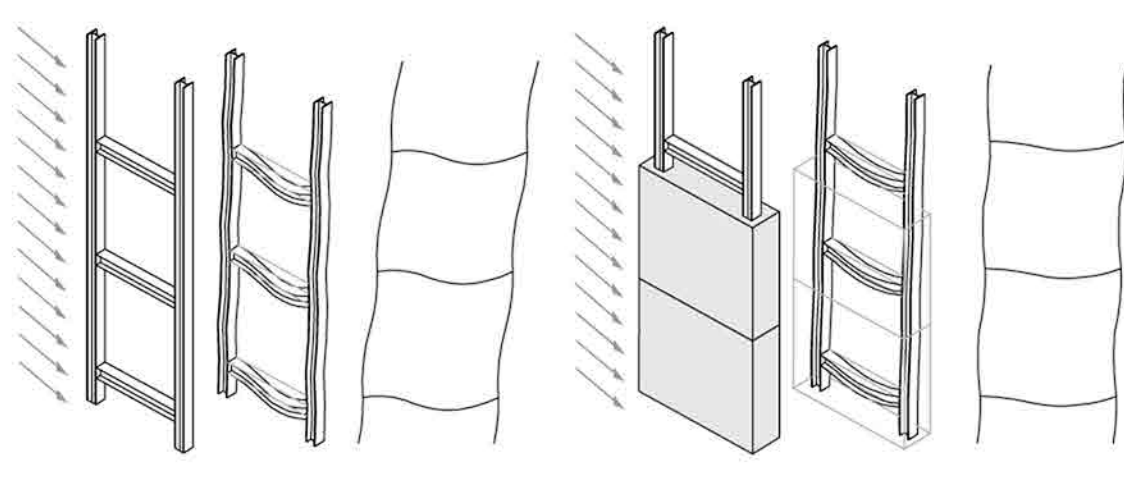
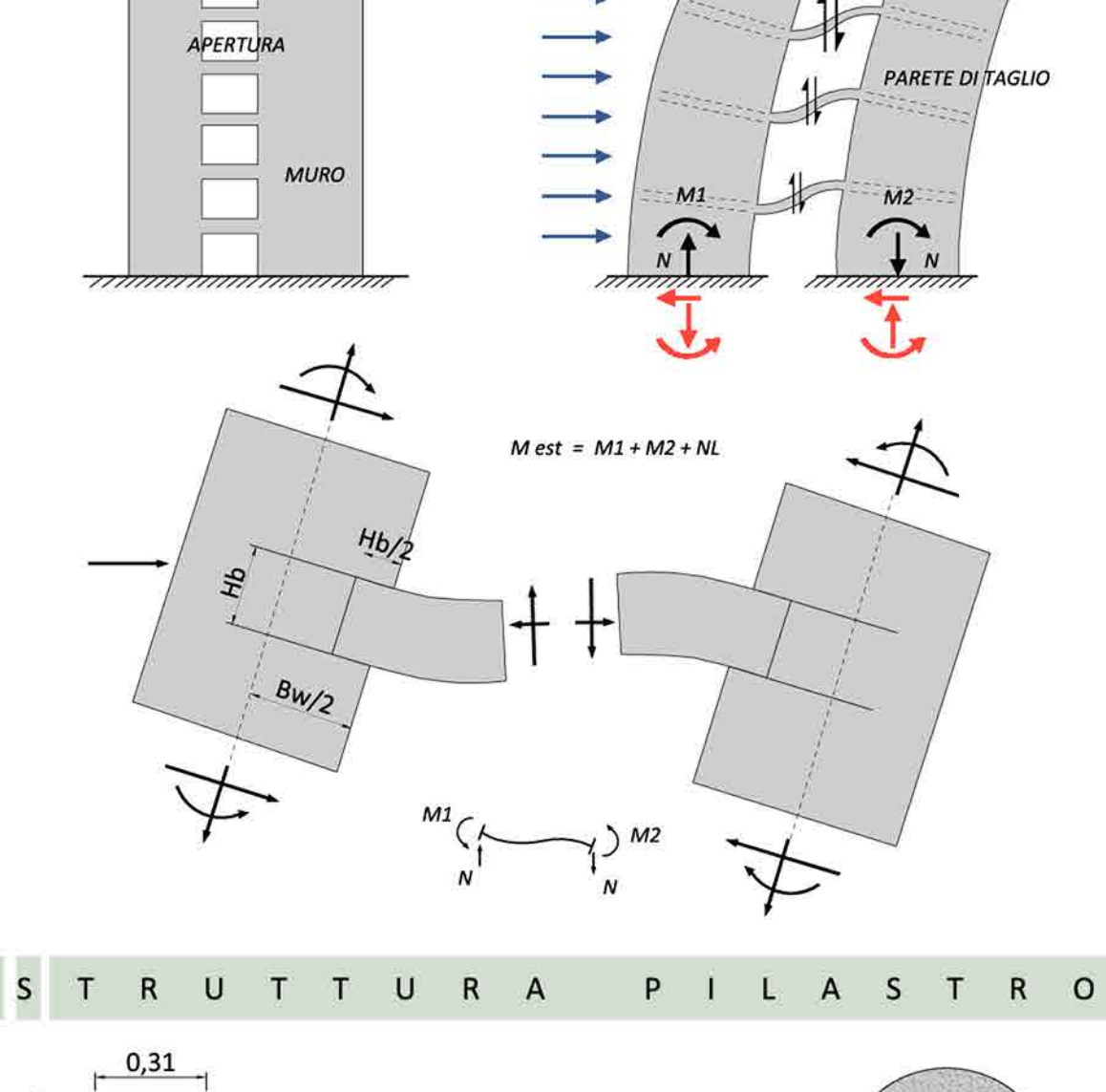


Diagramma delle sollecitazioni causate da forze orizzontali in una struttura con o senza

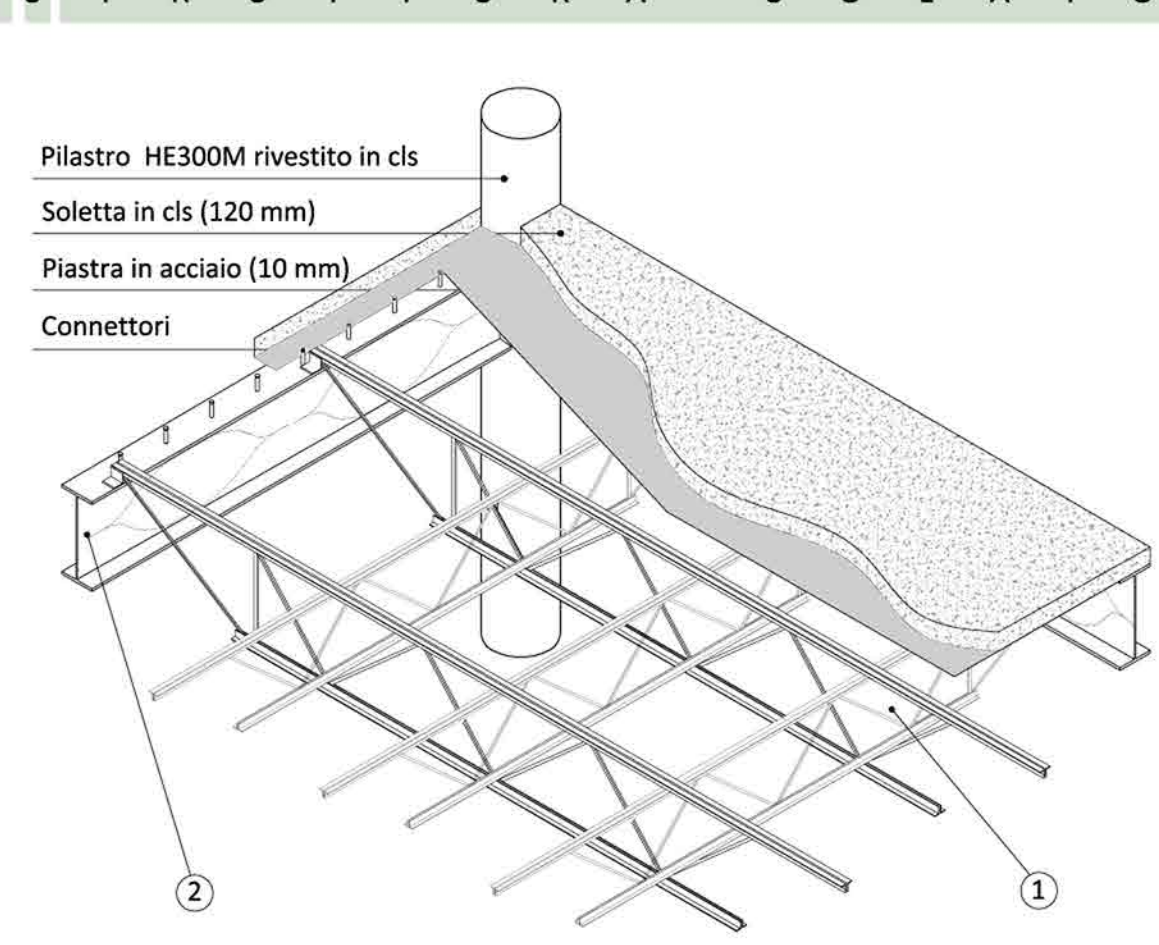
Le sollecitazioni negli elementi portanti semplici risultano essere circa il doppio degli stessi

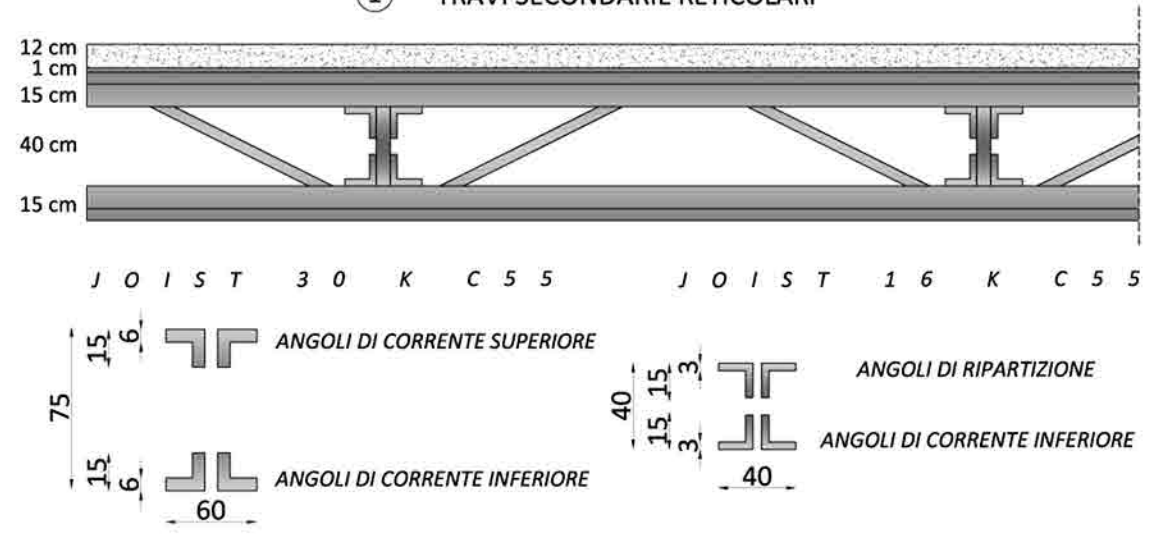


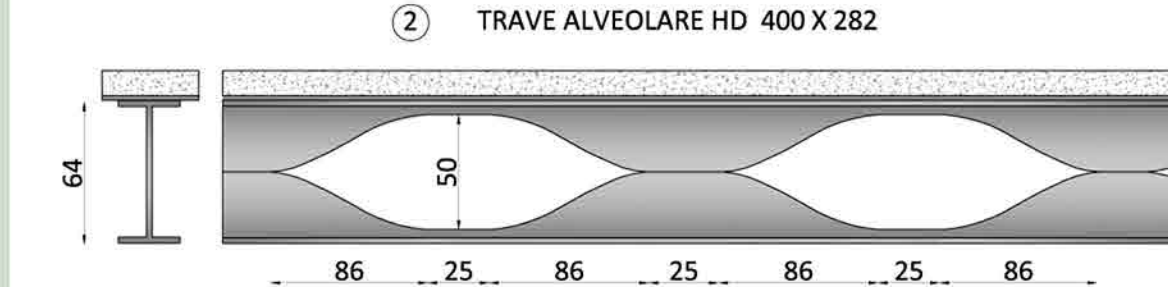
Un sistema di muri di taglio interconnessi esibiscono una rigidezza che supera di molto la somma delle rigidezze dei singoli muri. Questo perchè la trave di accoppiamento trattiene la curvatura dei muri individuali, costringendo il sistema a lavorare come unica entità. I muri si

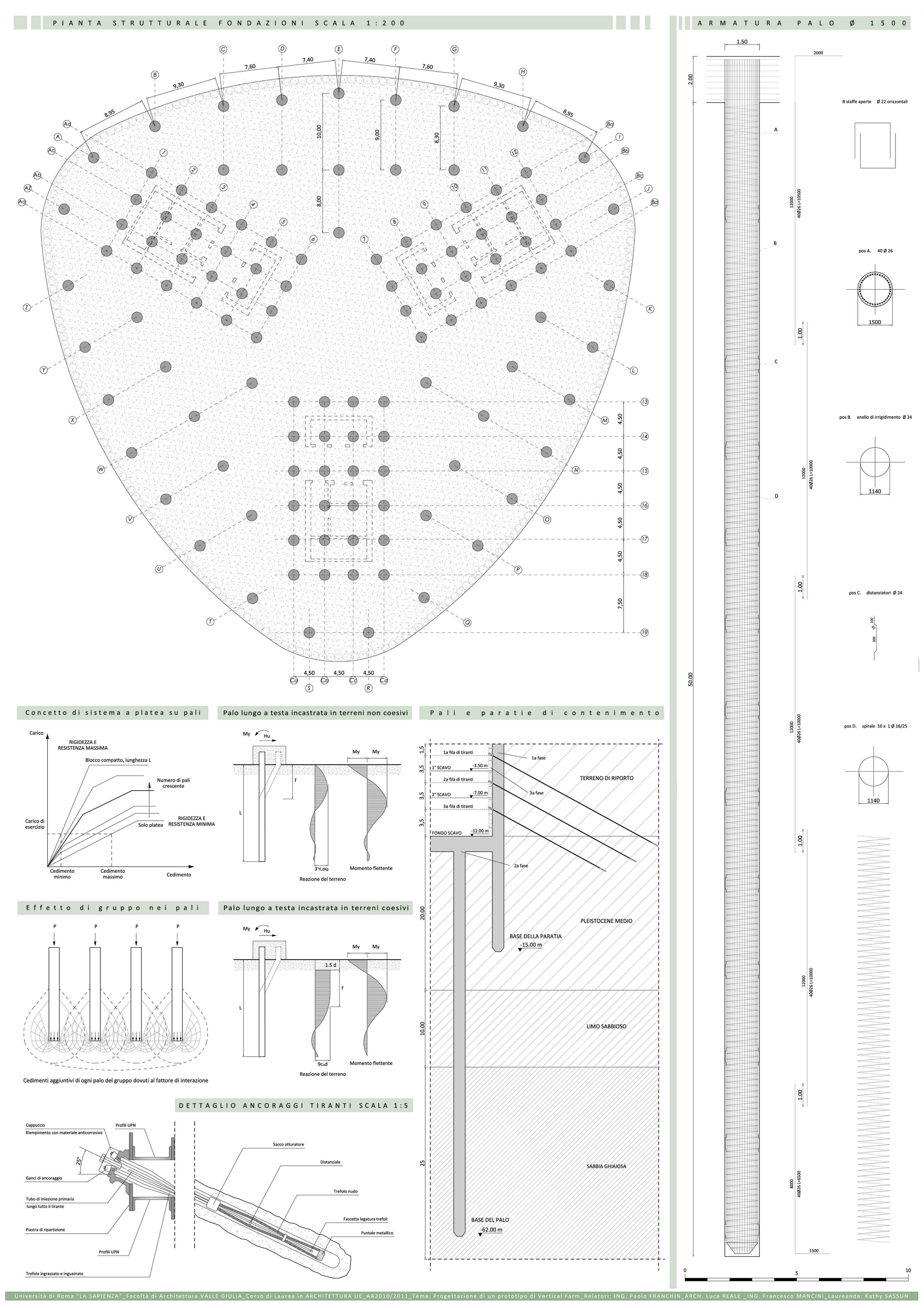






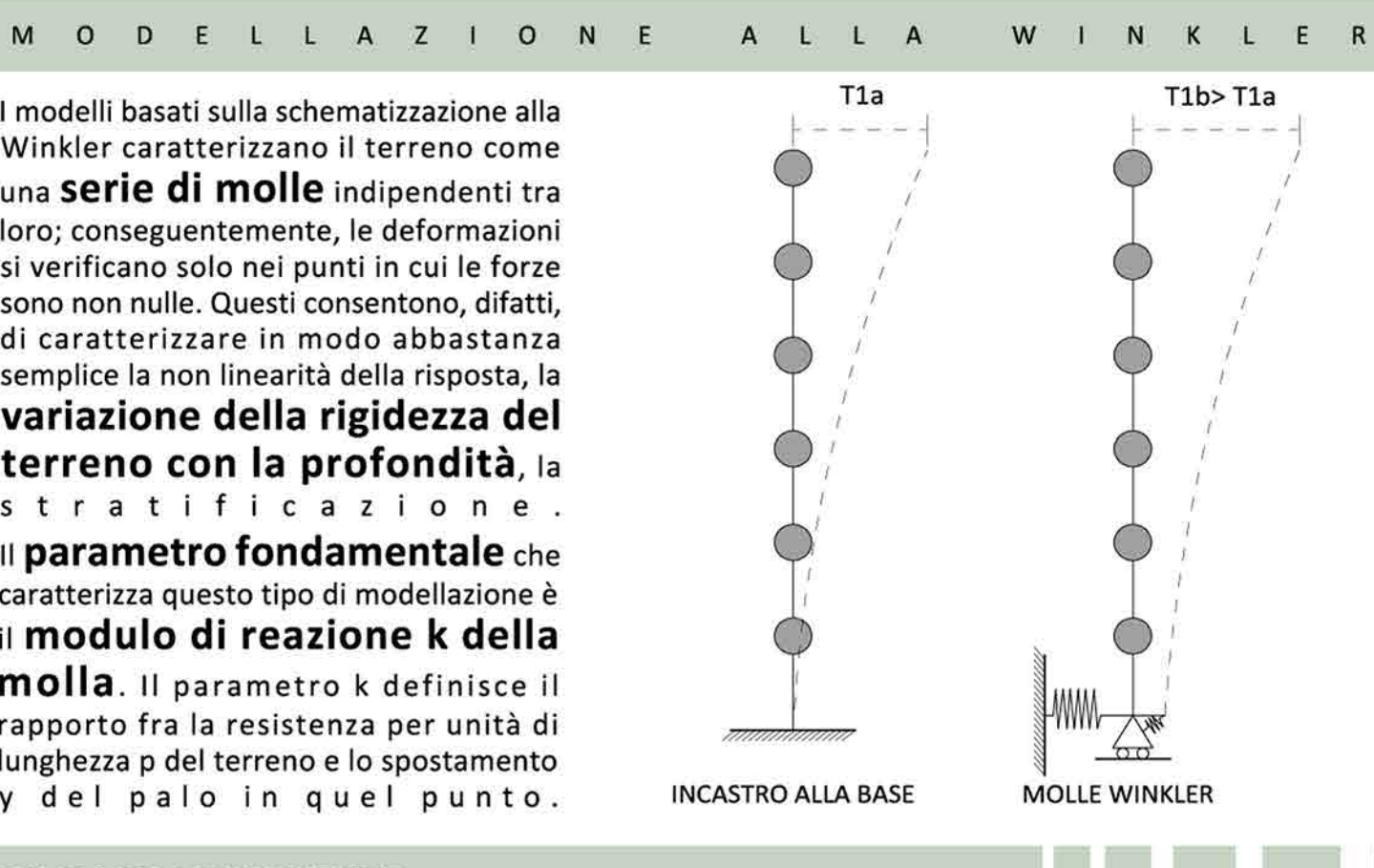






# ANALISI SISMICA CON IPOTESI DI INCASTRO ALLA BASE DIAGRAMMA QUALITATIVO DELLO SPETTRO DI RISPOSTA CONTROLLO CONTINUO MEDIANTE MODELLI DI COMPLESSITÀ CRESCENTE TRE MENSOLE COLLEGATE RIGIDAMENTE 1 MODELLO COMPLETO TRE MENSOLE MENSOLA DI PELLE ESTERNA E PALI DI FONDAZIONE COLLEGATE AD UN SOLAIO DI RIGIDEZZA EQUIVALENTE UNICA Apiano = $3800 \text{ m}^2$ EJtot = 16 \* 10^6 MPa Etravi = 2.1 e+12 MPa Emolle = 330 \* 10^3 kN 20 $Mtot = 2,6 * 10^6 kN$ Wpiano = $12 \text{ kN/m}^2$ $M = 2.6 * 10^6 kN$ Nmolle = 99 0 0,5 1 1,5 2 2,5 3 3,5 4 4,5 5 5,5 6 6,5 7 7,5 8 8,5 9 9,5 10 Periodi legati alla diversa altezza dell' edificio T = 3,62 sT = 3,35 sT = 3,55 sT = 4,26 sSECONDO MODO DI VIBRAZIONE PRIMO MODO DI VIBRAZIONE SPETTRO DI RISPOSTA : REGGIO CALABRIA VITA NOMINALE : 100 anni CLASSE D'USO: IV SPETTRO DI RISPOSTA : REGGIO CALABRIA VITA NOMINALE : 100 anni CLASSE D'USO: IV 0,9 <u>80</u> 0,8 ACCELERAZIONE SPETTRALE Se (g) Se SPETTRALE S ACCELERAZIONE S T = 3,49 sT = 3,62 s0 0,5 1 1,5 2 2,5 3 3,5 4 4,5 5 5,5 6 6,5 7 7,5 0 0,5 1 1,5 2 2,5 3 3,5 4 4,5 5 5,5 6 6,5 7 7,5 PERIODO T (s) PERIODO T (s) $T_1 = 3,62 s$ $T_2 = 3,49 s$ Massa totale partecipante: 66% Massa totale partecipante: 66% QUARTO MODO DI VIBRAZIONE QUINTO MODO DI VIBRAZIONE SPETTRO DI RISPOSTA : REGGIO CALABRIA VITA NOMINALE : 100 anni CLASSE D'USO: IV SPETTRO DI RISPOSTA : REGGIO CALABRIA VITA NOMINALE : 100 anni CLASSE D'USO: IV ACCELERAZIONE SPETTRALE Se (g) T = 0,77 s T = 0.79 s0 0,5 1 1,5 2 2,5 3 3,5 4 4,5 5 5,5 6 6,5 7 7,5 0 0,5 1 1,5 2 2,5 3 3,5 4 4,5 5 5,5 6 6,5 7 7,5 PERIODO T (s) PERIODO T (s) $T_5 = 0,77 s$ $T_4 = 0,79 s$ Massa totale partecipante: 17% Massa totale partecipante: 17%

I modelli basati sulla schematizzazione alla Winkler caratterizzano il terreno come una serie di molle indipendenti tra loro; conseguentemente, le deformazioni si verificano solo nei punti in cui le forze sono non nulle. Questi consentono, difatti, di caratterizzare in modo abbastanza semplice la non linearità della risposta, la variazione della rigidezza del terreno con la profondità, la stratificazione. II parametro fondamentale che caratterizza questo tipo di modellazione è ii modulo di reazione k della molla. Il parametro k definisce il rapporto fra la resistenza per unità di lunghezza p del terreno e lo spostamento y del palo in quel punto.

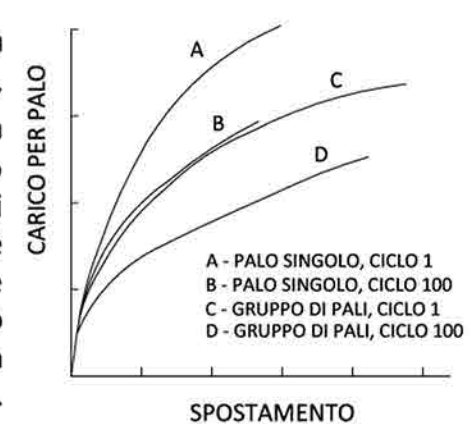


In un gruppo di pali caricato da azioni orizzontali i fenomeni di interazione reciproca palo - terreno - palo determinano, complessivamente, una diminuzione della rigidezza del sistema. In generale, a parità di carico medio per palo, lo spostamento in testa del gruppo di pali è maggiore dello spostamento di un palo isolato; allo stesso modo, a parità di spostamento in testa, il carico sopportato dal palo isolato è superiore al carico medio sopportato dal palo del gruppo. Quantitativamente, l'intensità dell'interazione viene rappresentata definendo l'efficienza n di un gruppo di m pali; tale parametro indica il rapporto, a parità di spostamento in testa, tra il carico medio Hg/m agente su un palo del gruppo (Hg è il carico totale agente sul gruppo) ed il carico Hs agente su un palo singolo ed isolato, identico per caratteristiche a quelli del gruppo. I fenomeni di interazione divengono più rilevanti quanto più l'interasse tra i pali del gruppo è ridotto. Viceversa, l'interazione tende ad estinguersi al crescere della distanza tra i pali. Sistema globale

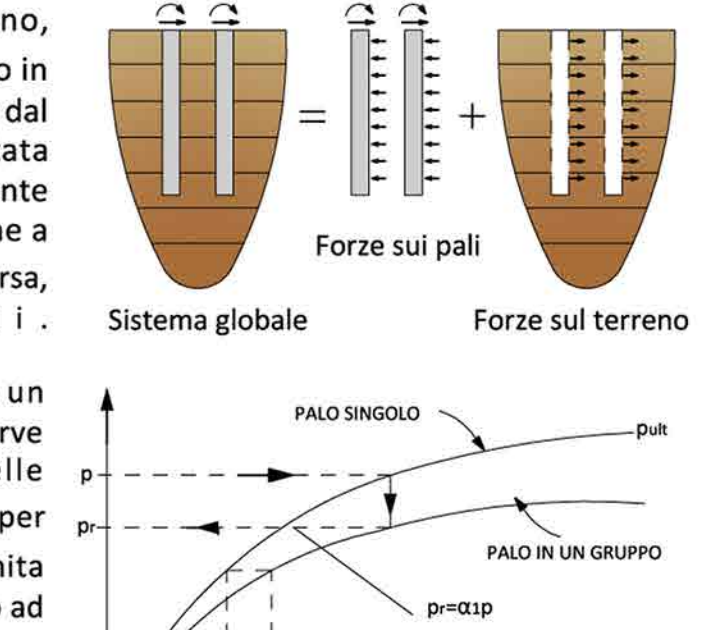
ANALISI

L'efficienza di un gruppo di pali non è costante, ma varia all'aumentare del carico agente sul gruppo; dunque, varia all'aumentare degli spostamenti. La rigidezza iniziale del gruppo e quella del palo singolo sono pressoché uguali; ne consegue che per bassi valori di spostamento, l'efficienza si possa assumere pressoché unitaria. Al crescere del carico, i fenomeni di interazione aumentano e l'efficienza manifesta un andamento decrescente, fino al raggiungimento di un valore asintotico in corrispondenza di spostamenti sufficientemente grandi.

METODO

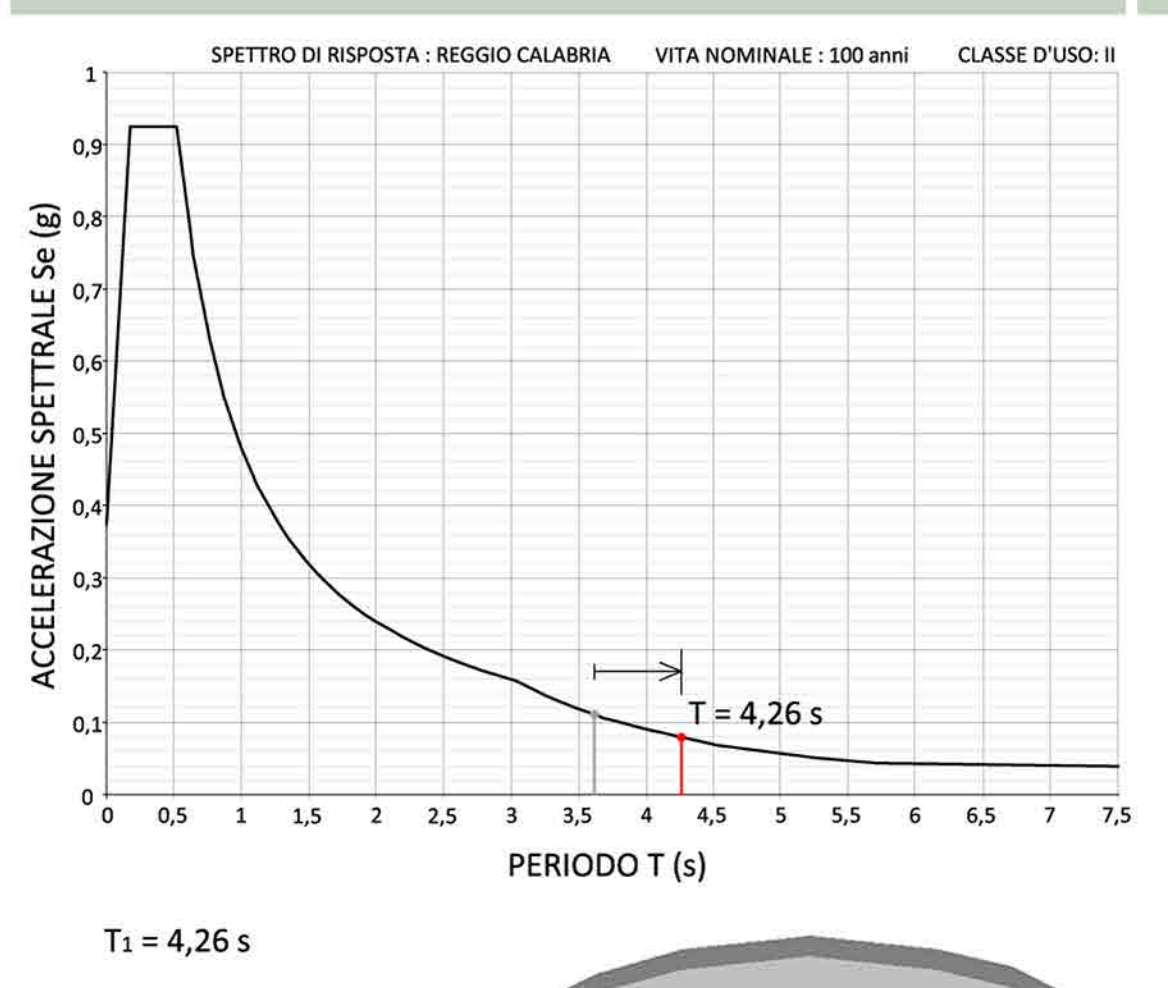


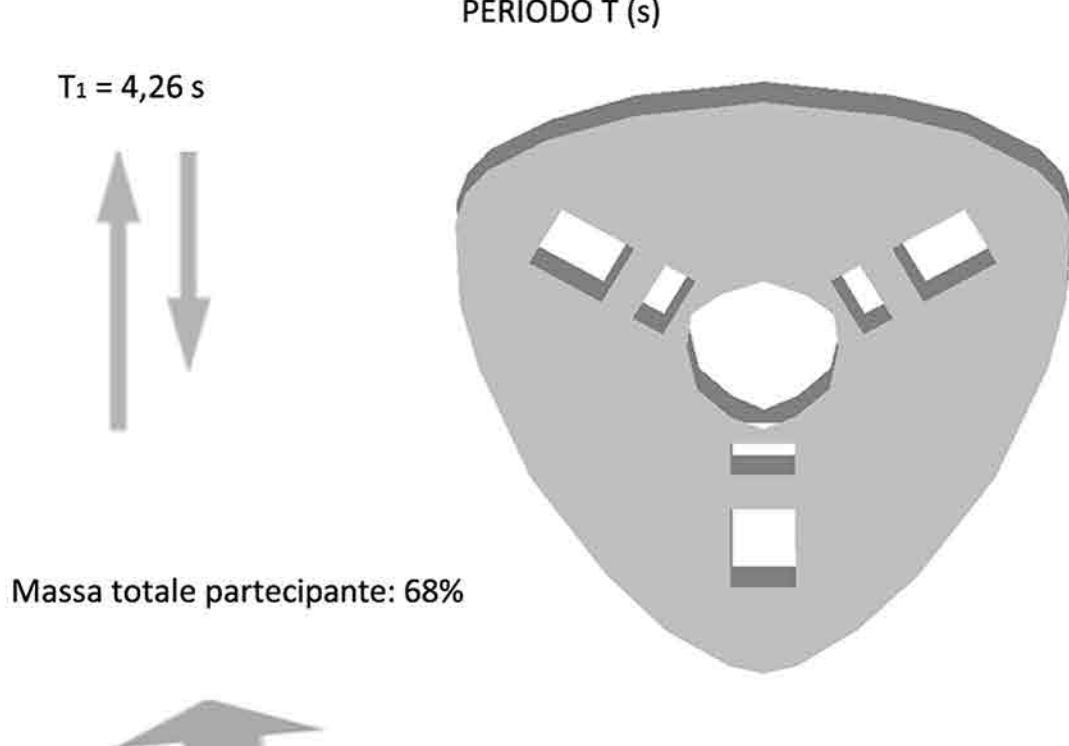
La modellazione della risposta offerta da un gruppo di pali alle sollecitazioni orizzontali con le curve p - y deve essere realizzata introducendo delle modifiche alla forma delle curve ottenute per lo studio del **palo singolo**. La curva p – y definita per un palo singolo può essere modificata ricorrendo ad C-GRUPPO DI PALI, CICLO 1
D-GRUPPO DI PALI, CICLO 100 una coppia di coefficienti moltiplicativi,  $\alpha_1$  ed  $\alpha_2$ , i quali **COrreggono** opportunamente i valori, rispettivamente, di p e di y della curva.

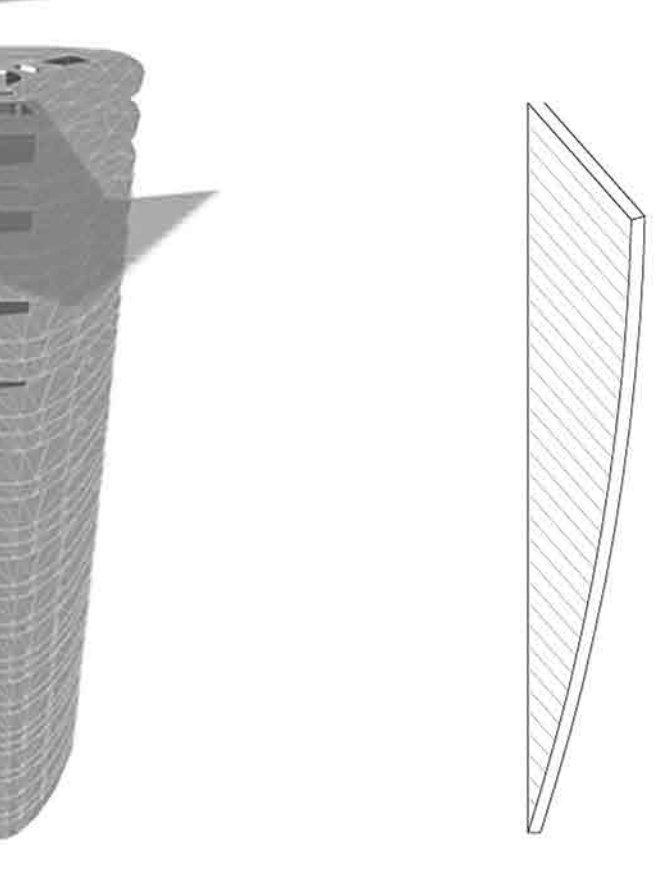


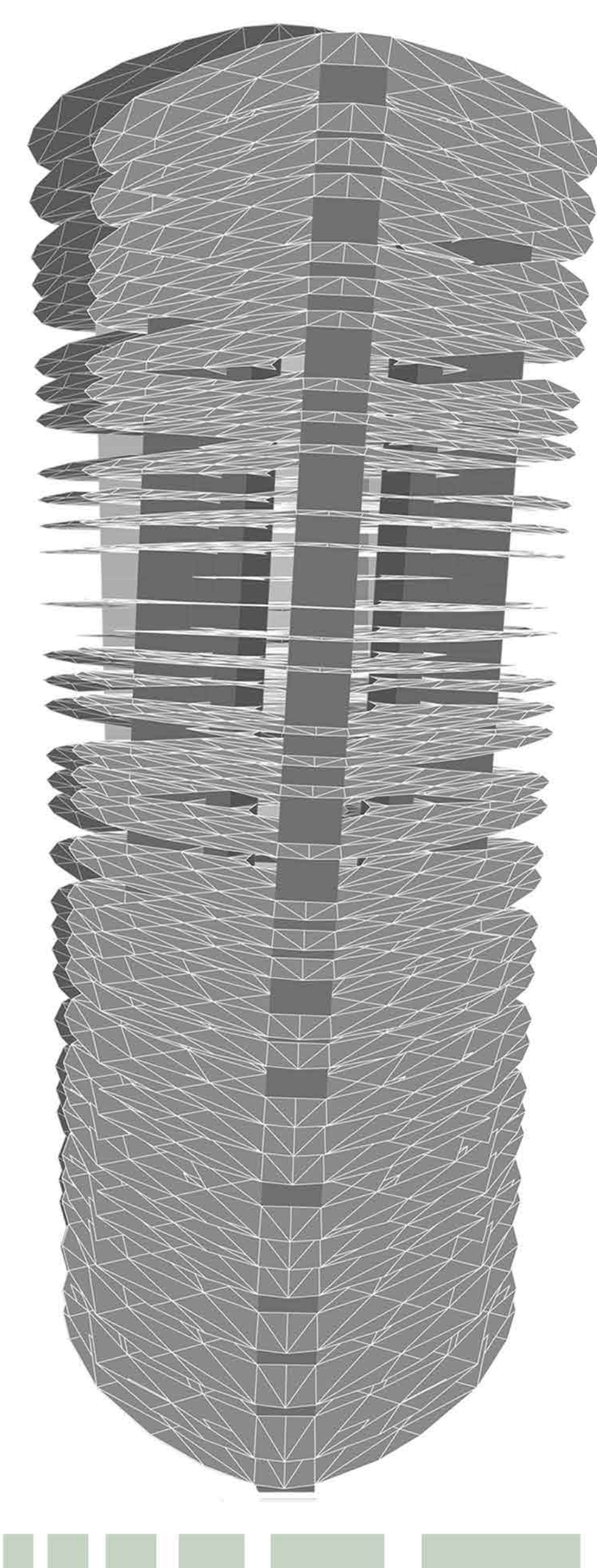
PALI

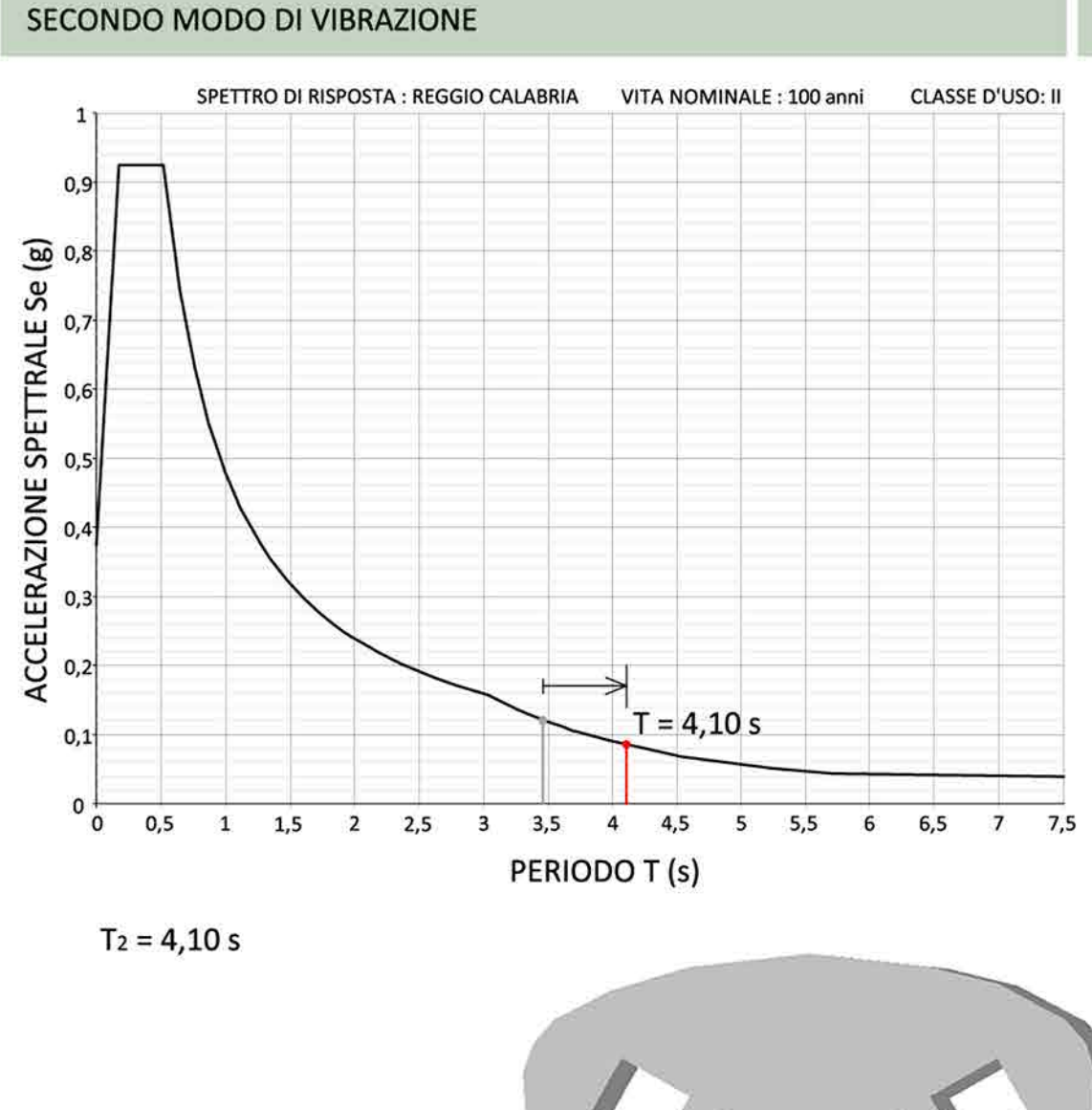
#### PRIMO MODO DI VIBRAZIONE

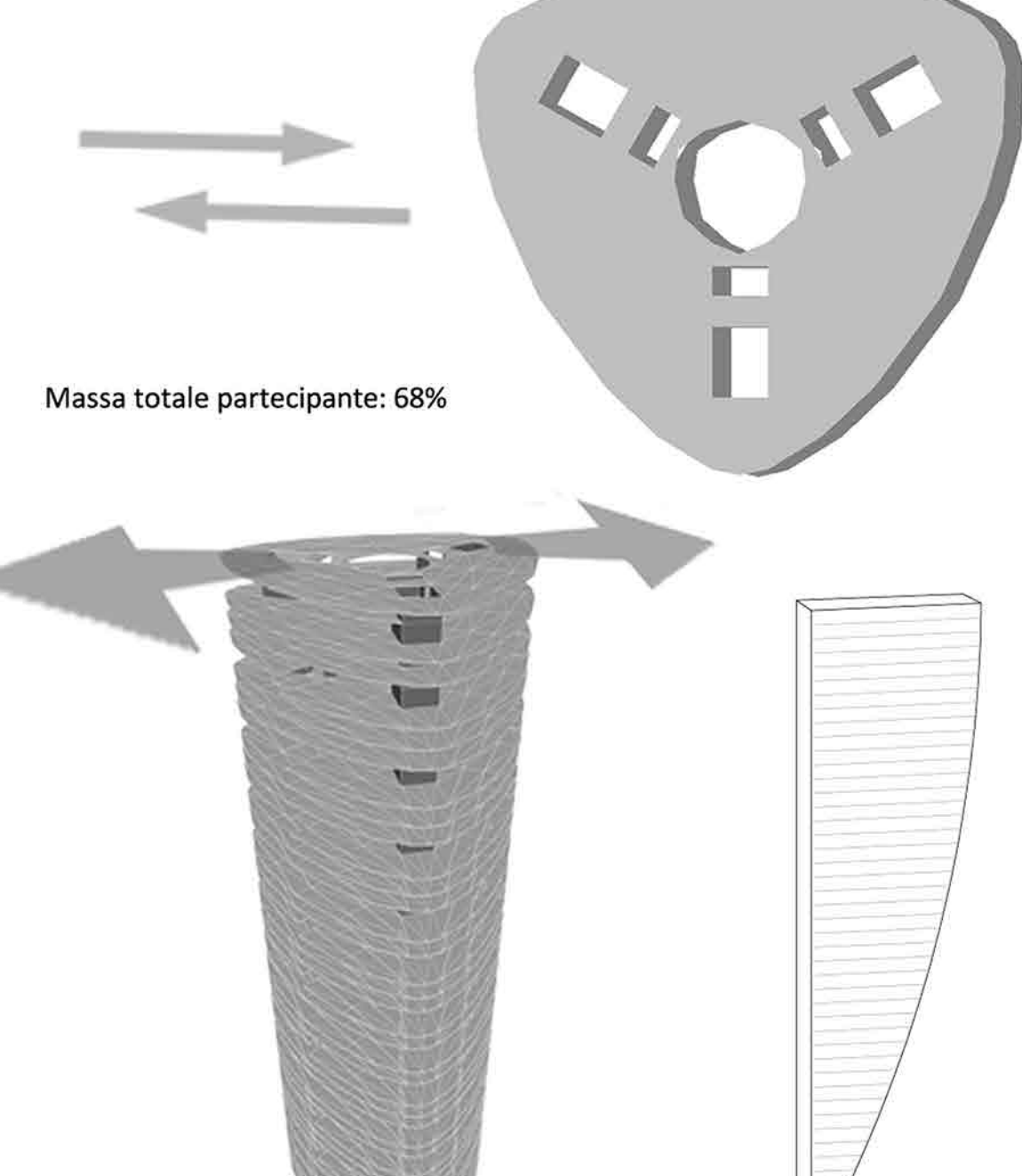


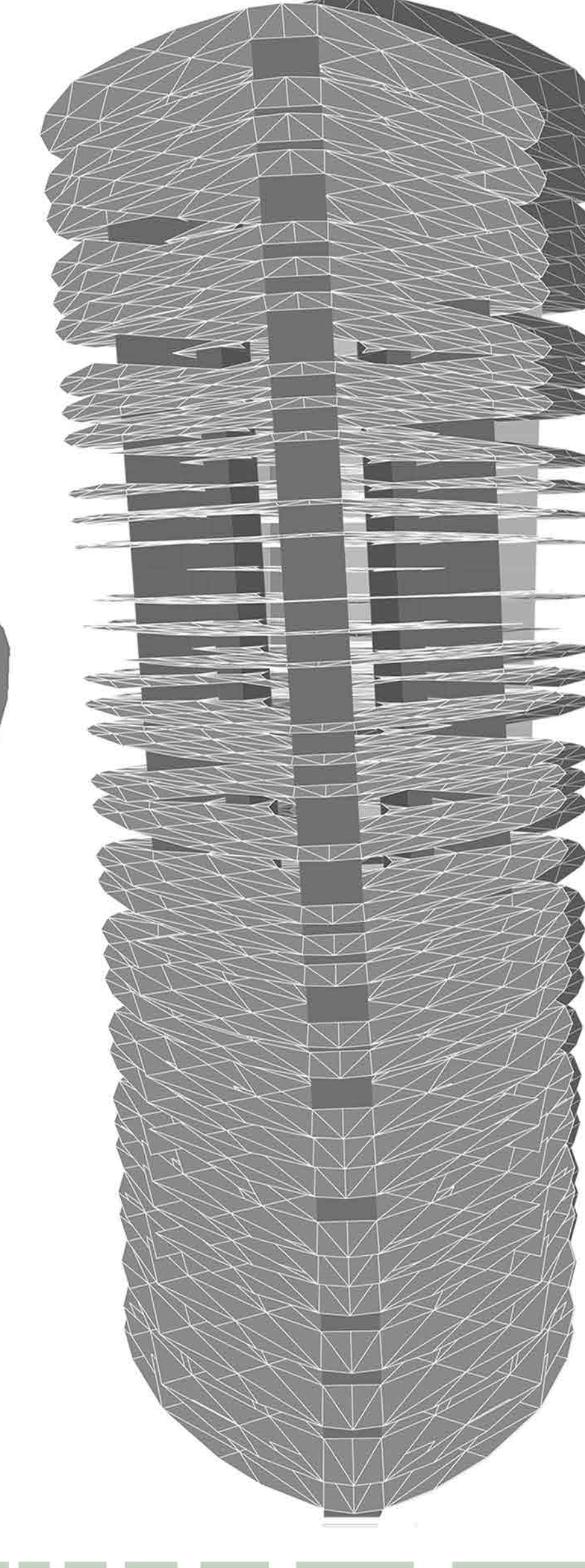




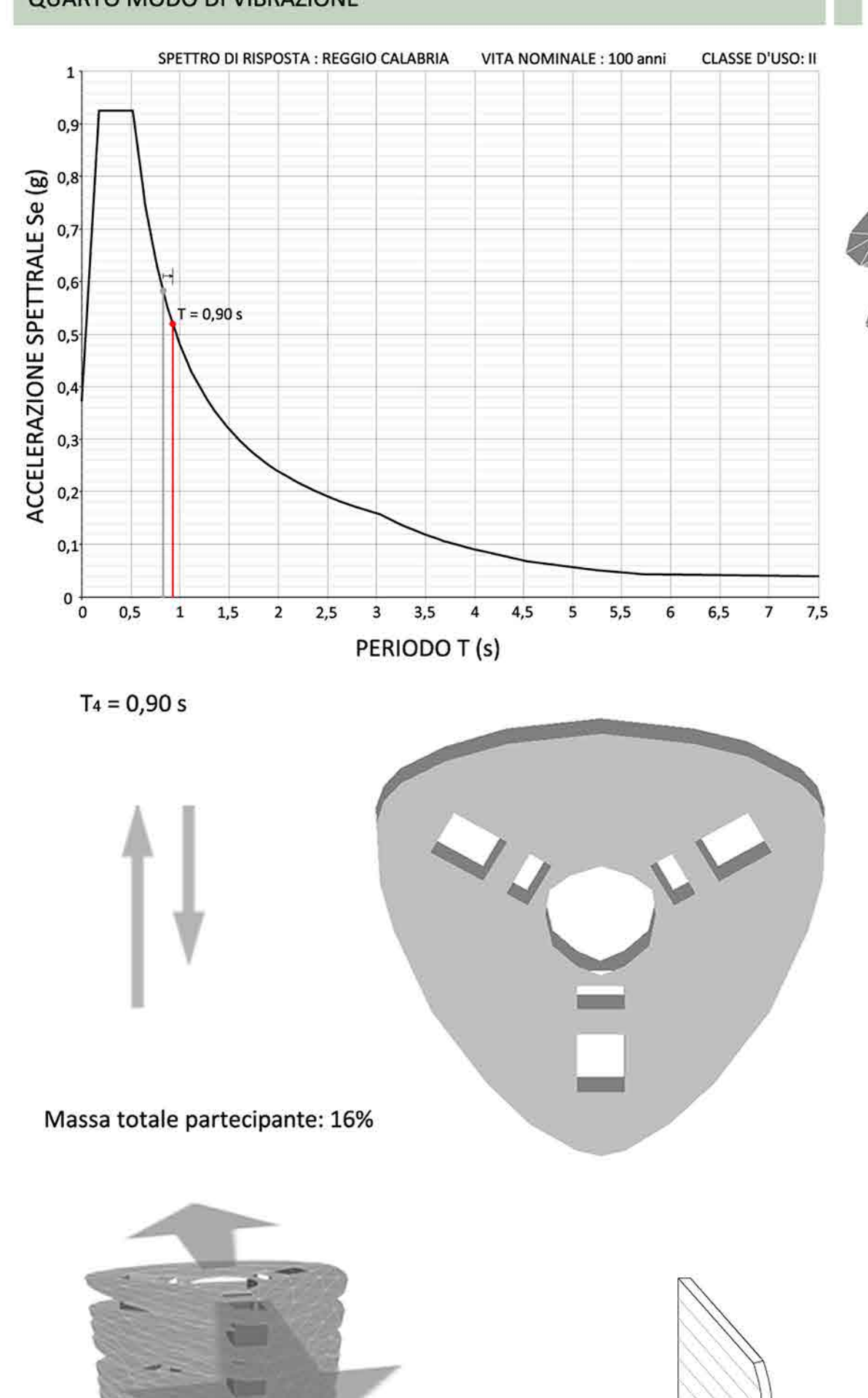


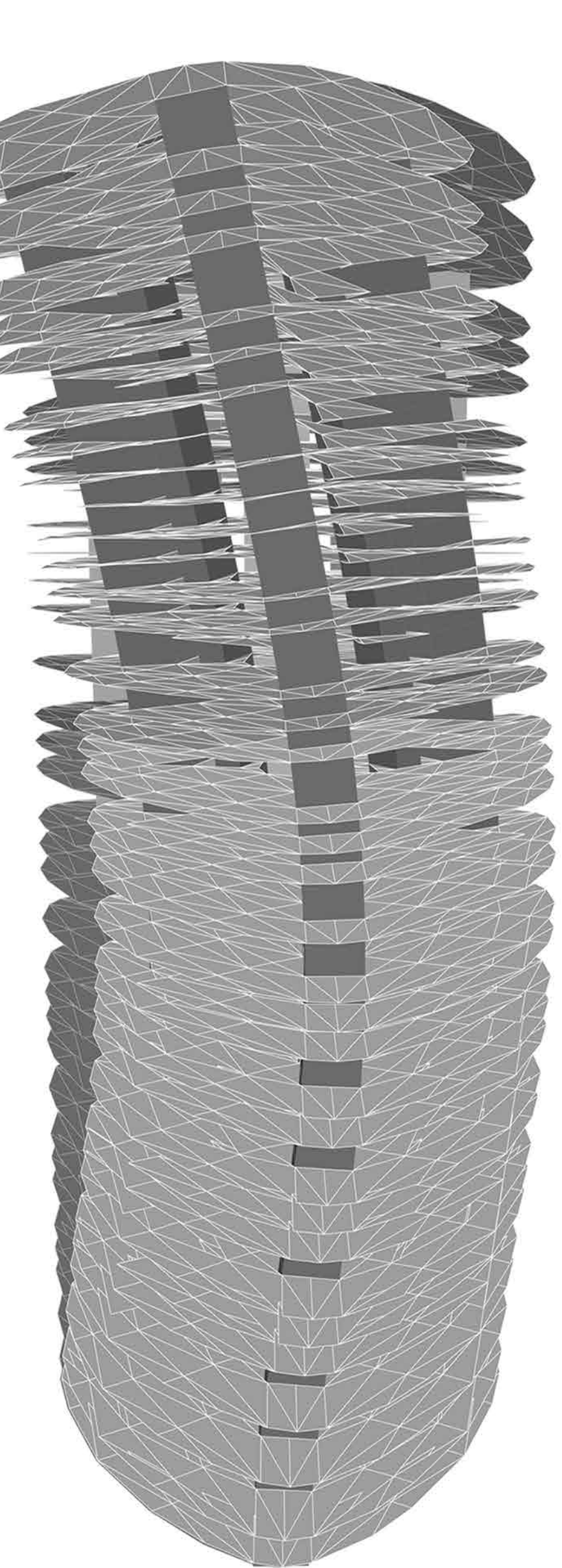


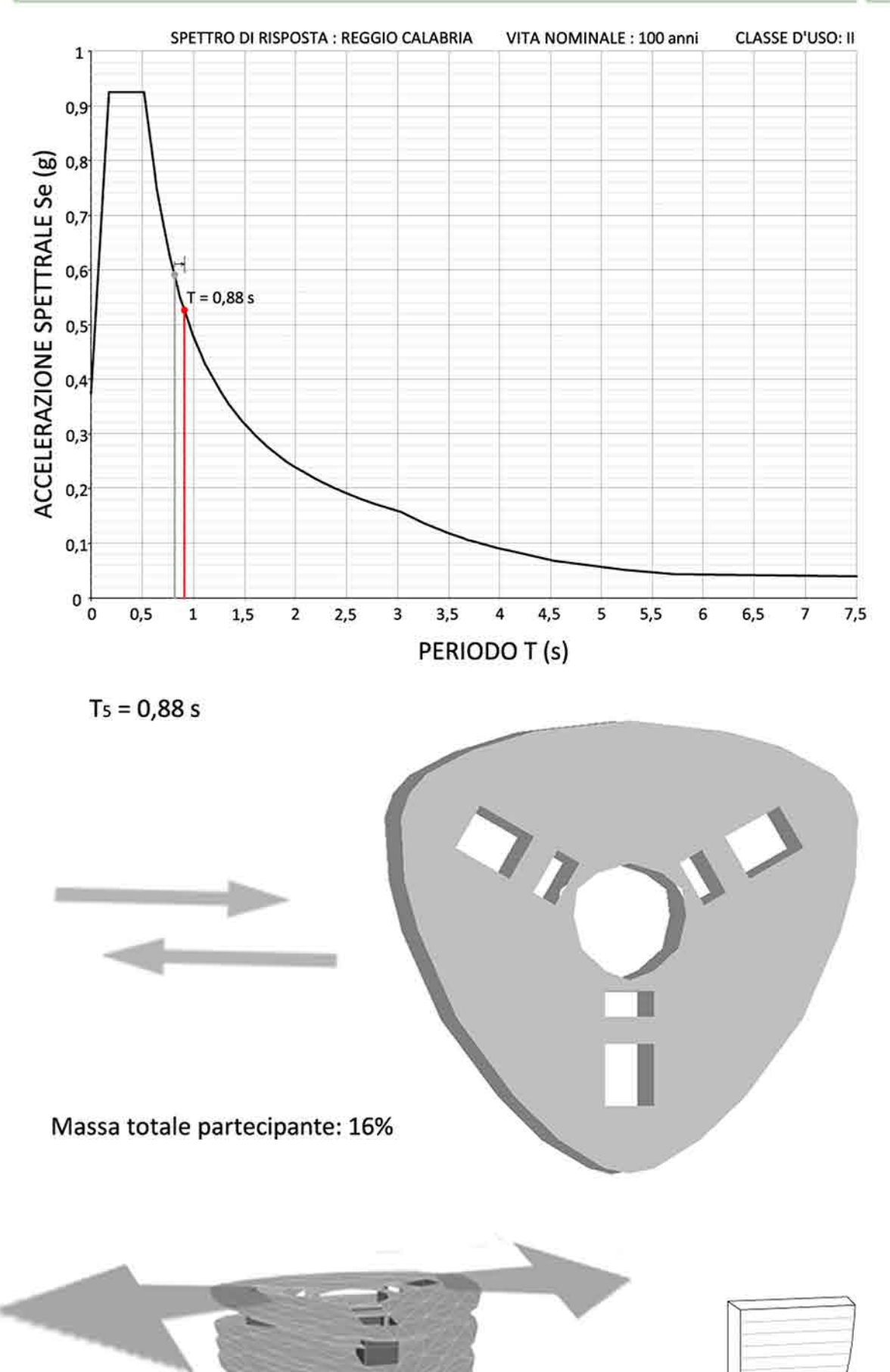




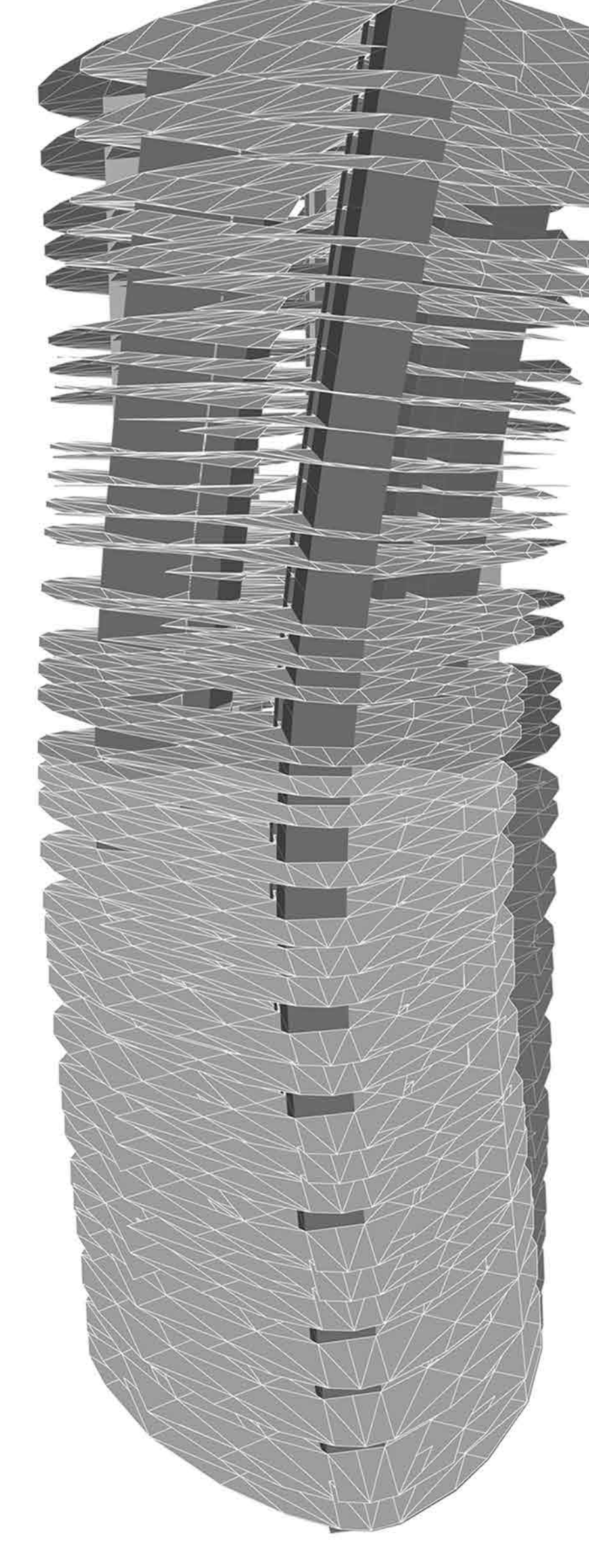
QUARTO MODO DI VIBRAZIONE







QUINTO MODO DI VIBRAZIONE



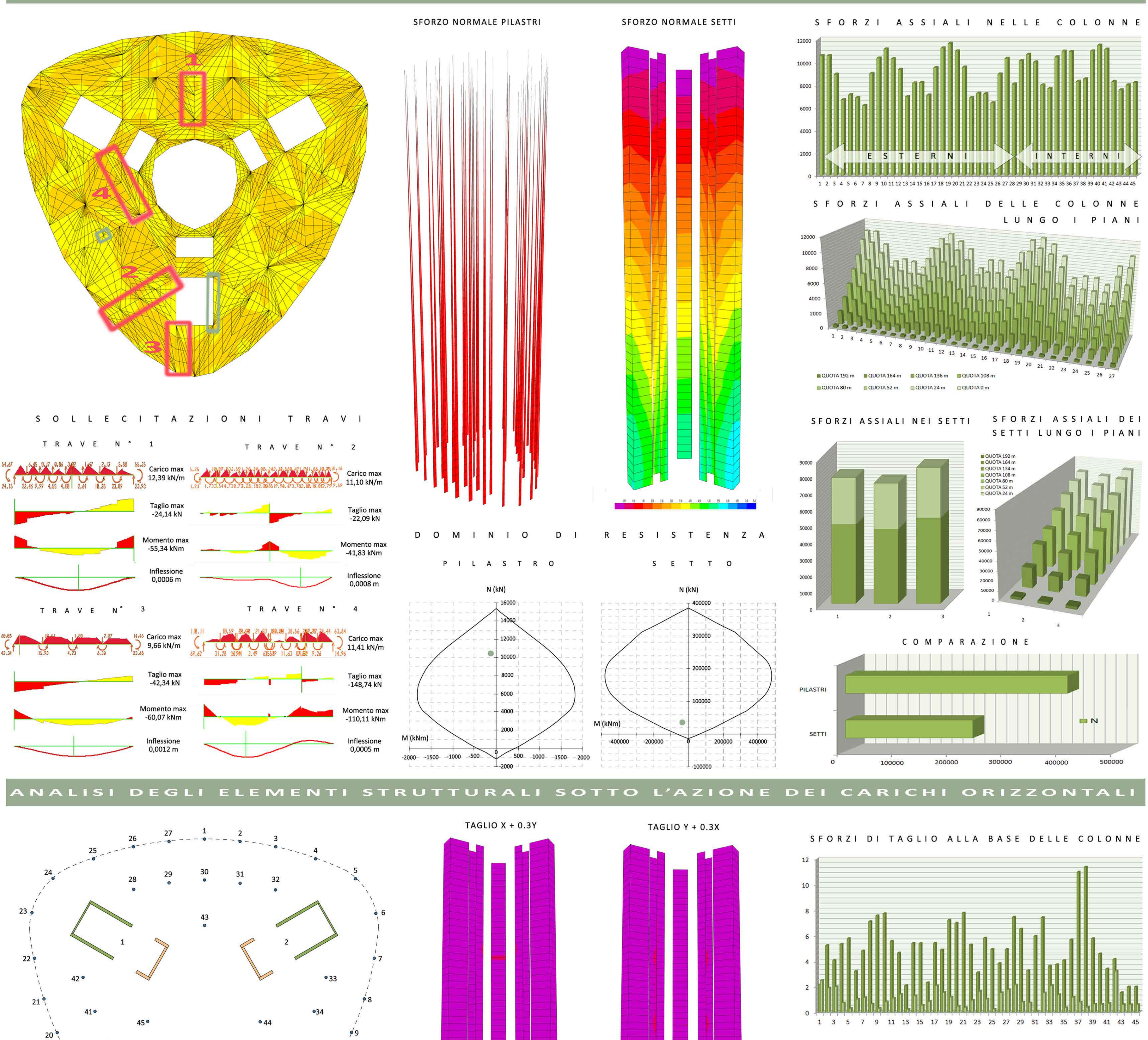
-2,51

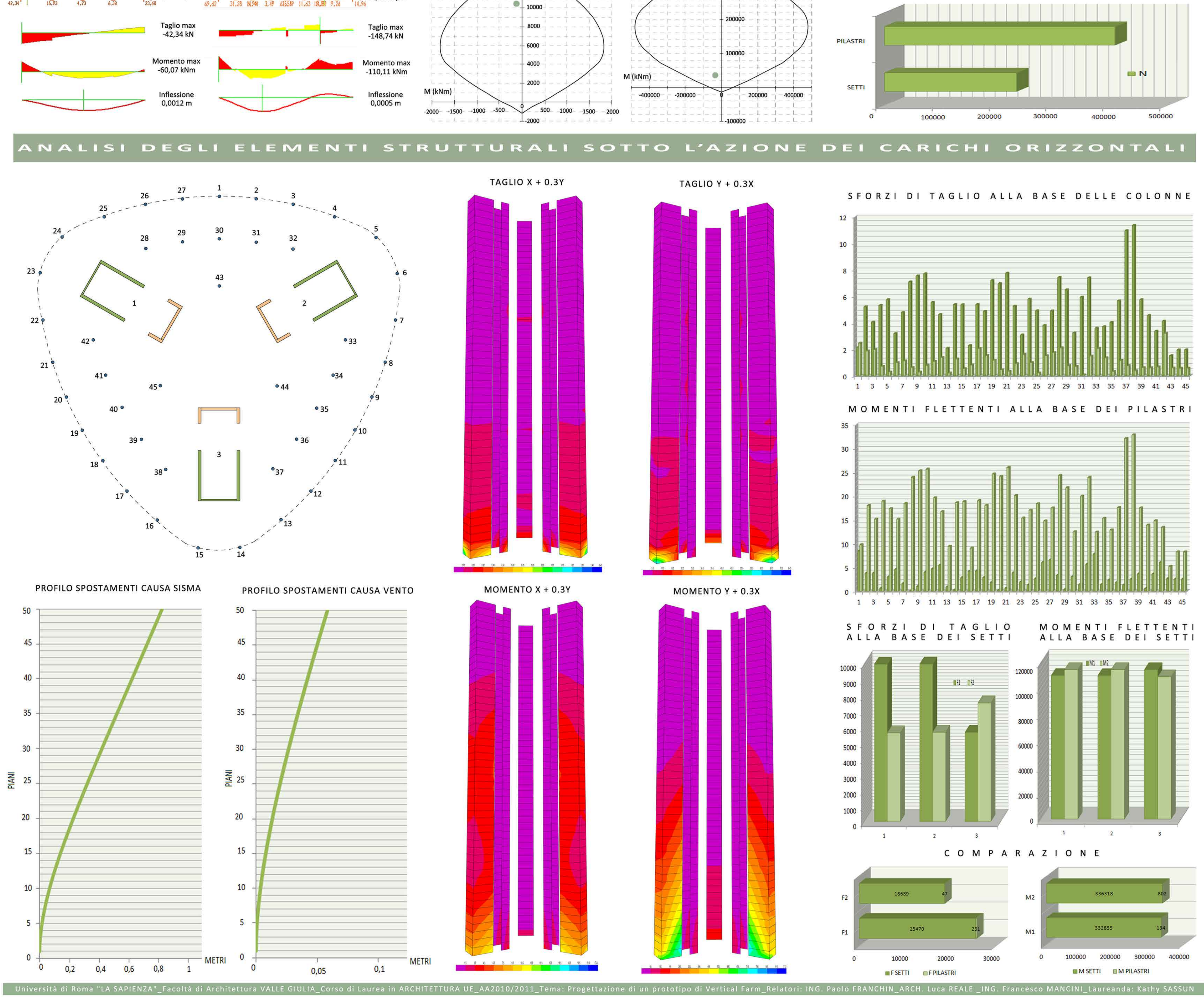
-2,11

-1,70

-2,91

-3,72





elemento verticale continuo senza giunti.

SOLAI

ONDAZIONI PROFOND

La costruzione di solito inizia con lo scavare un pozzo che conterrà le fondamenta. La profondità dipende da quanto in basso si trova la base e quanti piani interrati avrà l'edificio. Per evitare il movimento del terreno circostante il sito di fondazione, e se la base è molto profonda, vengono inserte le paratie, pali affondati per una certa profondità fino a incontrare uno strato resistente. La tecnica per realizzare i pali di fondazione prevede la trivellazione di pozzi attraverso, l'inserimento di barre di acciaio di rinforzo, e poi un riempimento in cemento. Successivamente viene realizzata una piattaforma in cemento armato per una migliore distribuzione dei carichi sui pali.

FASE 2
POSA IN OPERA DELL'ARMATURA

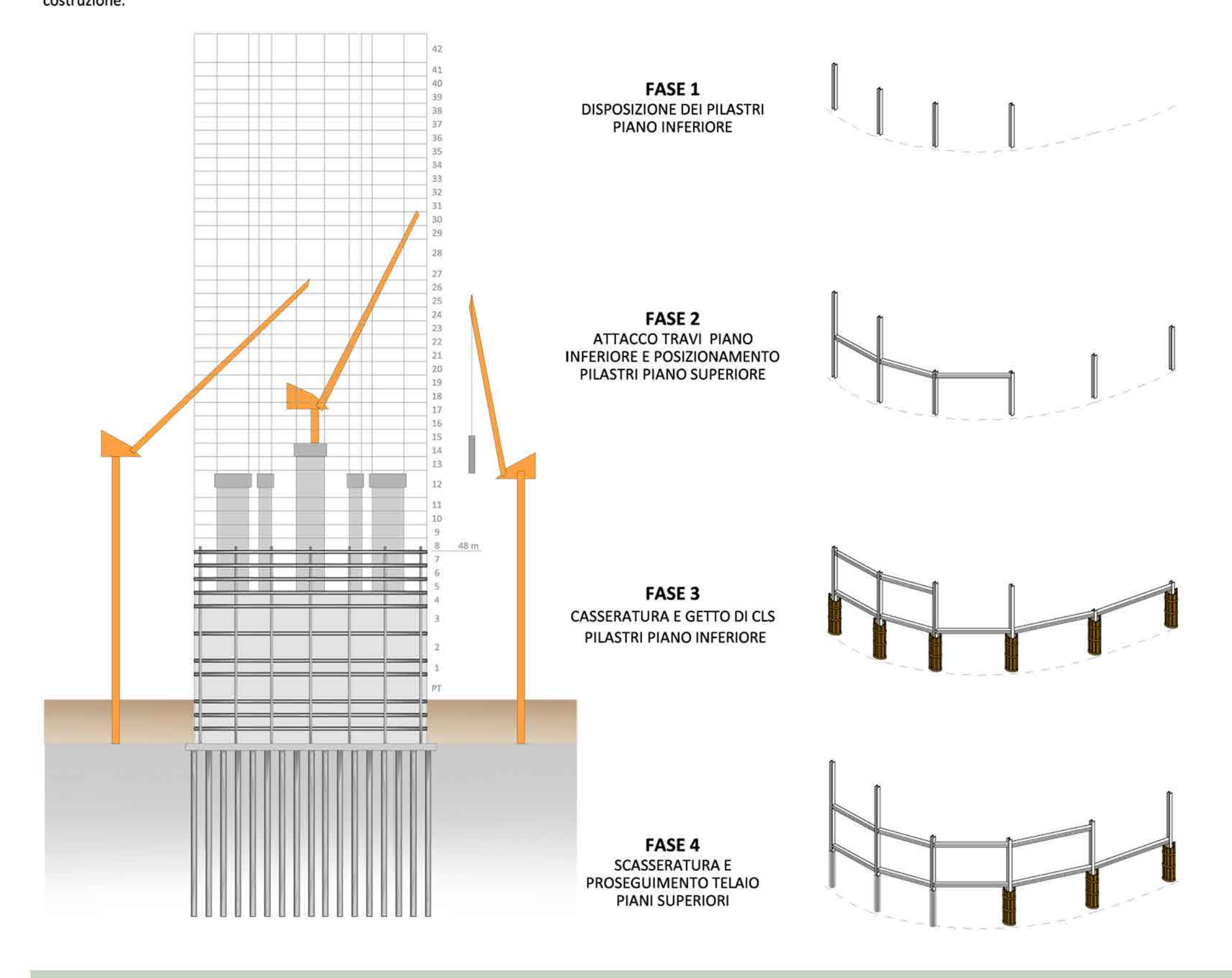
FASE 3
GETTO DEL CALCESTRUZZO

FASE 4
GETTO PIASTRA COLLEGAMENTO

Le colonne e le travi in acciaio utilizzate per il telaio dell'edificio, vengono sollevati e posizionati da una gru. Inizialmente, la gru si siede per terra, poi, può essere posizionata al livello più alto esistente dello scheletro in acciaio stesso. Lavoratori qualificati saldano o bullonano le estremità delle travi con gli elementi verticali. Gli elementi vengono poi avvolti con un rivestimento isolante per evitare che si surriscaldino con conseguente indebolimento in caso di incendio. Un sistema alternativo per proteggerli in caso di calore, potrebbe essere quello di inserire dei tubi cavi, e quando la sovrastruttura è completata, vengono riempiti di acqua, che viene fatta circolare in continuo per tutta la durata della

ELAIO

ELEMENTI

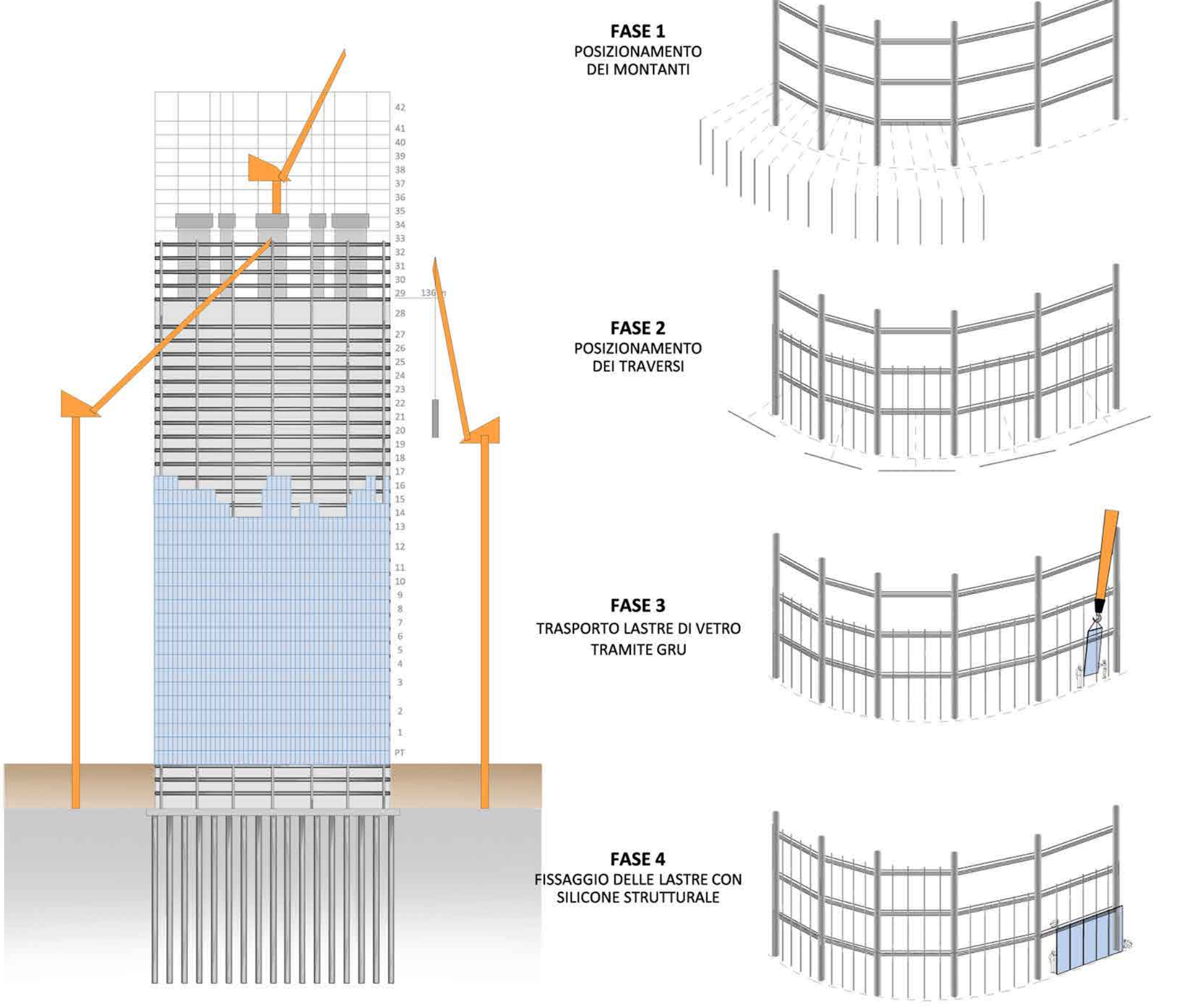


Nella maggior parte degli edifici alti, il peso della struttura è causato principalmente dalle colonne e dai nuclei portanti. La pelle esterna che ricopre l'edificio è realizzata attaccando pannelli di diverso materiale, come vetro, metallo o pietra, al telaio esistente. Una tecnica molto frequente è quella di imbullonare i montanti dei pannelli con dei profili angolari posti all'estremità del solaio.

FACCIATA

VETRATA

DELLA



Come prima cosa, vengono realizzate delle casseformi di legno della sezione desiderata collegandole a un telaio in acciaio, che a sua volta è collegato ad un martinetto che sale tenendosi a una barra verticale. I lavoratori preparano e posizionano le barre di acciaio che devono sporgere rispetto alla cassaforma di legno e successivamente cominciano a versare il cemento nelle forme. Una volta gettanto il cemento, il martinetto sale lentamente sollevando la cassaforma. La composizione di calcestruzzo e la velocità di arrampicata sono coordinate in modo tale che il calcestruzzo nella fascia inferiore del modulo si sia indurito prima della salita della cassaforma. Mentre il processo continua, i lavoratori estendono la griglia d'acciaio di rinforzo e aggiungono estensioni al telaio sul quale sale il martinetto. In questo modo, la colonna di cemento è costruita come un

FASE 2
CHIUSURA DELLA CASSERATURA

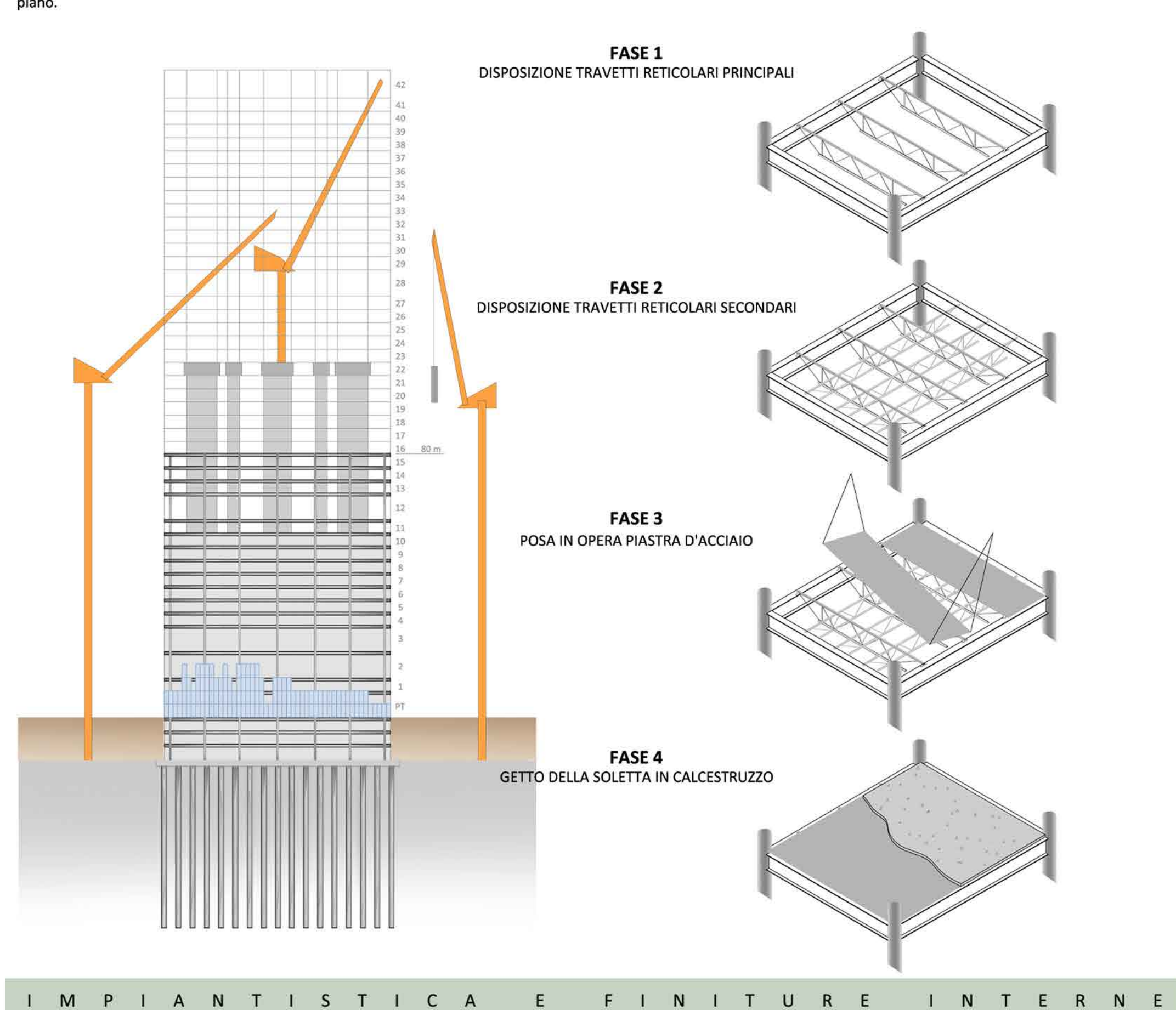
FASE 3
GETTO DEL CALCESTRUZZO

FASE 4
APERTURA E SLITTAMENTO CASSERATURA

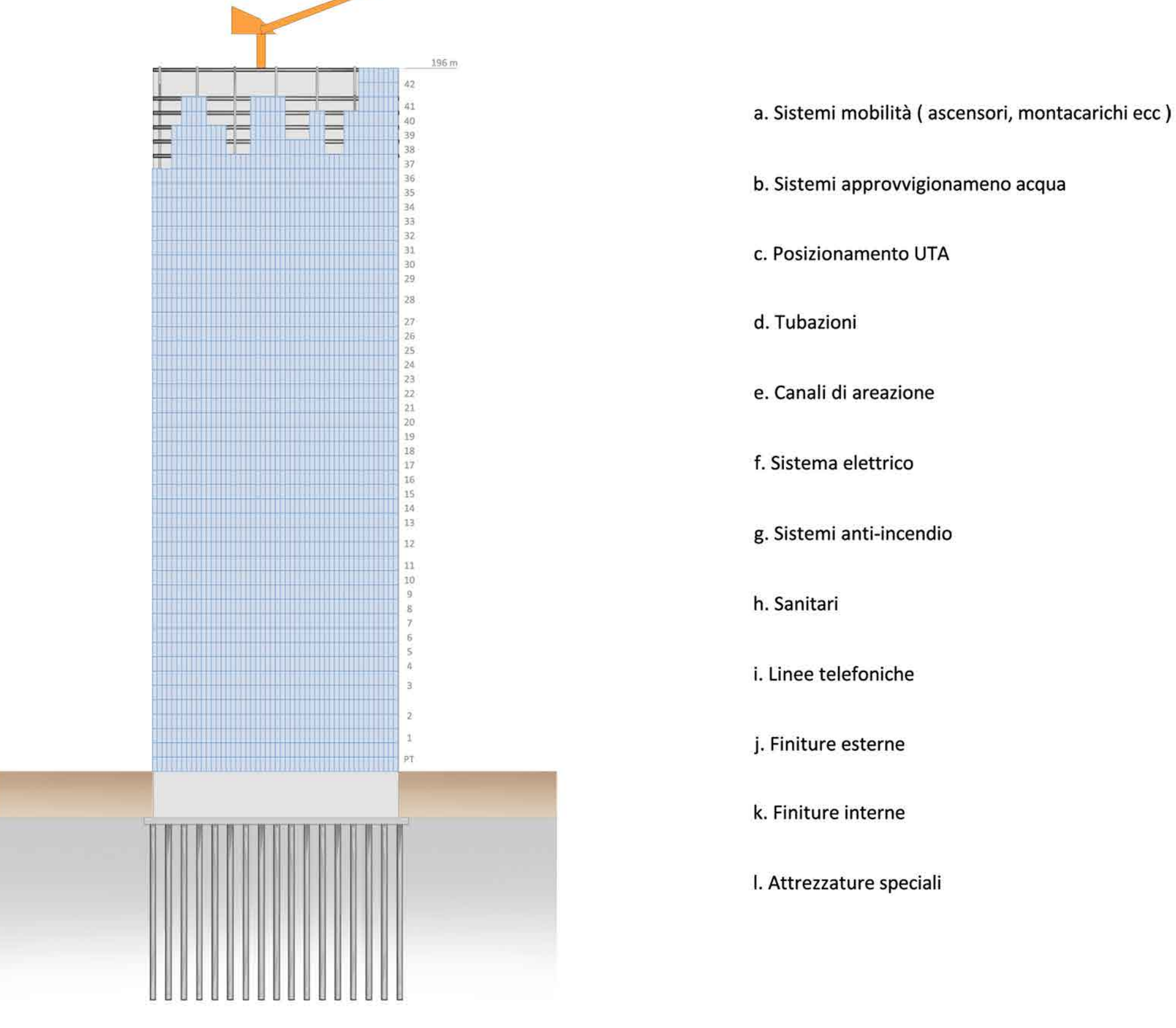
In un edificio con scheletro in acciaio, i solai vengono realizzati sulle travi in acciaio attaccate ai nuclei portanti o sostenute dai pilastri. Una lastra in acciaio (con interposti connettori) con funzione di piano di calpestio è prevista sulle travi del telaio e saldata sul posto. Successivamente viene realizzato uno strato di calcestruzzo per completare il

RETICOLARI

DOPPIA



Quando l'edificio viene chiuso dalle pareti esterne, è pronto per la finitura d'interni. Ciò include l'installazione di elementi come cavi elettrici, cavi telefonici, tubi idraulici, pareti interne, pannelli del soffitto, sanitari, apparecchi di illuminazione e sistemi di irrigazione per l'antincendio. Esso comprende anche l'installazione di componenti meccanici, come gli ascensori e sistemi per la circolazione dell'aria, raffreddamento e riscaldamento. Quando l'intera sovrastruttura è stata completata, la parte superiore dell'edificio è finito con l'installazione di un tetto.



COMMANDER

6 9 0

RELLO

JET

I S

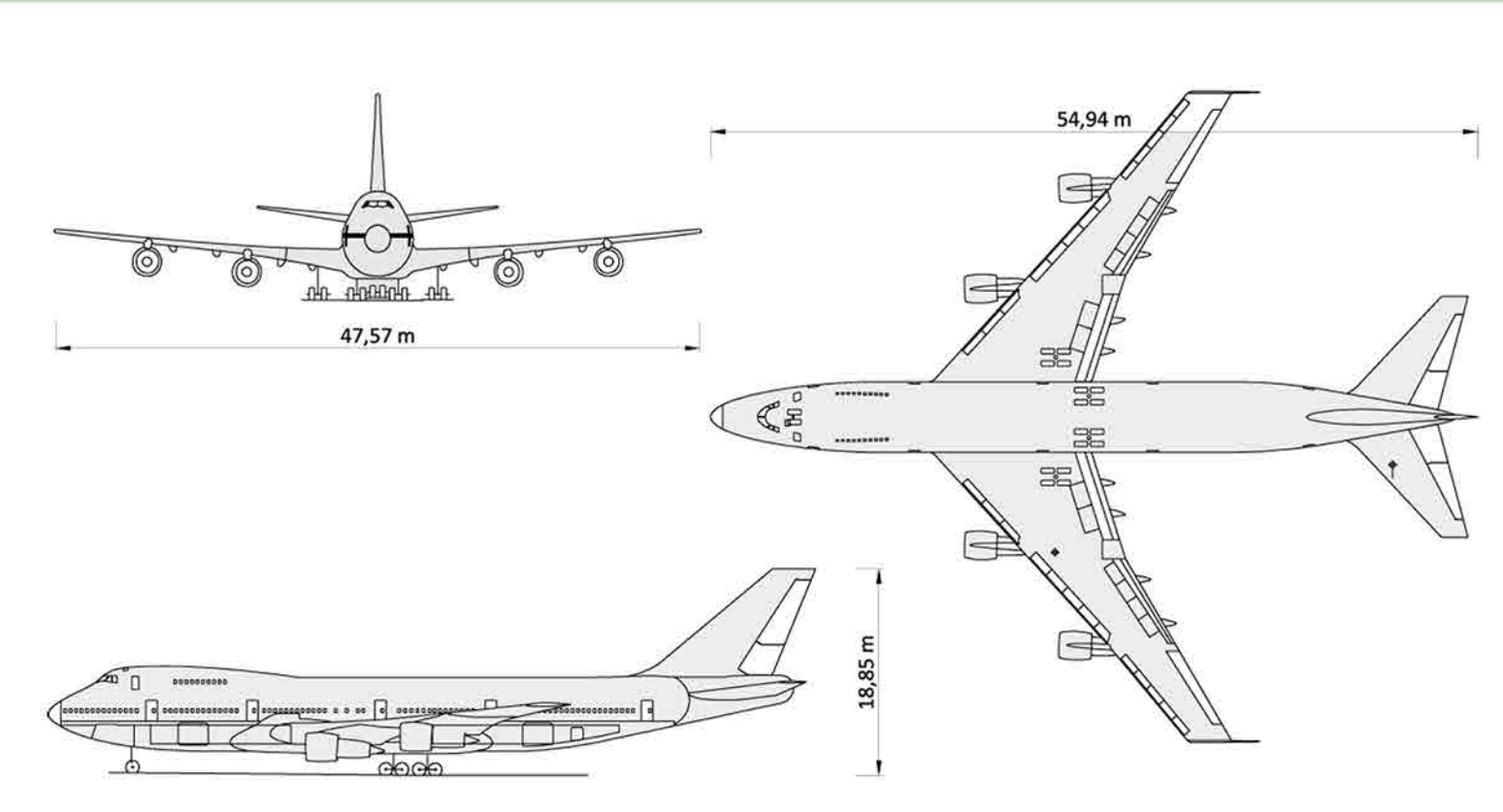
0

Un piccolo aereo, un **monomotore da turismo** Air Commander, si è schiantato il 18 aprile 2002

contro il grattacielo Pirelli a Milano, sede della Regione Lombardia. Lo schianto all'altezza del 25esimo piano del grattacielo ha provocato un incendio, l'alzarsi di una densa colonna di fumo che ha oscurato tutta la zona, non lontana dalla stazione centrale.

L'impatto dell'aereo con l'edificio ha provocato una caduta di detriti: vetri, metallo, fogli di carta che si sono sparsi su tutta la piazza. Sul terreno erano evidenti i rottami dell'ala dell'aereo. L'apertura dell'esplosione è su tutto il fronte delle vetrate del Pirellone, una sorta di "ferita trapassante" attraverso il grattacielo.





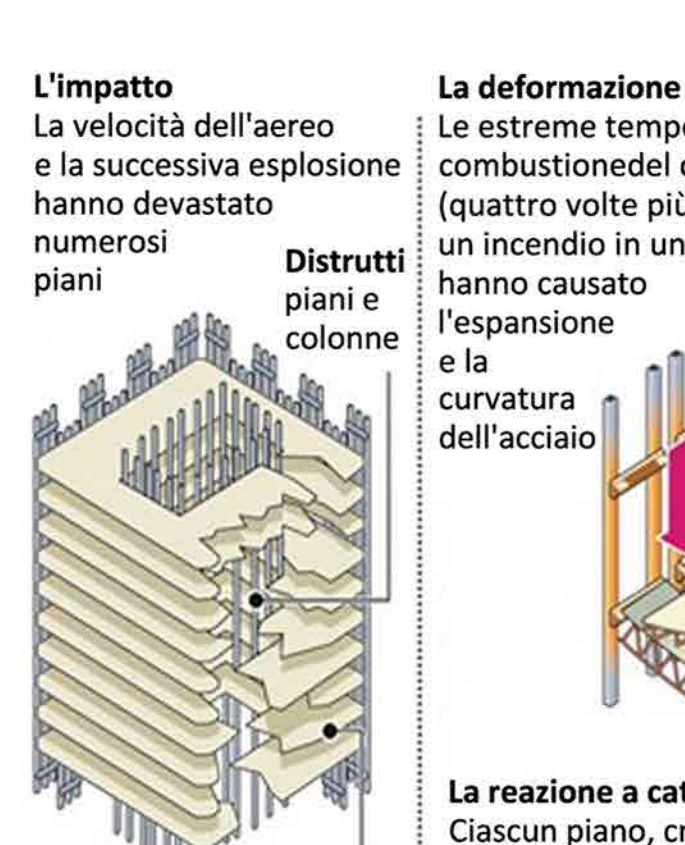
TORRI

Una indagine federale sulle caratteristiche tecniche e di resistenza agli incendi connesse con il collasso delle Torri gemelle e del WTC 7

E P I S O D I O

United States Department of Commerce. Il rapporto concluse che i rivestimenti anti-incendio delle infrastrutture in acciaio furono spazzati via dagli impatti degli aerei e che, se questo non fosse accaduto, le torri sarebbero probabilmente rimaste in piedi. Fu dimostrato che era possibile abbattere due terzi delle colonne di una torre e l'edificio sarebbe restato in piedi». Il fuoco indebolì le travature di sostegno dei piani, facendole piegare verso il basso, tirando così le colonne in acciaio esterne che si piegarono verso l'interno. Con le colonne portanti danneggiate, le colonne esterne piegate non furono più in grado di sostenere gli edifici, causandone il





collasso.

Le estreme temperature della combustionedel carburante, ca. 815 °C, (quattro volte più incandescente di un incendio in una foresta), hanno causato l'espansione Ciascun piano incandescente curvatura è crollato sotto dell'acciaio il peso degi altri La reazione a catena Ciascun piano, crollando, ha aumentato la pressione su quello successivo, causando questo La protezione antincendio è vaporizzata con le fiamme "effetto domino"

Il peso L'inerzia del peso dei pavimenti sopra l'area dell'impatto I pannelli dei piani è troppo grande. Per i pavimenti più bassi, resistere è impossibile e anche questi crollano Effetto domino La torre si schiaccia. 450.000 tonnellate di metallo e calcestruzzo precipitano nella strada sottostante a 190 km/h

GEMELLE

DATI D I 0 G ETT

AEROMOBILE IPOTIZZATO: Jet Commander VELOCITÀ MASSIMA: 465 Km/h

LUNGHEZZA: 13,52 m APERTURA ALARE: 14,22 m

ALTEZZA: 4,56 m

PESO A VUOTO: 2778 kg

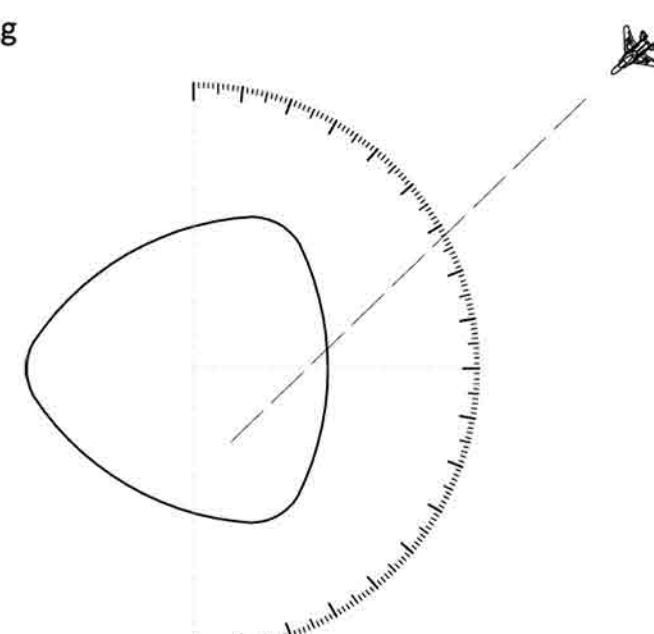
PESO MASSIMO AL DECOLLO: 4650 kg

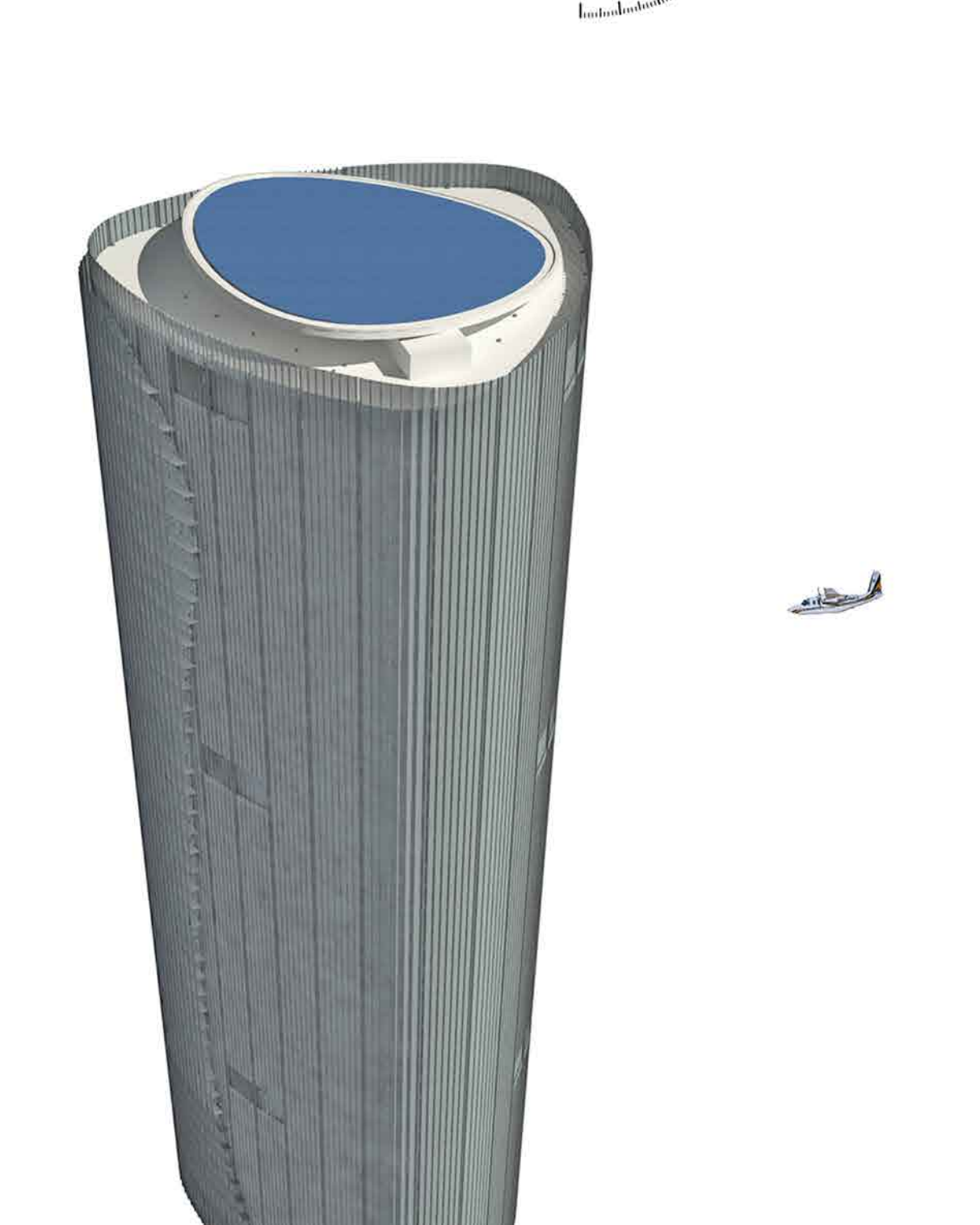
IPOTESI AL MOMENTO DELL'IMPATTO:

VELOCITÀ: 300 km/h

PESO: 3600 kg

PUNTO DI IMPATTO: 30° piano





fusoliera e solaio Forza di

Obiettivo principale di questa analisi è quello di prevedere la quantità di danni

strutturali che si possono verificare all'interno di un grattacielo per l'impatto di un velivolo. La questione quindi è cercare di fare una stima dei danni interni utilizzando

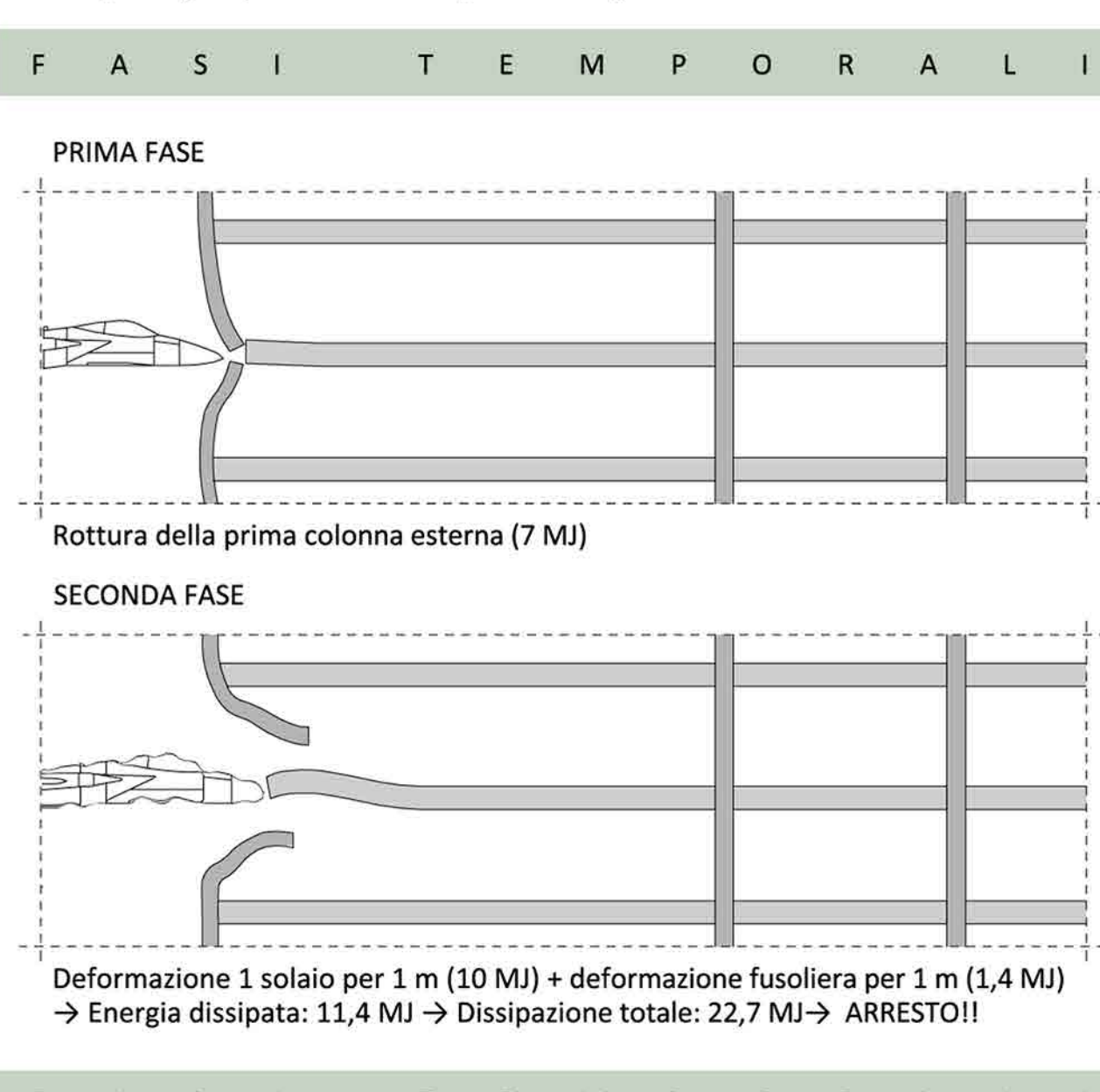
Conservazione dell'energia

correttamente alcune leggi fondamentali della meccanica.

ANALISI

DELL'IMPATTO

L'equazione dice che l'energia cinetica iniziale del velivolo (nota), viene convertita in energia dissipata dalla deformazione plastica e dalla rottura delle quattro componenti interessate dalla collisione: l'aereo stesso, le colonne esterne (o pelle), i solai e la struttura del nucleo. Inoltre, parte dell'energia viene persa per attrito, e parte viene convertita in vibrazione elastica dell'intero grattacielo, ma essendo questi due contributi molto piccoli, in questa analisi semplificata vengono trascurati.



GETTO DATI

AEROMOBILE IPOTIZZATO: Boeing 767 VELOCITÀ MASSIMA: 870 Km/h

LUNGHEZZA: 54,94 m

APERTURA ALARE: 47,57 m

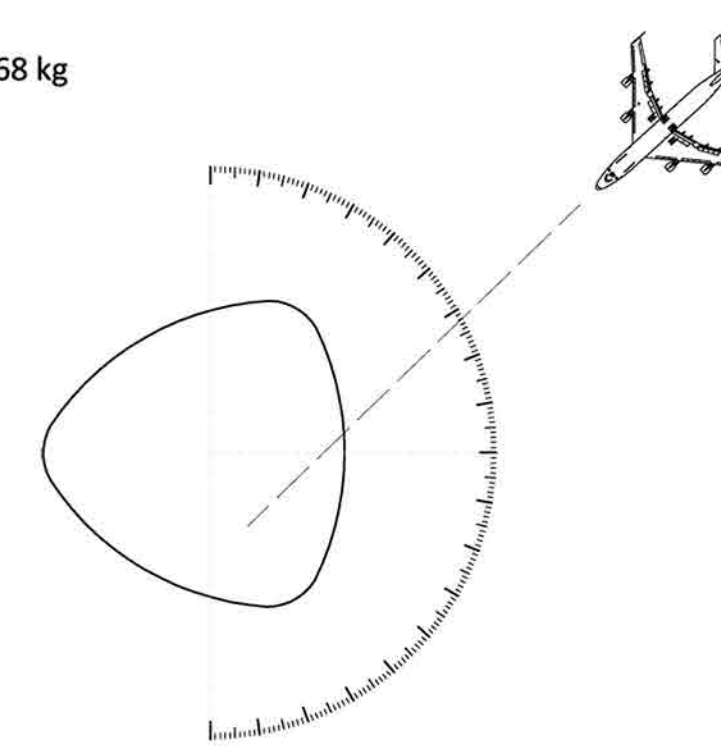
ALTEZZA: 18,85 m

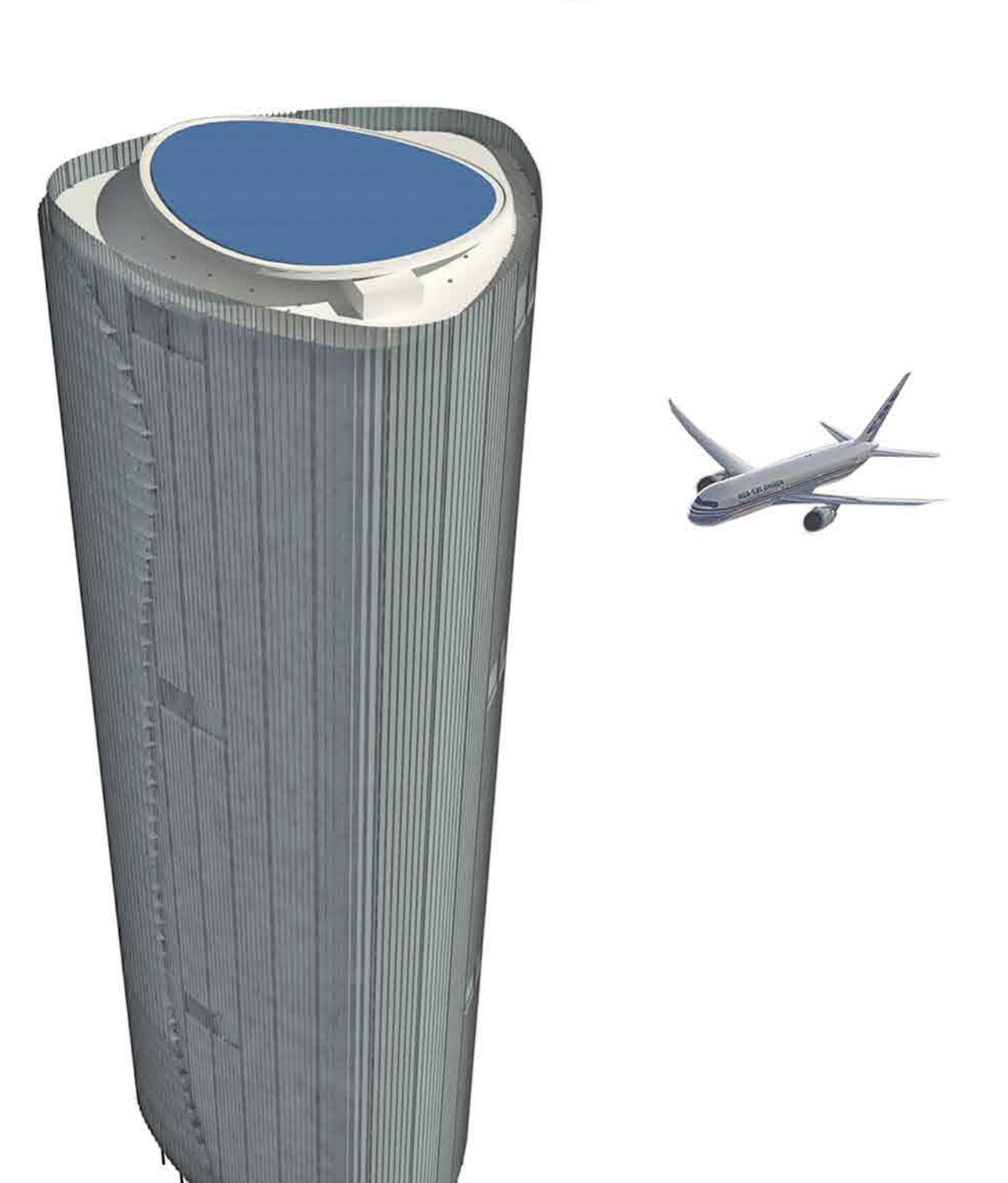
PESO A VUOTO: 90537 kg

PESO MASSIMO AL DECOLLO: 172368 kg

IPOTESI AL MOMENTO DELL'IMPATTO: VELOCITÀ: 600 km/h

PESO: 100000 kg (60% posti occupati) PUNTO DI IMPATTO: 30° piano





PRIMA FASE 1000000000000000 Rottura della prima colonna esterna (7 MJ)

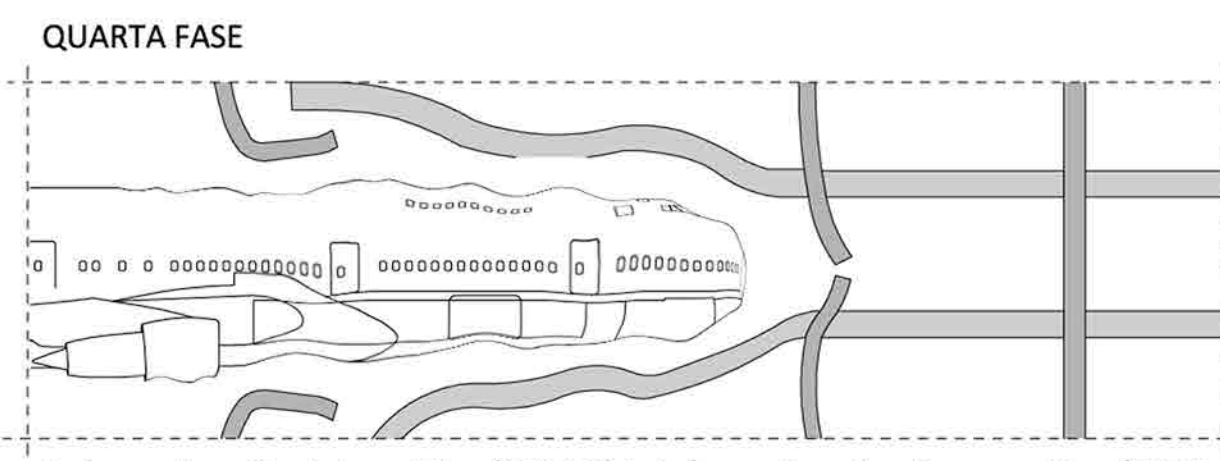
SECONDA FASE

00000000 0000000000000 Deformazione 2 solai per 6 m (103 MJ) + deformazione fusoliera per 6 m (92,9 MJ)

→ Energia dissipata: 412,2 MJ → Dissipazione totale: 419,2 MJ

TERZA FASE 0000000000 0000000 0 000000000000 0 00000000000

Deformazione 2 solai per 12 m (205 MJ) + deformazione fusoliera per 12 m (185,7 MJ)+ taglio fusoliera per 12 m (30 MJ) + momento da forze di contatto per 12 m (62 MJ) → Energia dissipata: 699,7 MJ → Dissipazione totale: 706,7 MJ



Deformazione 2 solai per 16 m (274 MJ) + deformazione fusoliera per 16 m (247,6 MJ)+ taglio fusoliera per 16 m (40 MJ) + momento da forze di contatto per 16 m (82,7 MJ)+ rottura 1 colonna del nucleo (37,5MJ) → Energia dissipata: 898,3 MJ → Dissipazione totale: 905,3 MJ

**QUINTA FASE** 0000000000 

Deformazione 2 solai per 18 m (308 MJ) + deformazione fusoliera per 18 m (278,6 MJ)+ taglio fusoliera per 18 m (45 MJ) + momento da forze di contatto per 18 m (93 MJ)+ rottura 2 colonne del nucleo (75 MJ) → Energia dissipata: 1016,4 MJ → Dissipazione totale: 1023,4 MJ → ARRESTO!!

Università di Roma "LA SAPIENZA"\_Facoltà di Architettura VALLE GIULIA\_Corso di Laurea in ARCHITETTURA UE\_AA2010/2011\_Tema: Progettazione di un prototipo di Vertical Farm\_Relatori: ING. Paolo FRANCHIN\_ARCH. Luca REALE \_ING. Francesco MANCINI\_Laureanda: Kathy SASSUN

#### INFORMAZIONI CLIMATICHE BASE SULLA CITTÀ DI ROM

#### DIAGRAMMA PERCORSO SOLARE GRAFICO TEMPORALE DI ALBA,TRAMONTO, LUCE E BUIO 21 giugno Buio equinozio 21 dicembre Alba variazione Luce tramonto ENERGIA SOLARE E ANDAMENTO METEOROLOGICO

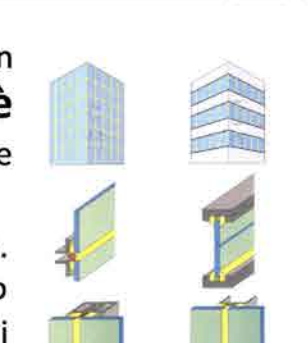
MESI	1	П	111	IV	٧	VI	VII	VIII	IX	X	XI	XII
Insolazione kW/h/g	1.61	2.49	3.68	4.57	5.77	6.41	6.73	5.94	4.33	2.75	1.70	1.36
Chiarezza, 0-1	0.42	0.47	0.50	0.49	0.53	0.56	0.60	0.60	0.53	0.46	0.40	0.40
Temperatura, °C	5.89	6.26	9.27	12.00	17.19	21.24	24.53	24.68	20.21	16.10	10.77	7.08
Velocità vento, m/s	7.04	6.72	5.85	5.14	4.62	4.02	3.93	3.93	4.50	5.68	6.63	7.02
Precipitazioni, mm	83	75	68	62	45	37	19	35	75	97	117	98
Giorni di pioggia	14.0	12.6	13.3	13.4	10.0	8.3	4.5	6.4	8.9	12.0	14.8	14.2

# **GRAFICI ANEMOMETRICI** Frequenze percentuali alle ore: 12 UTC

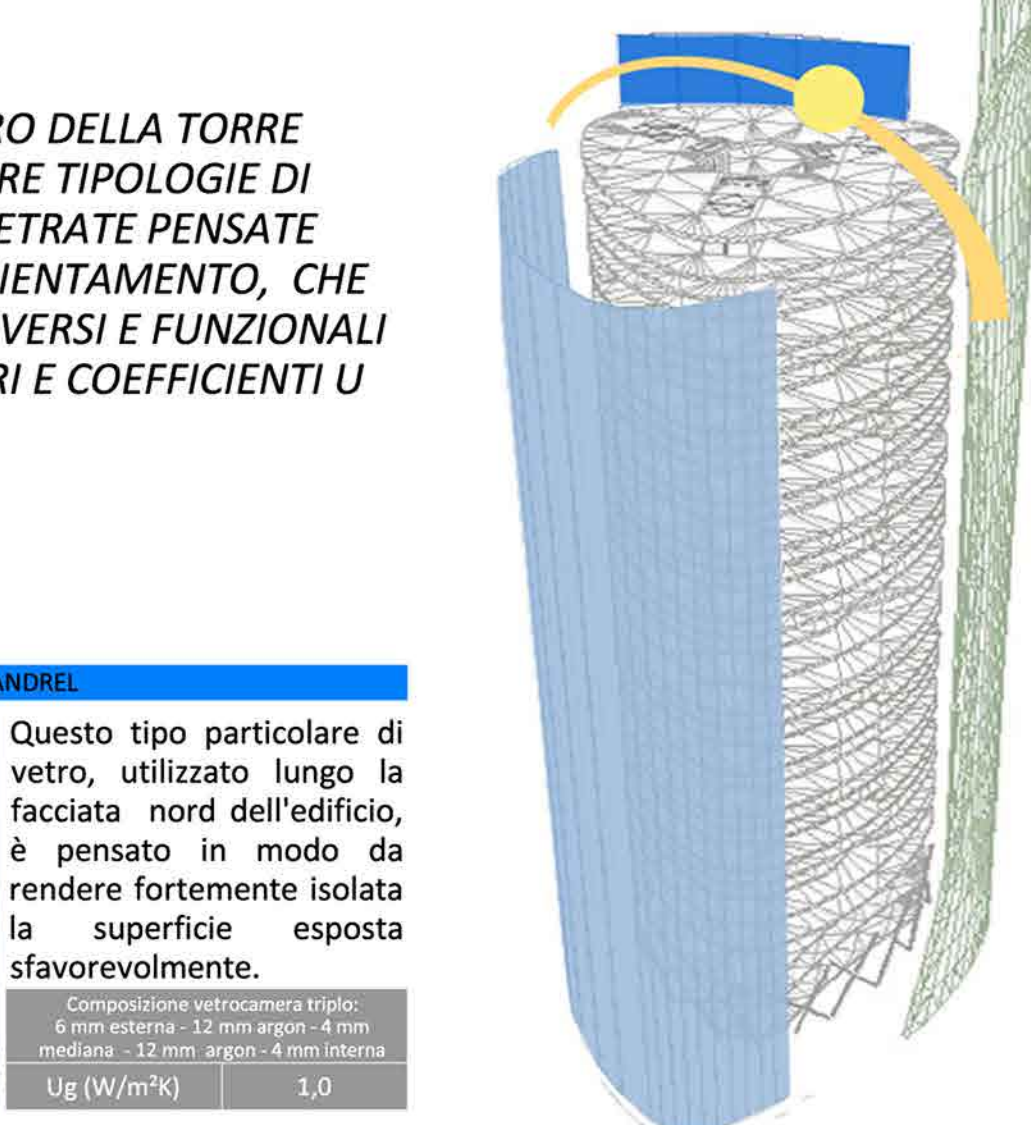
#### INVOLUCRO DELLA TORRE - VETRO STRUTTURALE CON SIGILLANTE SILICONICO PERIMETRALE

Le facciate strutturali si basano sull'assemblaggio mediante adesivi siliconici dei pannelli di tamponamento (ciechi od opachi) a un telaio strutturale, generalmente in alluminio, appeso alla struttura dell'edificio. L'effetto finale è quello di una facciata dove il **telaio è** nascosto alla vista e i pannelli appaiono liberi da vincoli strutturali. Il sistema di incollaggio può essere su tutti e quattro i lati, come nella figura 1, oppure su due soli, verticali od orizzontali, figura 2.

Il fissaggio delle lastre è garantito da una serie di accessori metallici fissati direttamente alla struttura portante della facciata. Tali accessori si inseriscono all'interno del profilo di canalino, garantendo così il trattenimento meccanico delle lastre di vetro. Il numero degli accessori di fissaggio è in funzione delle grandezze dimensionali delle lastre. La tenuta è invece garantita da una sigillatura tra i vetri di 20 mm impiegando un sigillante resistente ai raggi U.V. o da apposita guarnizione siliconica.



L'INVOLUCRO DELLA TORRE PRESENTA TRE TIPOLOGIE DI SUPERFICI VETRATE PENSATE SECONDO L'ORIENTAMENTO, CHE PRESENTANO DIVERSI E FUNZIONALI FATTORI SOLARI E COEFFICIENTI U





nella Utilizzato facciata della nord-est torre, è composto da 2 strutture di parete e da intercapedine interposta vetro esterno aperture che presenta permettono l'ingresso e l'uscita dell'aria

#### **VETROCAMERA SEMPLICE**

vetrocamera utilizzato come involucro per le aree coltivate esposte sud-est/sud-ovest, presenta caratteristiche quali una percentuale di trasmissione pari circa al 79%, una percentuale di riflessione di circa il 13%, e un coefficiente di shading che tra onde corte e onde lunghe arriva ad un totale di circa 68%.

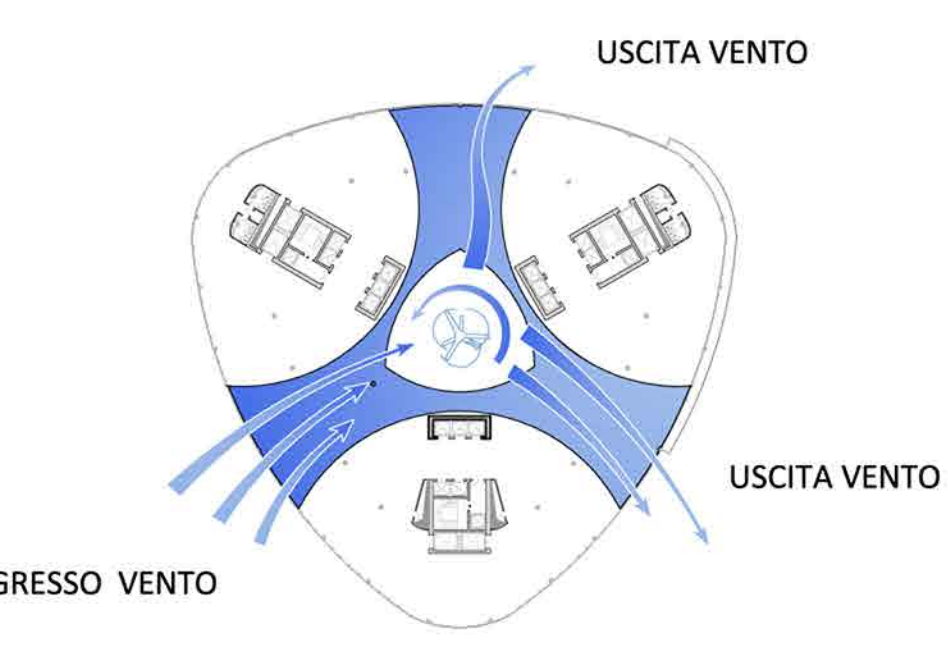


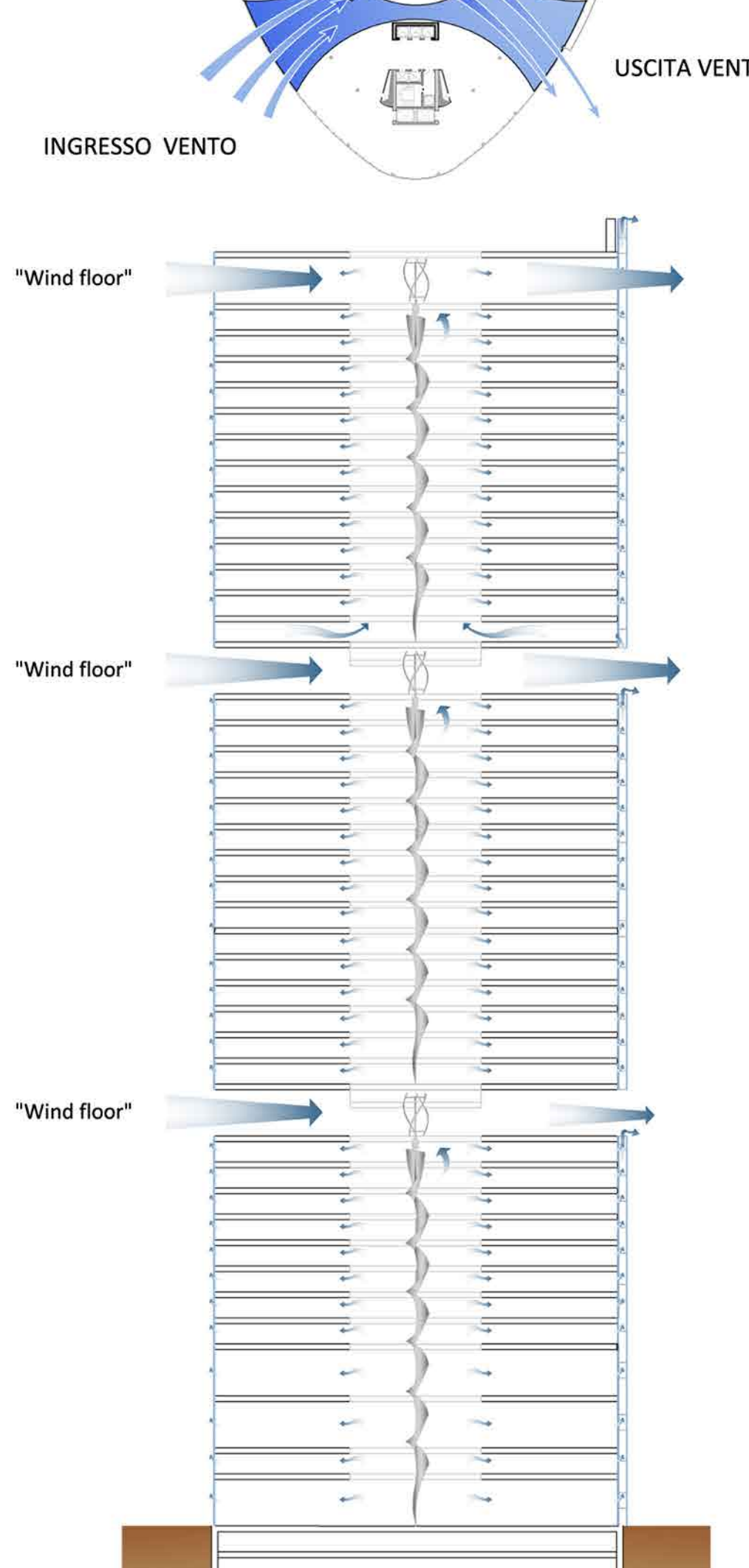
#### STRATEGIA AMBIENTALE DISTRIBUZIONE IMPIANTI

La torre è attraversata dal vento in tre punti, corrispondenti ai piani tecnici, alti il doppio dei piani standard. La particolare forma della sezione attraverso la quale il vento entra nella torre, crea un effetto di accelerazione che raddoppia la velocità di ingresso. Il sistema, composto da tre turbine eoliche orizzontali e un asse verticale, viene attivato dalla forza del vento. La sezione di collegamento tra i "wind floor" e lo spazio centrale vuoto, produce un effetto naturale di aspirazione verso l'alto ( effetto

sfavorevolmente.

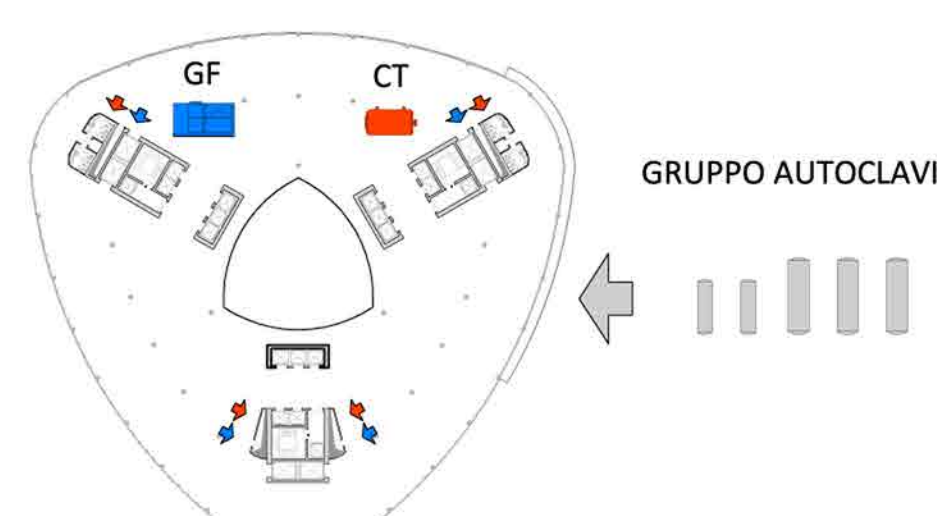
camino) nella pelle ventilata esterna e nello spazio centrale stesso.

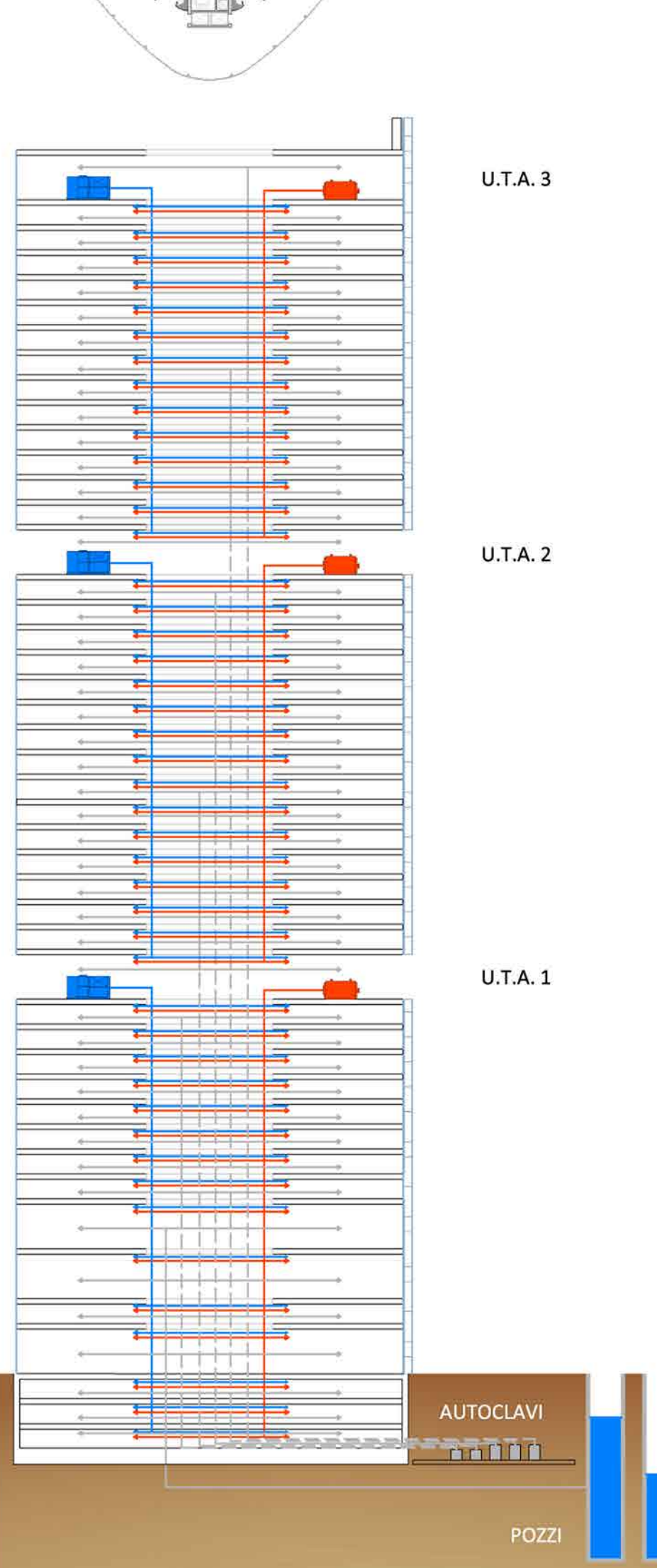




L'aria proveniente dagli spazi pubblici comuni, passando attraverso i condotti, si immette negli spazi privati come gli uffici e i laboratori. Successivamente viene incanalata nella facciata a doppia pelle ventilata che la porta tramite effetto camino ai punti di espulsione.

La torre presenta ai piani tecnici un'area destinata all'ubicazione delle UTA, che servono i piani a blocchi. L'impianto utilizzato è quella del "sistema multizone", impiegato nel caso di edifici molto grandi, in cui è possibile individuare zone termoigrometriche con diversità d'impiego o di esposizione. L'aria è trattata centralmente e distribuita con una temperatura diversa a seconda delle zone. Le autoclavi invece sono ubicate nelle immediate vicinanze dell'edificio, per evitare di caricare ulteriormente la struttura.

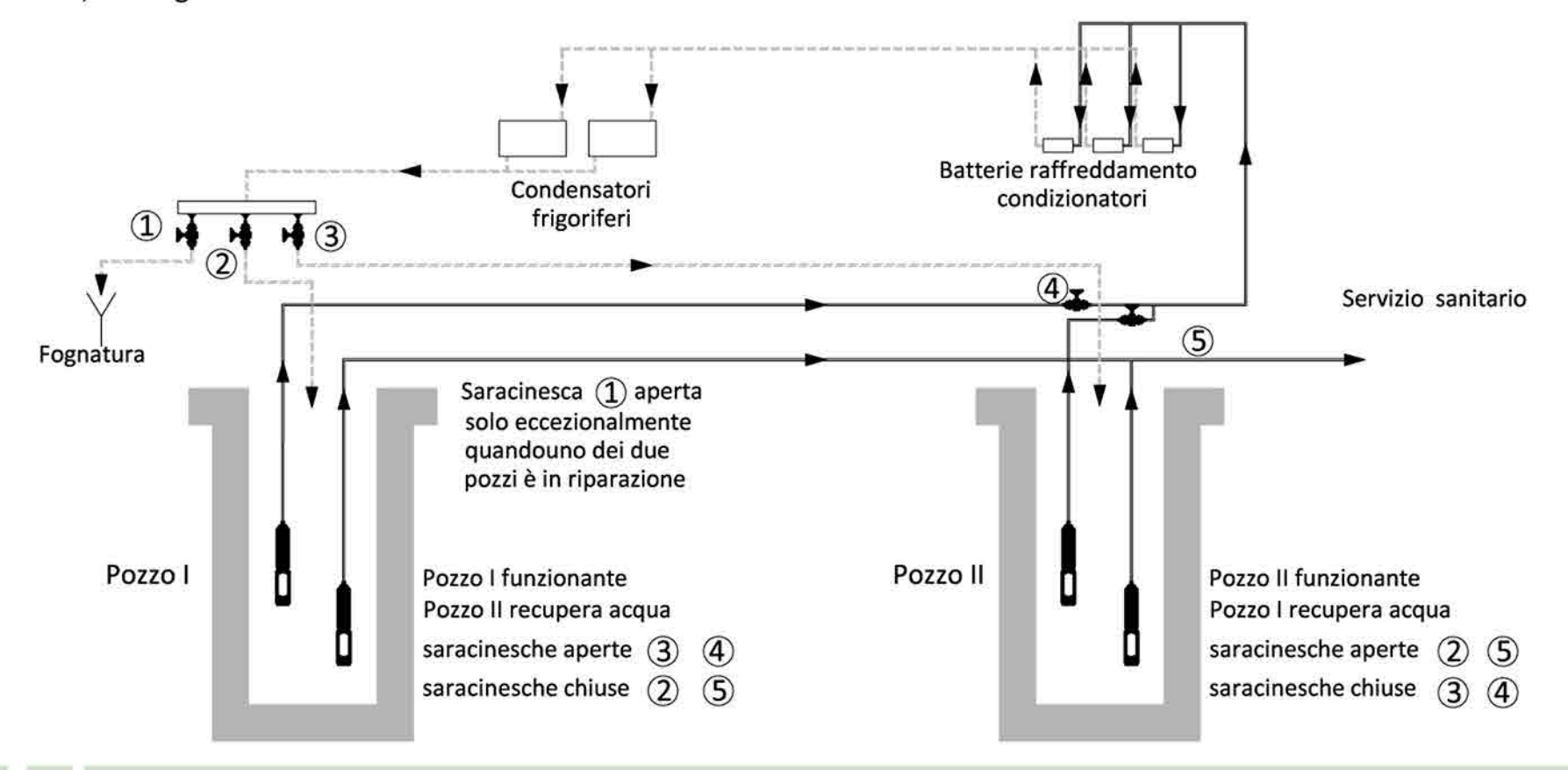




Università di Roma "LA SAPIENZA"\_Facoltà di Architettura VALLE GIULIA\_Corso di Laurea in ARCHITETTURA UE\_AA2010/2011\_Tema: Progettazione di un prototipo di Vertical Farm\_Relatori: ING. Paolo FRANCHIN\_ARCH. Luca REALE \_ING. Francesco MANCINI\_Laureanda: Kathy SASSUN

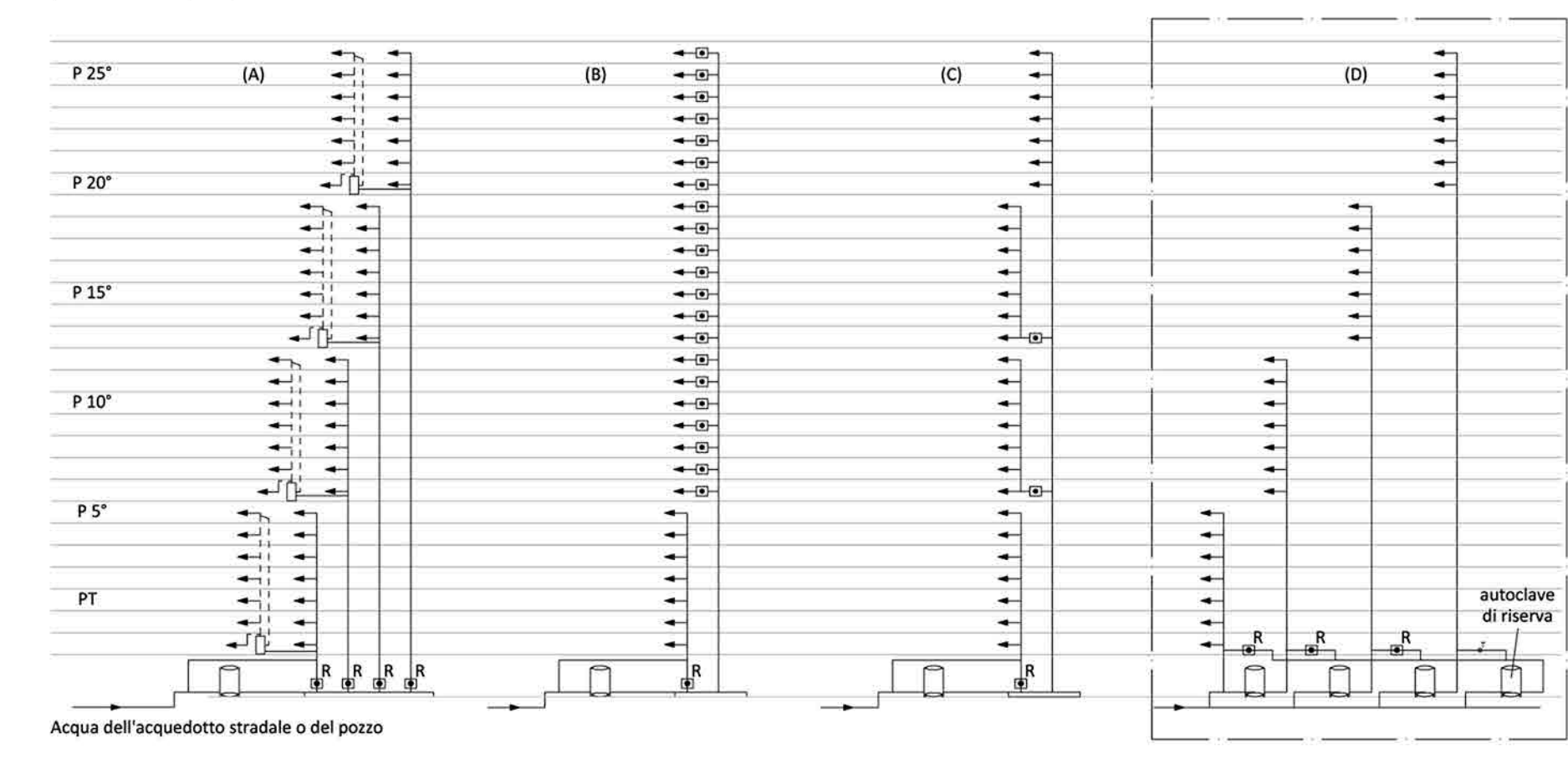
# APPROVVIGIONAMENTO E DISTRIBUZIONE DELL'ACQUA

In un grattacielo è quasi sempre impossibile (oltre che antieconomico) attingere tutta l'acqua dall'acquedotto stradale, quindi di norma si provvede ad integrare l'acqua concessa da questo con altra acqua attinta privatamente dal sottosuolo con pozzi trivellati. Per l'economia di esercizio, si consiglia sempre di sfruttare la pressione dell'acquedotto per il servizio diretto dei piani inferiori, riservando la sopraelevazione meccanica solo per i piani superiori. Un collegamento, normalmente chiuso da una saracinesca, deve permettere però di servire anche i piani inferiori con acqua proveniente da pozzo nell'eventualità di temporanee sospensioni di erogazione da parte dell'acquedotto comunale. L'acqua del pozzo dopo l'utilizzo va a smaltirsi normalmente in un **pozzo di recupero** a favore dell'alveo sotterraneo. Quando questo pozzo dovesse riempirsi, un interruttore a galleggiante chiude la comunicazione fra i due pozzi e l'acqua va a beneficio di una vasca che la raccoglie per i servizi di innaffiamento e irrigazione del grattacielo, oppure, come ultimo scarico, alla fogna stradale.

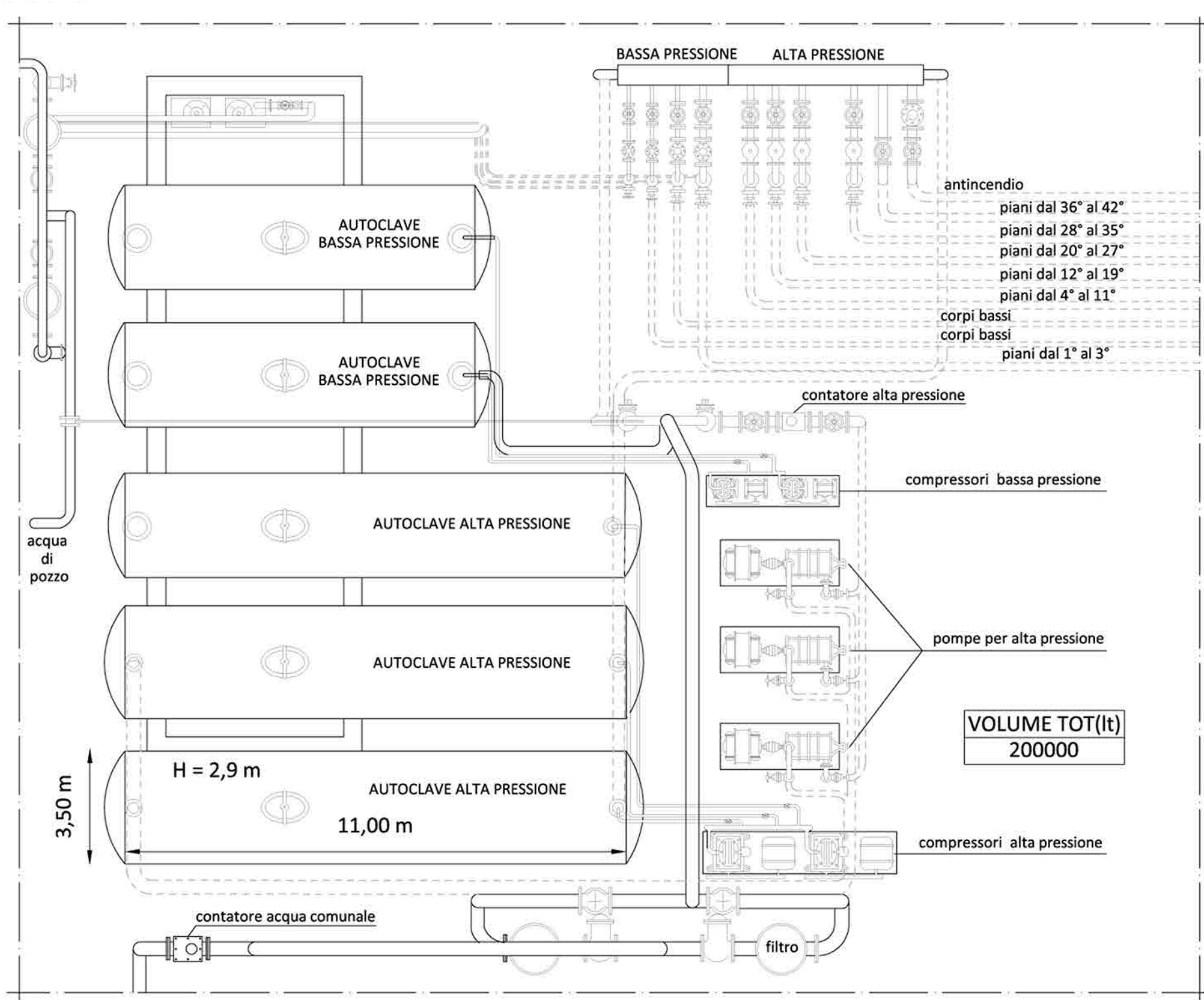


#### POSSIBILI SOLUZIONI PER LA DISTRIBUZIONE DELL'ACQUA

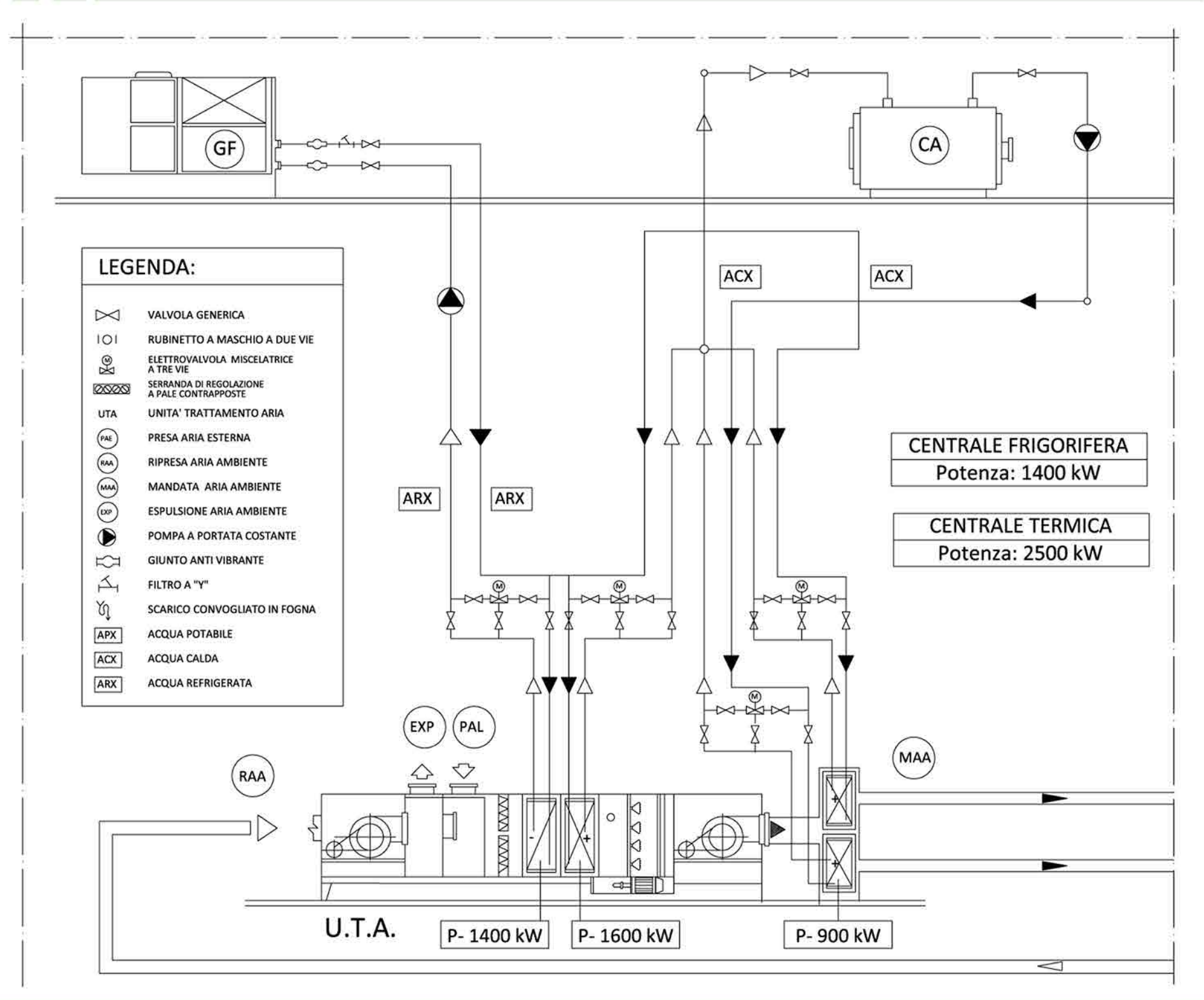
Per la sopraelevazione dell'acqua esistono quattro soluzioni, tre delle quali (A-B-C) revedono un unico gruppo di autoclavi e più riduttori di pressione, mentre la quarta (D), soluzione adotttata in questo caso, prevede un'autoclave per ogni gruppo di piani, come fossero tante case sovrapposte indipendenti tra loro. La scelta è stata fatta in base alla particolare destinazione del grattacielo che ha privilegiato la soluzione che sicuramente ha un costo iniziale maggiore dovuto anche al maggior numero di autoclavi necessarie, ma un notevole risparmio sul consumo di energia per l'esercizio, in quanto la pressione richiesta per ogni autoclave non è la massima del fabbricato, ma solo quella richiesta dai servizi del piano pù alto del proprio tronco.



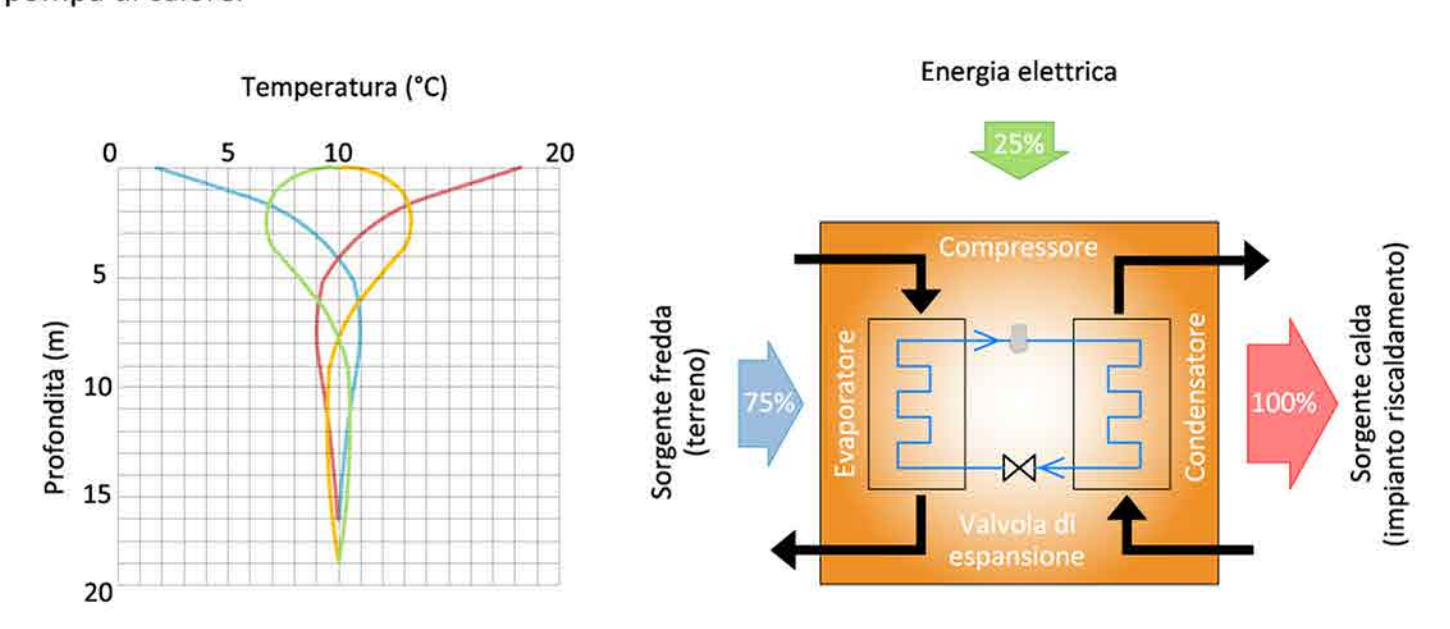




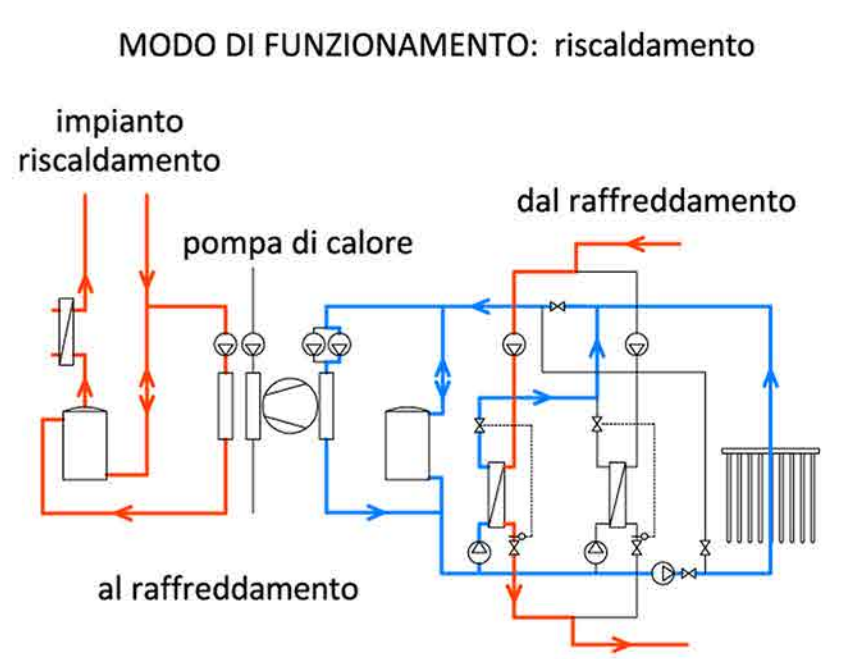
## SCHEMATIZZAZIONE UNITÀ TRATTAMENTO ARIA

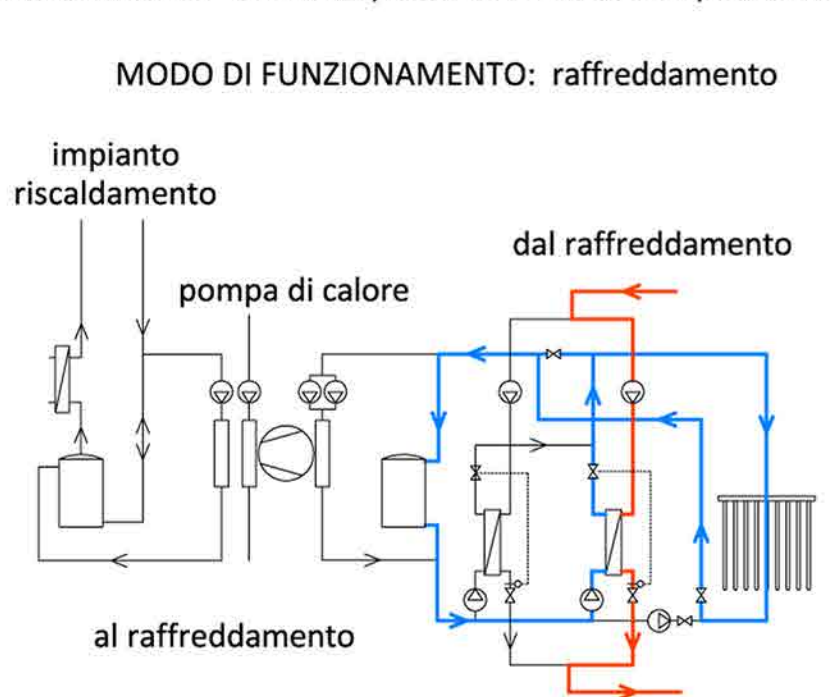


Fino a 15-20 m di profondità, la temperatura della crosta terrestre può essere influenzata dalle variazioni climatiche stagionali; al di sotto di tale profondità invece, si riscontra una zona di omotermia dove appunto la temperatura si mantiene costante tutto l'anno per effetto del bilanciamento tra il flusso di calore che proviene dal nucleo e dal mantello terrestre, gli apporti di energia solare alla superficie terrestre e, talvolta, ma non necessariamente, il contributo dell'energia apportata dalle acque sotterranee. La macchina che permette di sfruttare questa fonte di calore pressoché infinita è la pompa di calore.



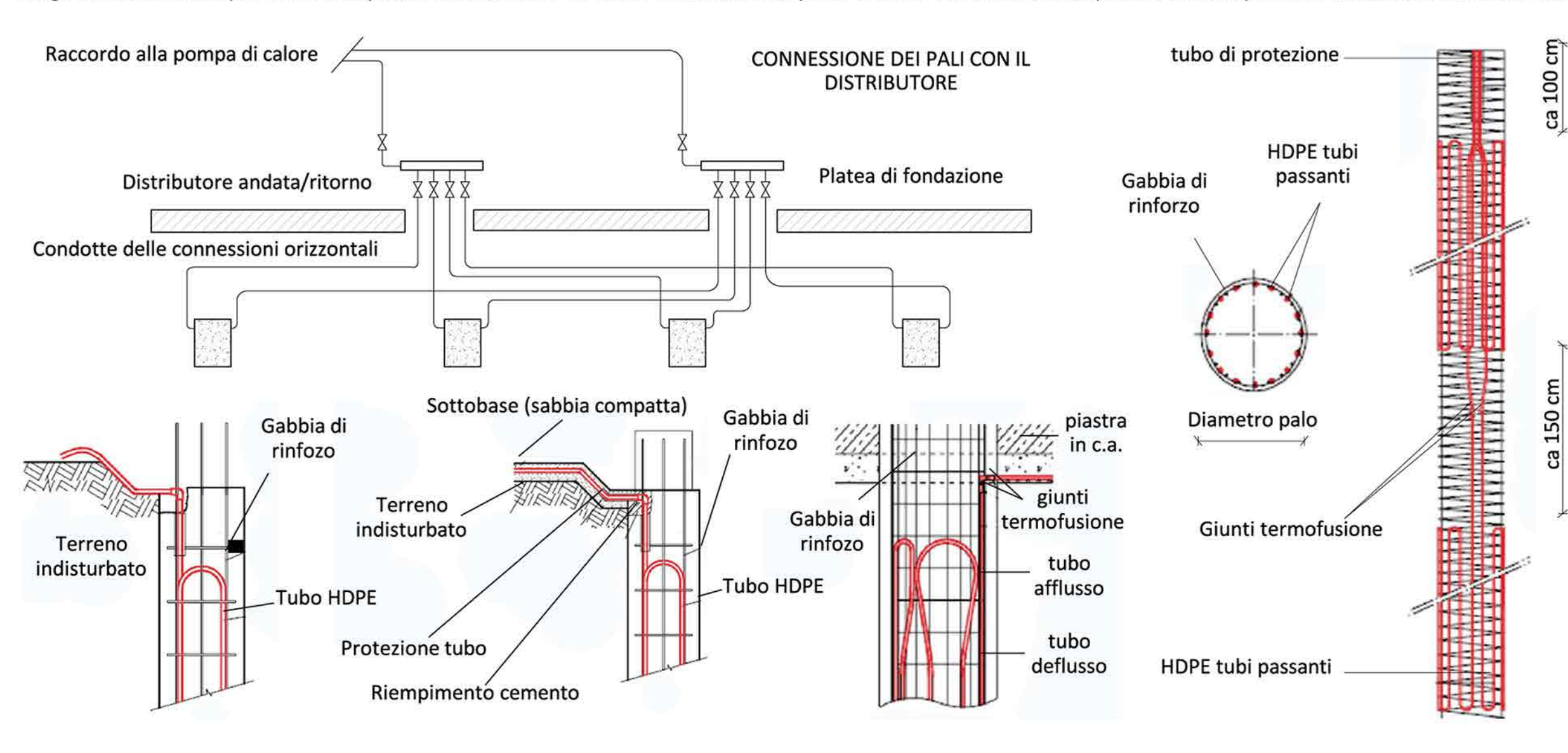
operativa raffrescamento estivo per mezzo di pali energetici può essere realizzato per geocooling (o freecooling), che si realizza connettendo il circuito dei pali all'impianto di distribuzione di freddo attraverso scambiatore tradizionale, senza alcun uso di macchina frigorifera. In questo caso l'unico fabbisogno energetico (elettrico) deriva dalle pompe di circolazione; occorre però che il fabbisogno di raffreddamento possa soddisfatto con una temperatura "alta", tipicamente 16-20 °C.

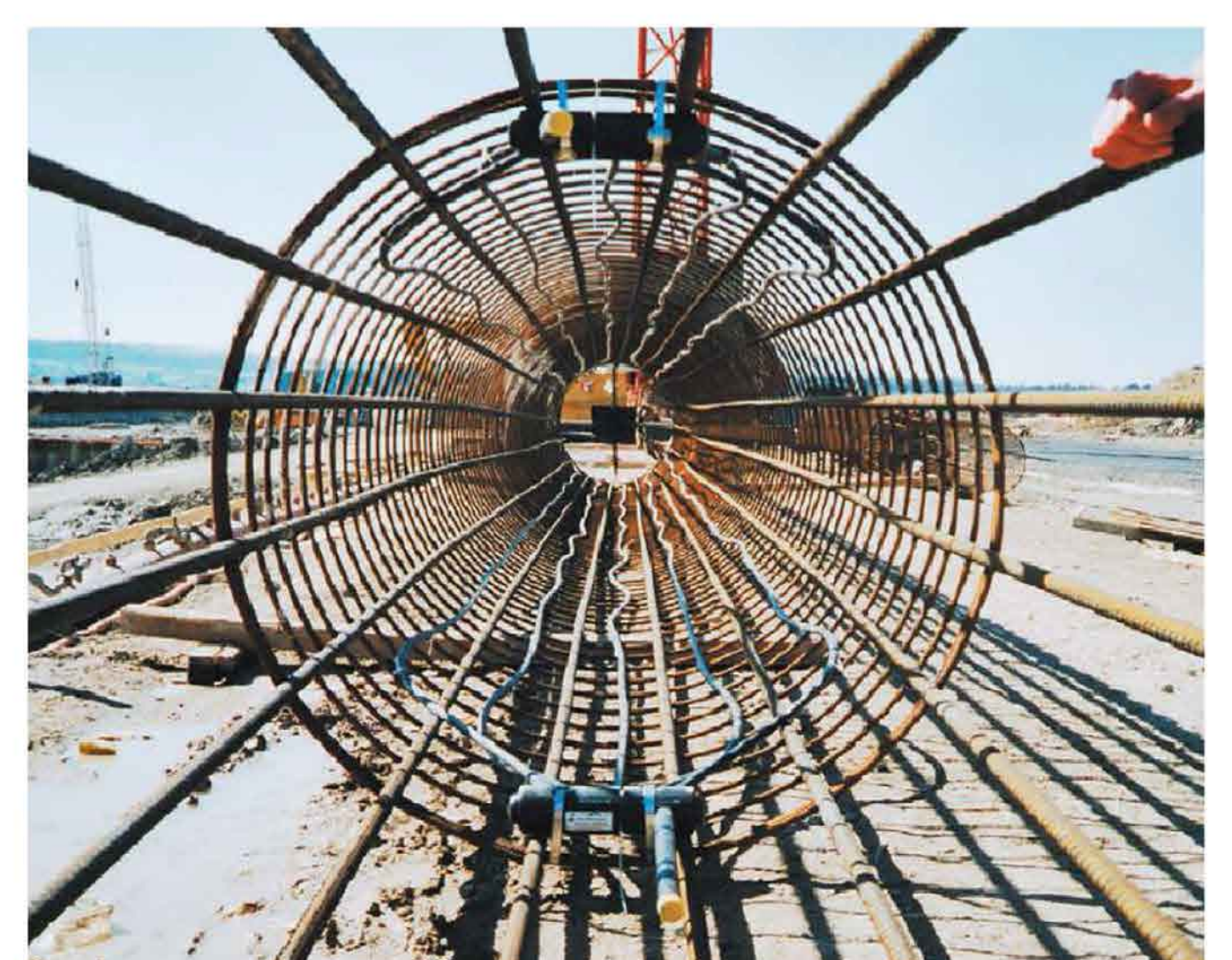


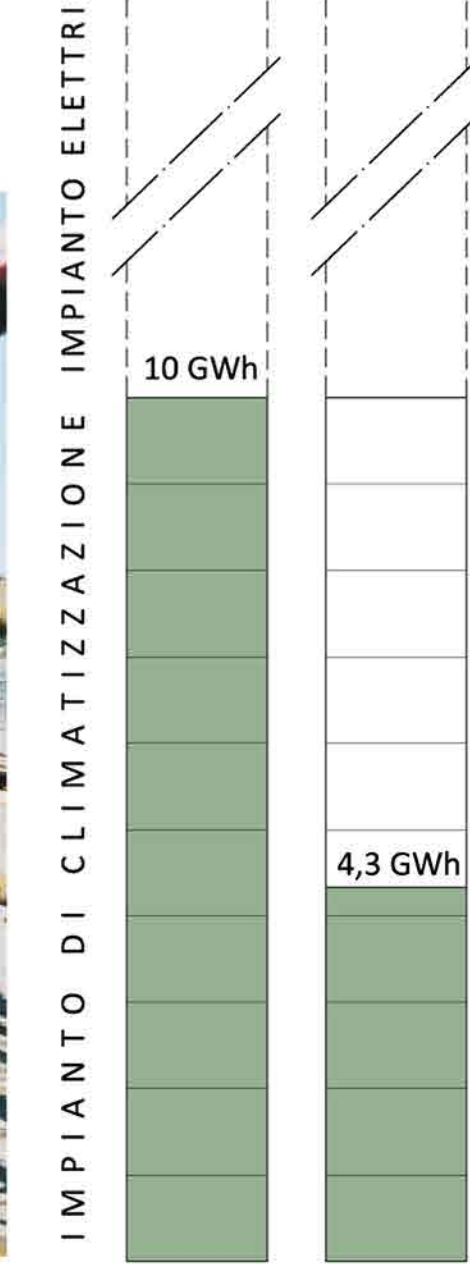




Gli elementi che connettono i pali ad un distributore posto in superficie sono dei tubi orizzontali, normalmente posti sotto la base di cemento dello stabile. A volte è possibile che queste connessioni attraversino la base stessa nel punto in cui è posto il distributore e nel caso in cui la platea di fondazione si trovi sotto il livello dell'acqua, è necessario assicurare che questo punto di attraversamento dei tubi risulti ermetico. Per tutta la lunghezza del palo, è molto importante che i tubi siano distanziati omogeneamente tra di loro lungo la circonferenza per evitare reciproche interferenze. Un fluido termovettore, spesso si tratta unicamente di acqua, ma è anche possibile utilizzare una miscela di acqua e glicole, circola in un circuito chiuso tra i pali e la pompa di calore/macchina frigorifera.







RIC

ELETT

0

PIAN

Σ

3 GWh

14 GWh

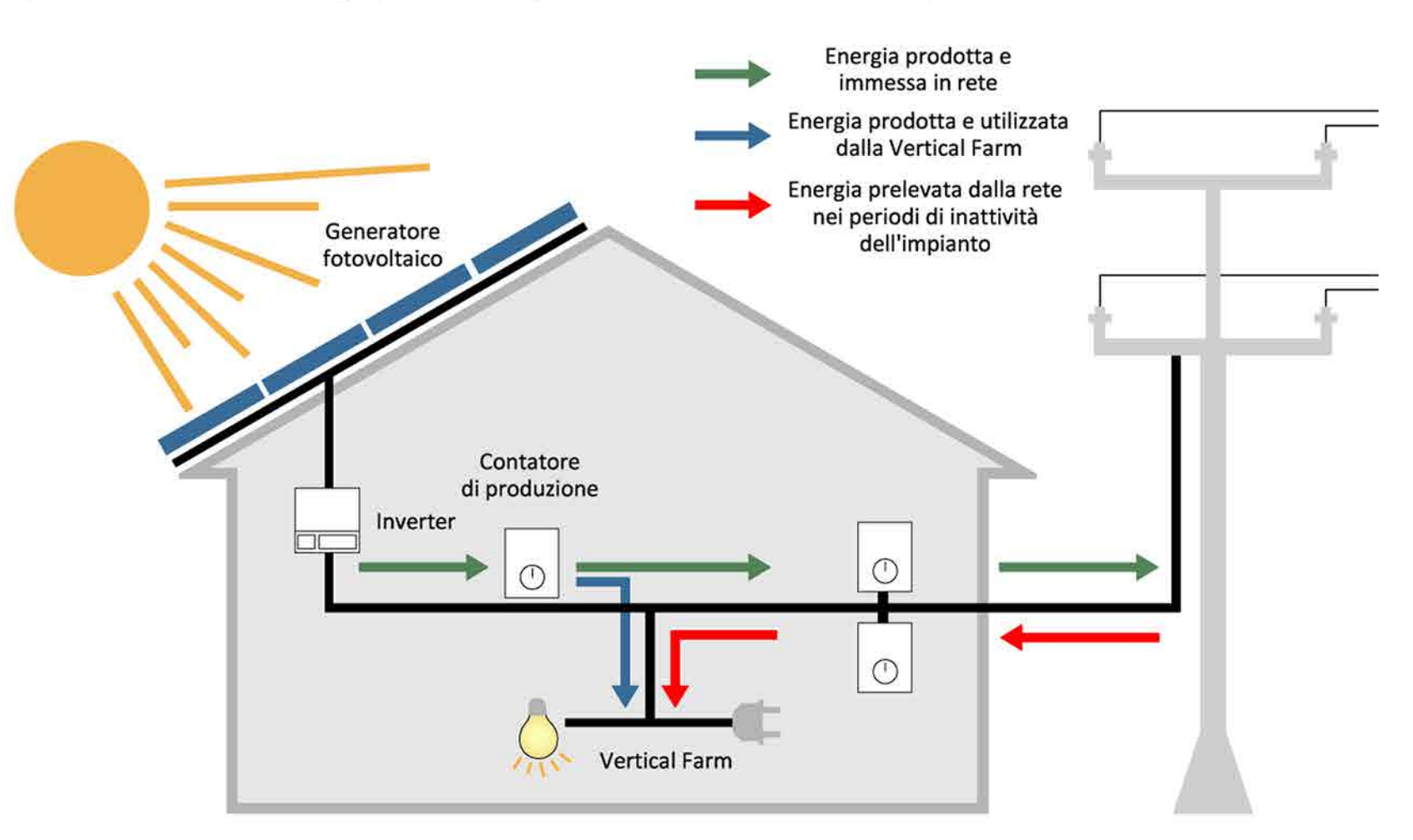
La risorsa del fotovoltaico, inserita sulla copertura leggermente inclinata della Vertical Farm, è stata ipotizzata utilizzando dei pannelli ad altissima efficienza, chiamati "SunPower", ad oggi i più potenti del mondo. Le esclusive celle fotovoltaiche Maxeon ad alto rendimento, con il 22,4% di efficienza, consentono di installare più potenza sulla stessa superficie rispetto ai moduli convenzionali. Inoltre i moduli SunPower si distinguono per il loro design elegante: grazie alla loro superficie uniforme si armonizzano perfettamente alla Vertical Farm, preservandone l'estetica.

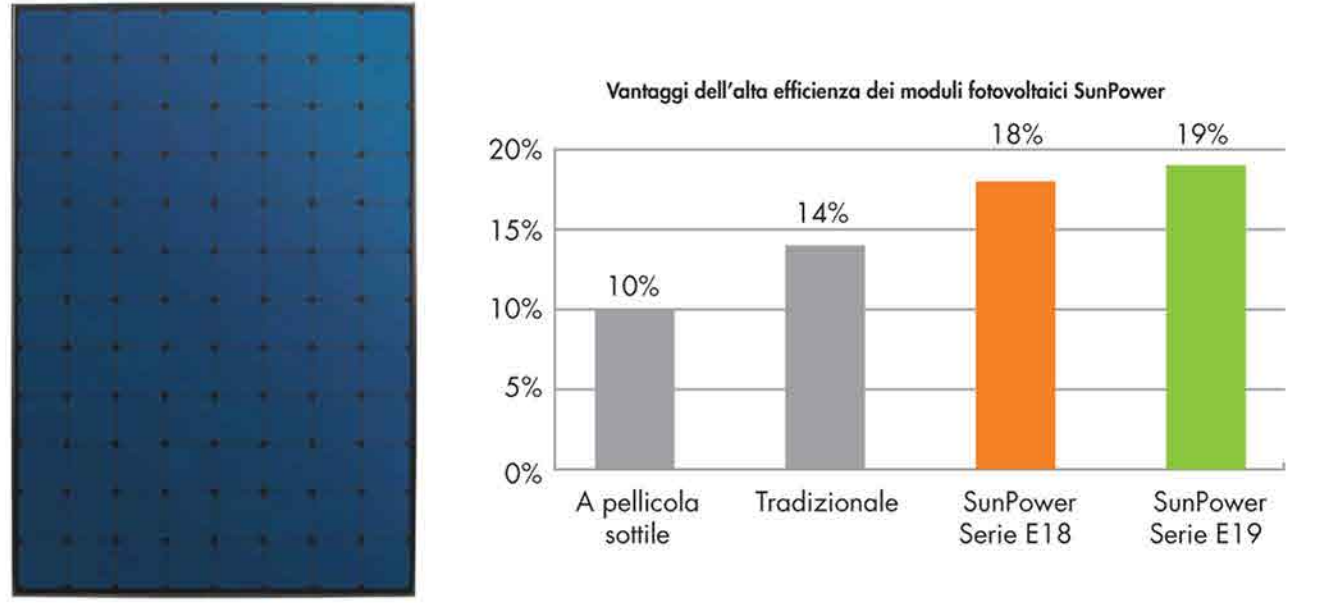
Un sistema fotovoltaico è costituito da:

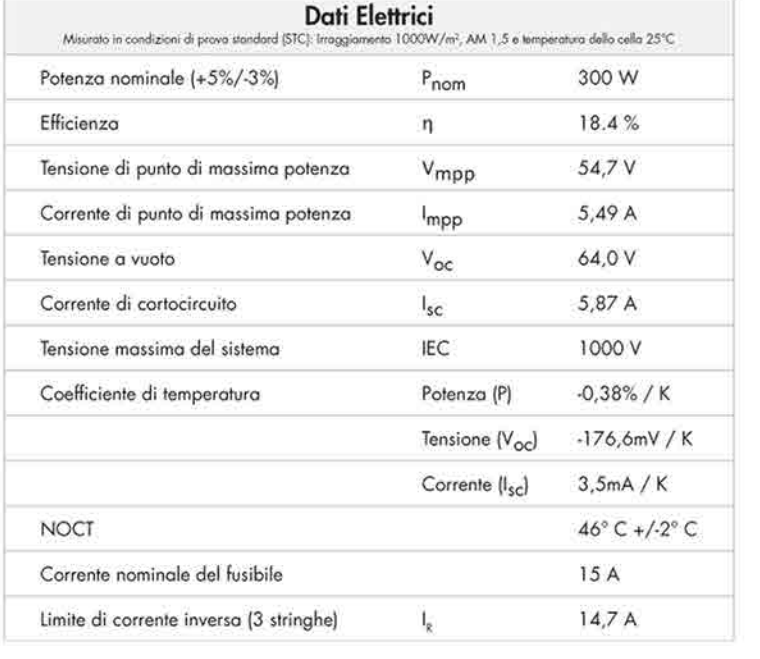
1) Un generatore fotovoltaico - E' costituito da celle fotovoltaiche formate da fette di un materiale semiconduttore (silicio) che si costituiscono in moduli, quindi in pannelli, quindi in stringhe che, collegate in parallelo, costituiscono il generatore fotovoltaico. Sulla superficie delle celle si genera (quando la cella è esposta alla luce) un campo elettrico che, se collegato ad un utilizzatore, dà luogo ad una corrente elettrica continua.

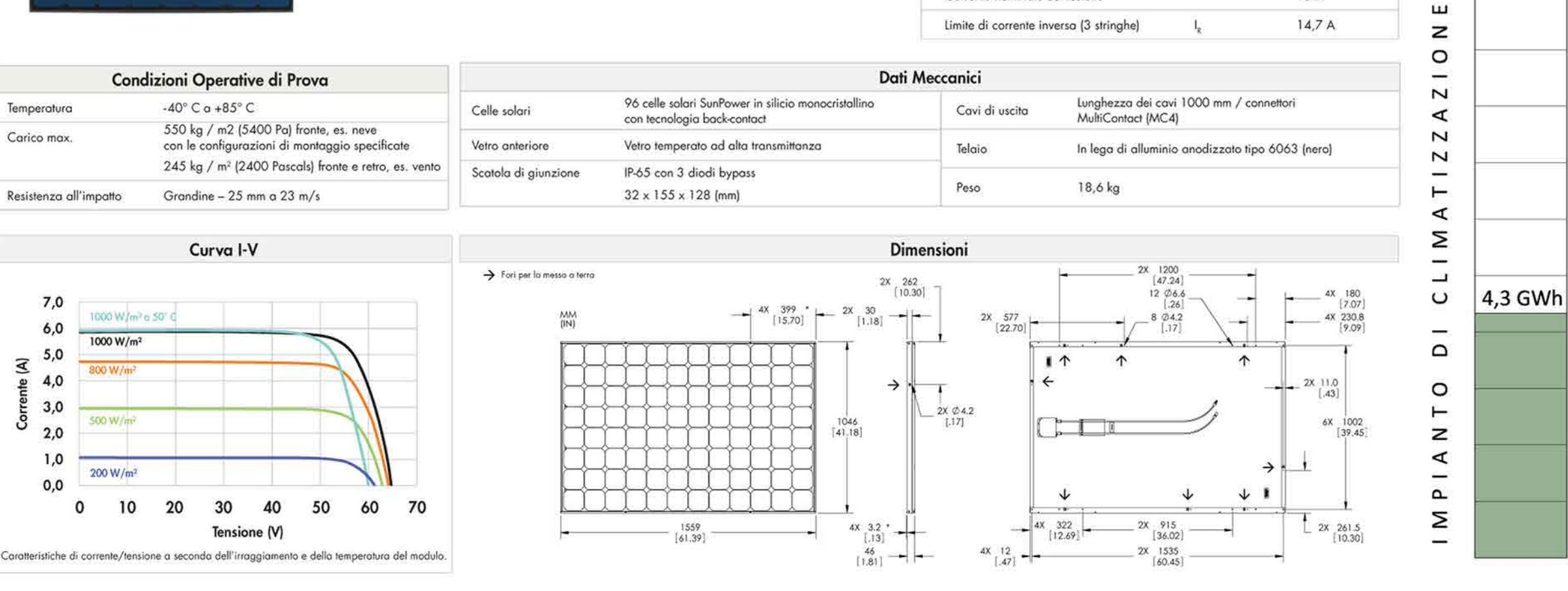
2) Un sistema di condizionamento e controllo della potenza - E' costituito da un inverter che trasforma la corrente continua in corrente alternata ed è necessario in quanto la quantità di energia elettrica prodotta da un sistema fotovoltaico non è costante ma varia al variare delle ore del giorno, delle stagioni, delle condizioni meteorologiche.

3) Un accumulatore di energia, necessario per rendere autonomo il sistema, data la variabilità della fonte solare.









Una grande componente del sistema di gestione delle acque reflue coinvolgerà il biorisanamento, che è l'uso di organismi biologici per rimuovere i contaminanti da un ambiente inquinato, come l'acqua, per migliorarne la qualità o restituirlo al suo stato naturale. Il processo generale che è necessario per il biorisanamento è descritto nella seguente figura accanto.

> Vasca di decantazione

I componenti principali del sistema di biorisanamento sono i seguenti:

(1) Il trattamento preliminare rimuove fisicamente solidi di grandi dimensioni come i bastoni e le particelle di foglie che possono danneggiare le apparecchiature. Questo può essere fatto utilizzando grate e schermi.

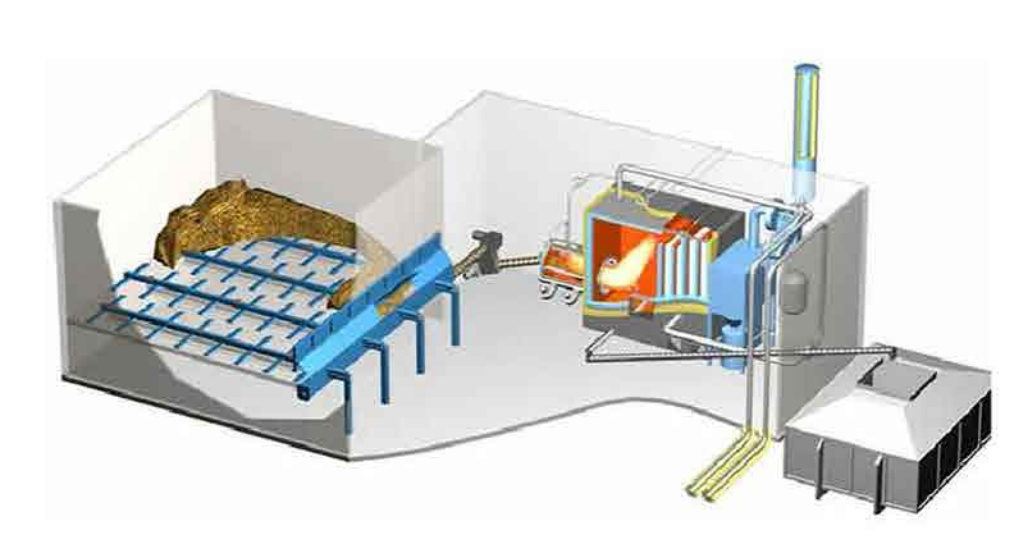
(2) Il trattamento primario è l'impostazione del serbatoio di separare solidi sospesi e grassi. Il processo si svolge in un ambiente tranquillo per consentire alle particelle in sospensione di depositarsi. Le particelle si stabilizzano e i grassi galleggianti sono scremati e trattati come fanghi. L'acqua rimanente passa alla fase successiva del processo.

(3) Il trattamento secondario rimuove la materia organica disciolta dalle acque di scarico. I microrganismi delle acque reflue coltivate in un bioreattore facilitano questo processo.

(4) Il trattamento finale di disinfezione uccide gli organismi che causano malattie, in primo luogo attraverso la clorizazione o l'uso di raggi ultravioletti (UV). Se vengono utilizzati livelli elevati di cloro, un cloro-neutralizzante può essere aggiunto alle acque reflue trattate prima di essere consegnate per il consumo umano.

## TRATTAMENTO DI BIOGAS

L'impianto per il trattamento dei rifiuti animali e rifiuti vegetali è un aspetto essenziale nella progettazione sostenibile della Vertical Farm. Si propone di utilizzare i rifiuti umani delle persone soddisfatte dalla Vertical Farm e i rifiuti vegetali per la produzione di biogas. Accoppiato con il riciclo delle acque reflue, la lavorazione di biogas assicura un approvvigionamento energetico costante e affidabile e riduce ulteriormente la necessità di petrolio greggio e gas naturale.



I rifiuti solidi sotto forma di concime umano e i rifiuti vegetali possono essere riciclati attraverso la digestione anaerobica per la produzione di gas metano, che a sua volta può essere bruciato per creare energia, CO2, acqua e calore. La CO2 e l'acqua che viene prodotta dalla combustione può essere immediatamente immessa nella VF per le piante che necessitano di CO2 per il processo fotosintetico. Questo processo aiuterà a mantenere la produttività nella Vertical Farm. Inoltre l'energia in eccesso può essere venduta nel mercato pubblico, potenziando così l'aspetto di servizio comunitario della struttura Vertical Farm.

